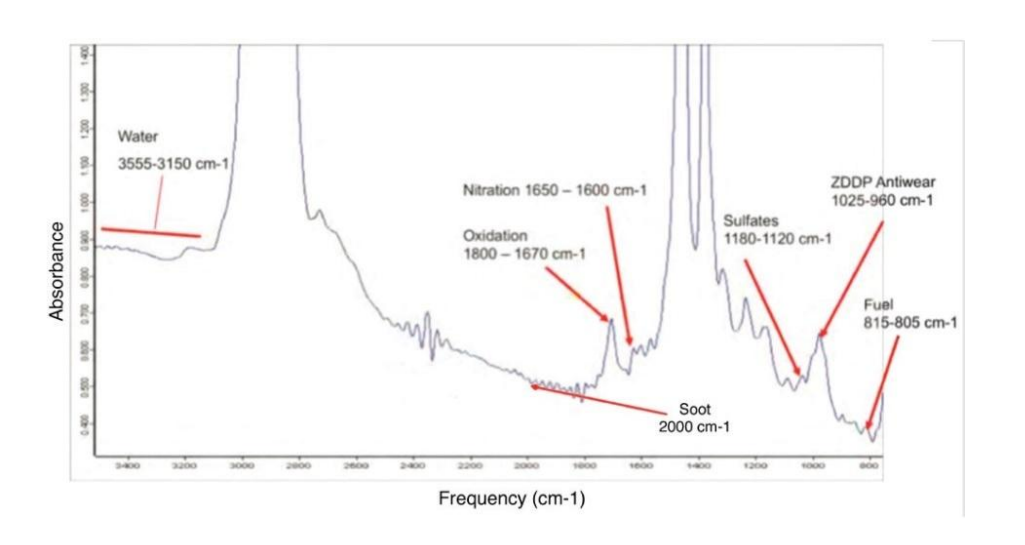
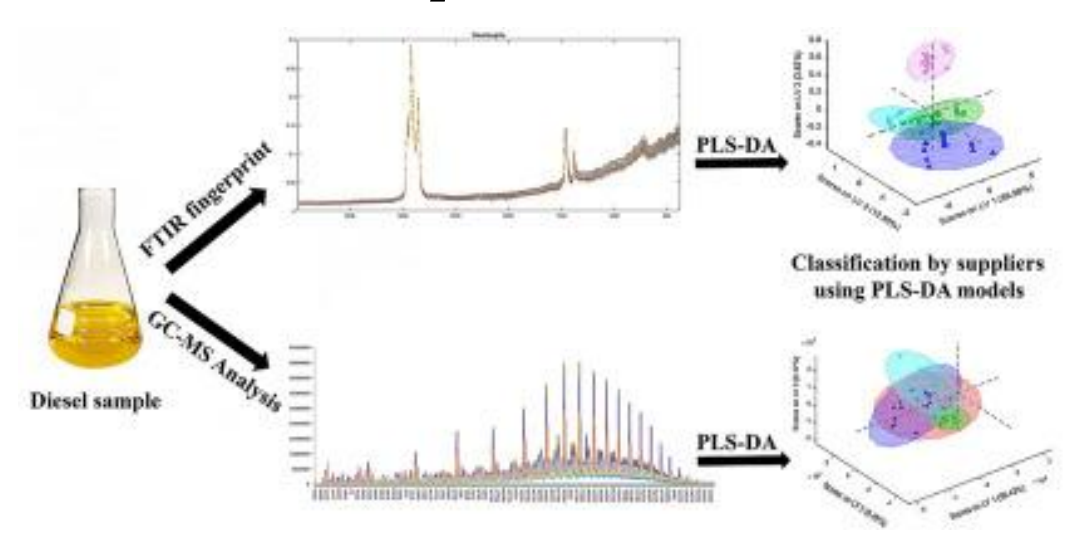
ИК-спектроскопия часть 1

# Идентификация структуры



### Экспресс - метод



Анализы в полевых условиях

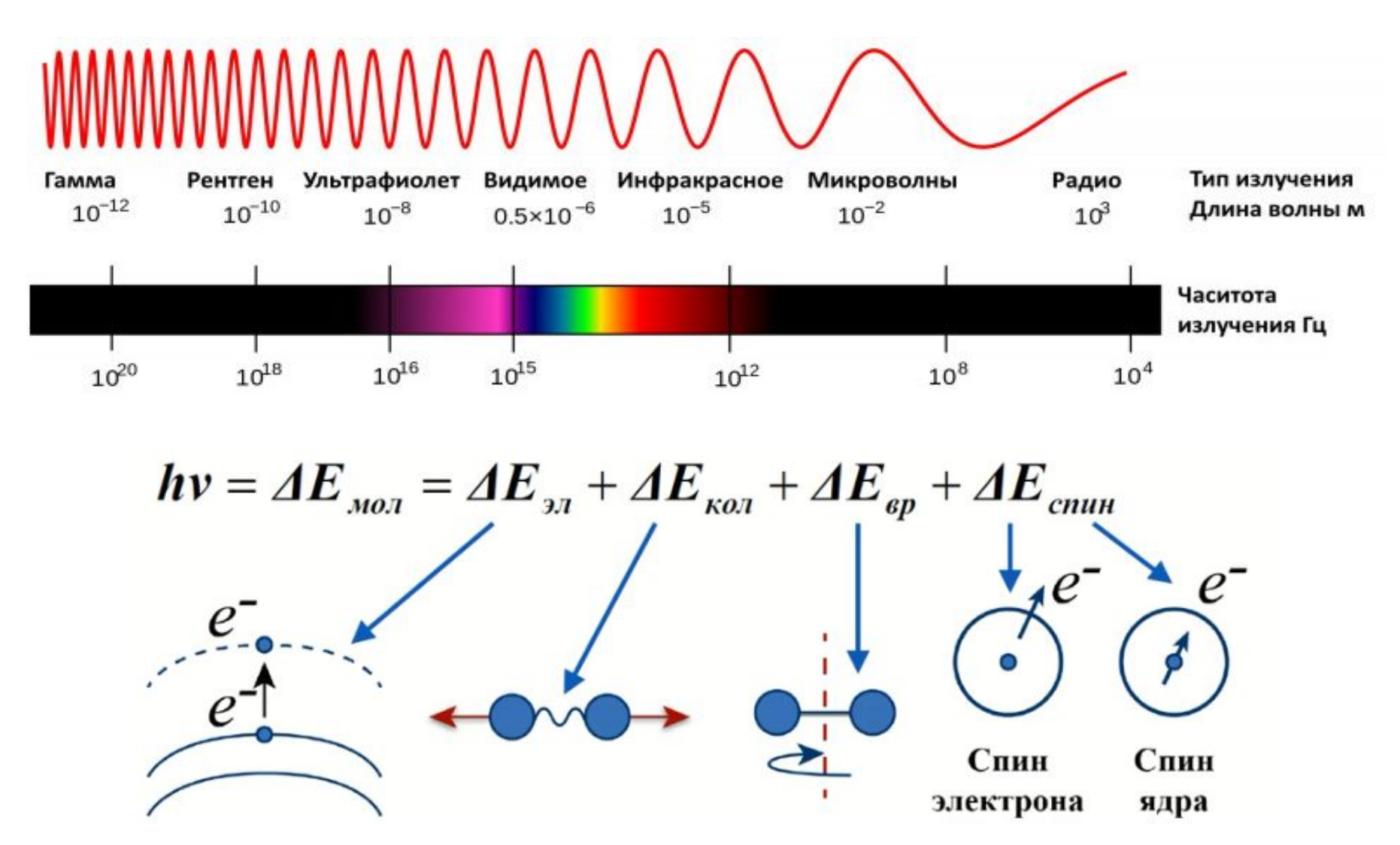


Подходит для любых веществ



### Электромагнитный спектр

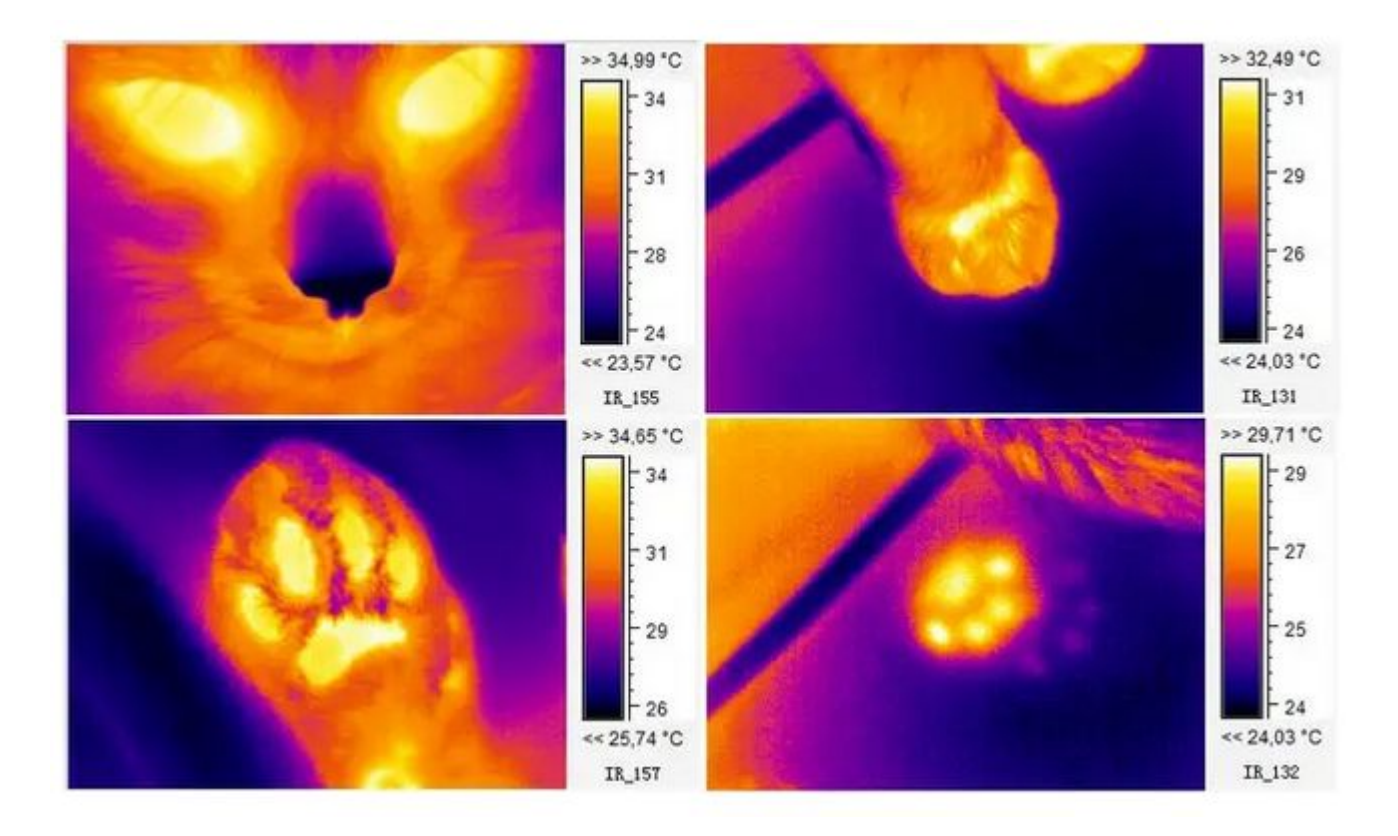
Спектроскопия — это наука о взаимодействии электромагнитного излучения с веществами.





Фредерик Уильям Гершель 1738-1822

призмой, Гершель Расщепив солнечный свет термометр сразу за красной полосой поместил спектра и показал, ОТР температура видимого повышается, a следовательно, на термометр воздействует световое излучение, не доступное человеческому взгляду.



### ИК-диапазон

Вращательные переходы

### ИК-диапазон 0,74 мкм - 1 мм

Длинноволновая область (дальняя ИК-, FIR)	Средняя (MIR) область	Коротковолновая область (ближняя ИК-, NIR)
40 мкм —1 мм 400 — 20 см <sup>-1</sup>	2 мкм — 40 мкм 4000 — 400 см <sup>-1</sup>	0.76 - 2 мкм $25000 - 4000$ см <sup>-1</sup>
Связи Х-Металл	Основные частоты,	Обертона, составные

область «отпечатков

пальцев»

частоты основных

колебаний, водородная

СВЯЗЬ

### Соотношение между частотой и волновым числом



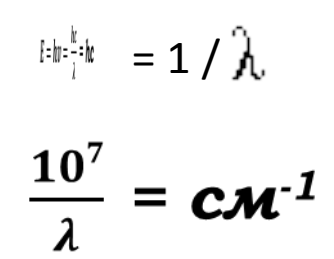
$$E = hv = \frac{hc}{\lambda} = hc\overline{\nu}$$

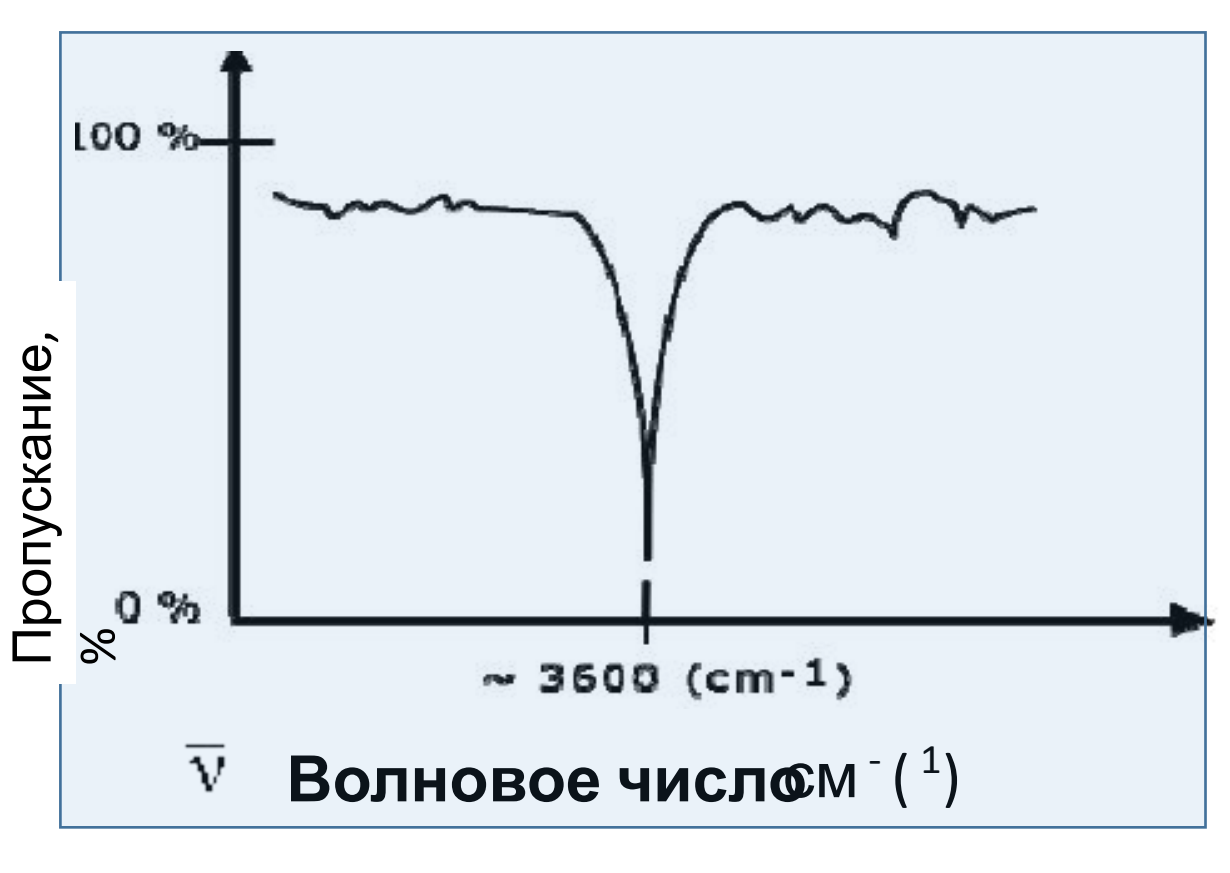
h — постоянная Планка

v — частота

 $\lambda$  — длина волны

волновое число

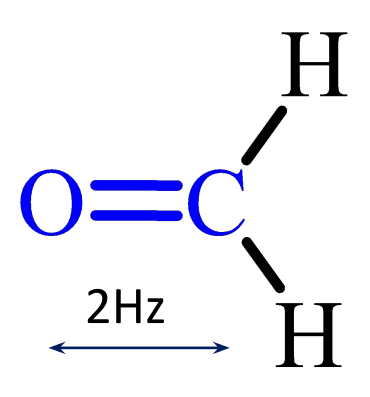


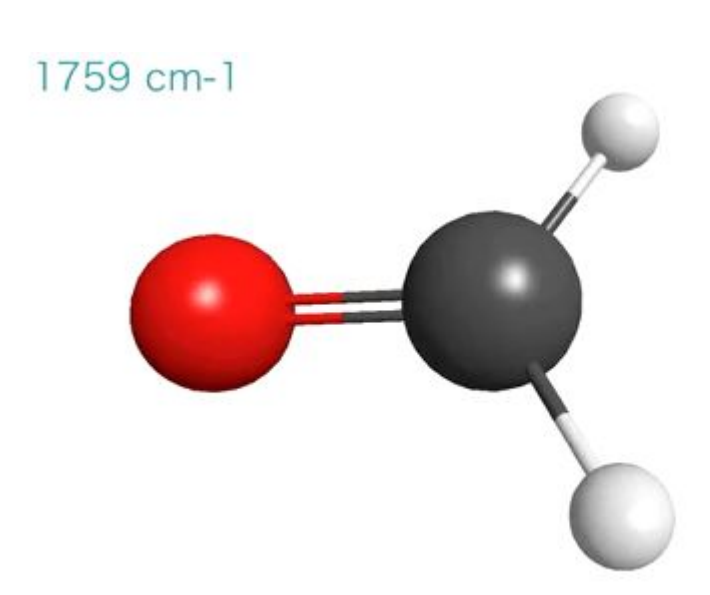


показывает число волн, приходящихся на 1 см.

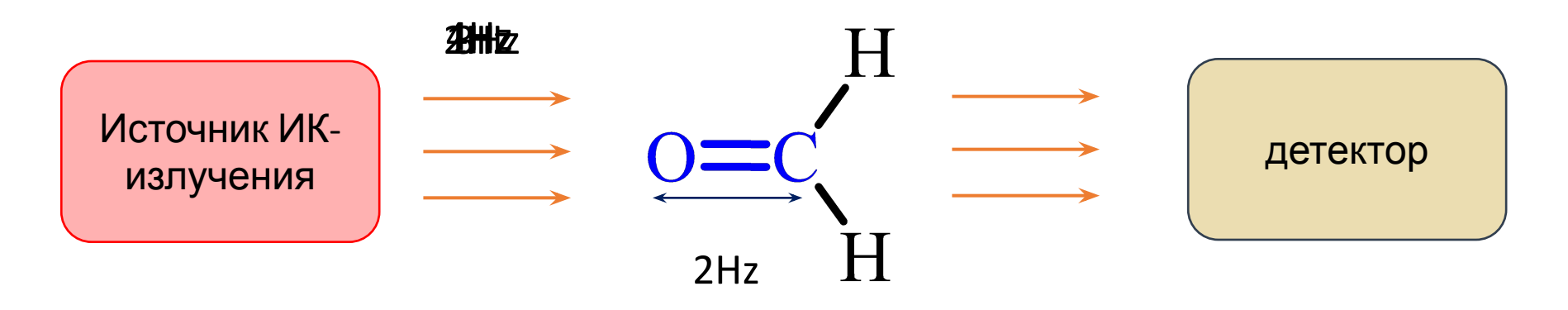
Частота пропорциональна волновому числу

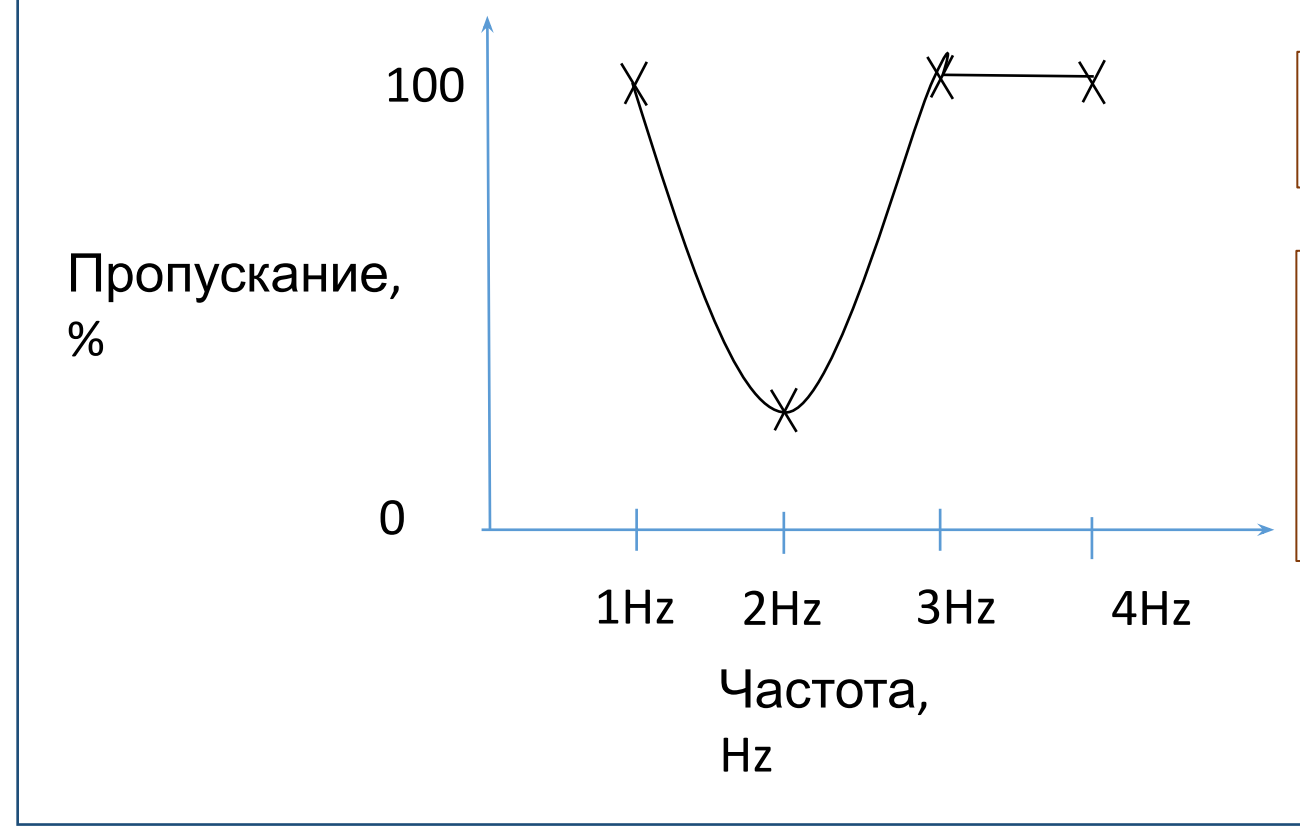
# Действие ИК-излучения на вещество





### Действие ИК-излучения на вещество

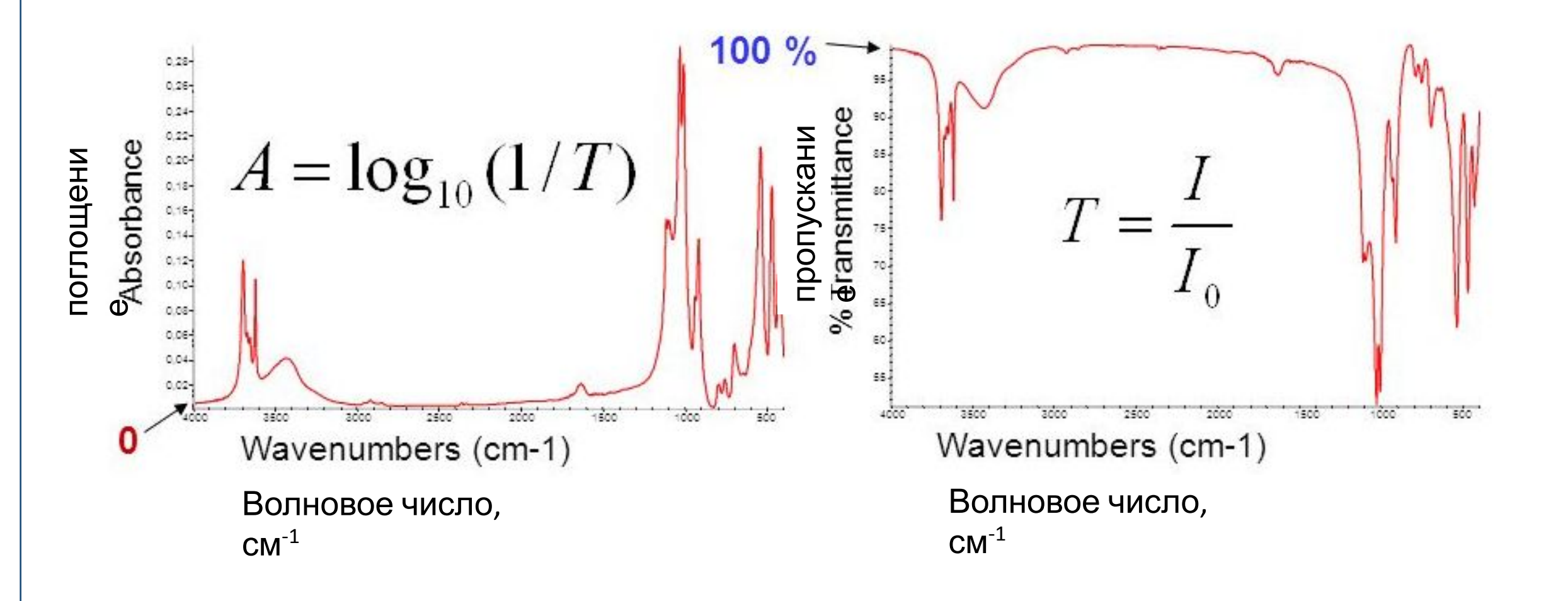




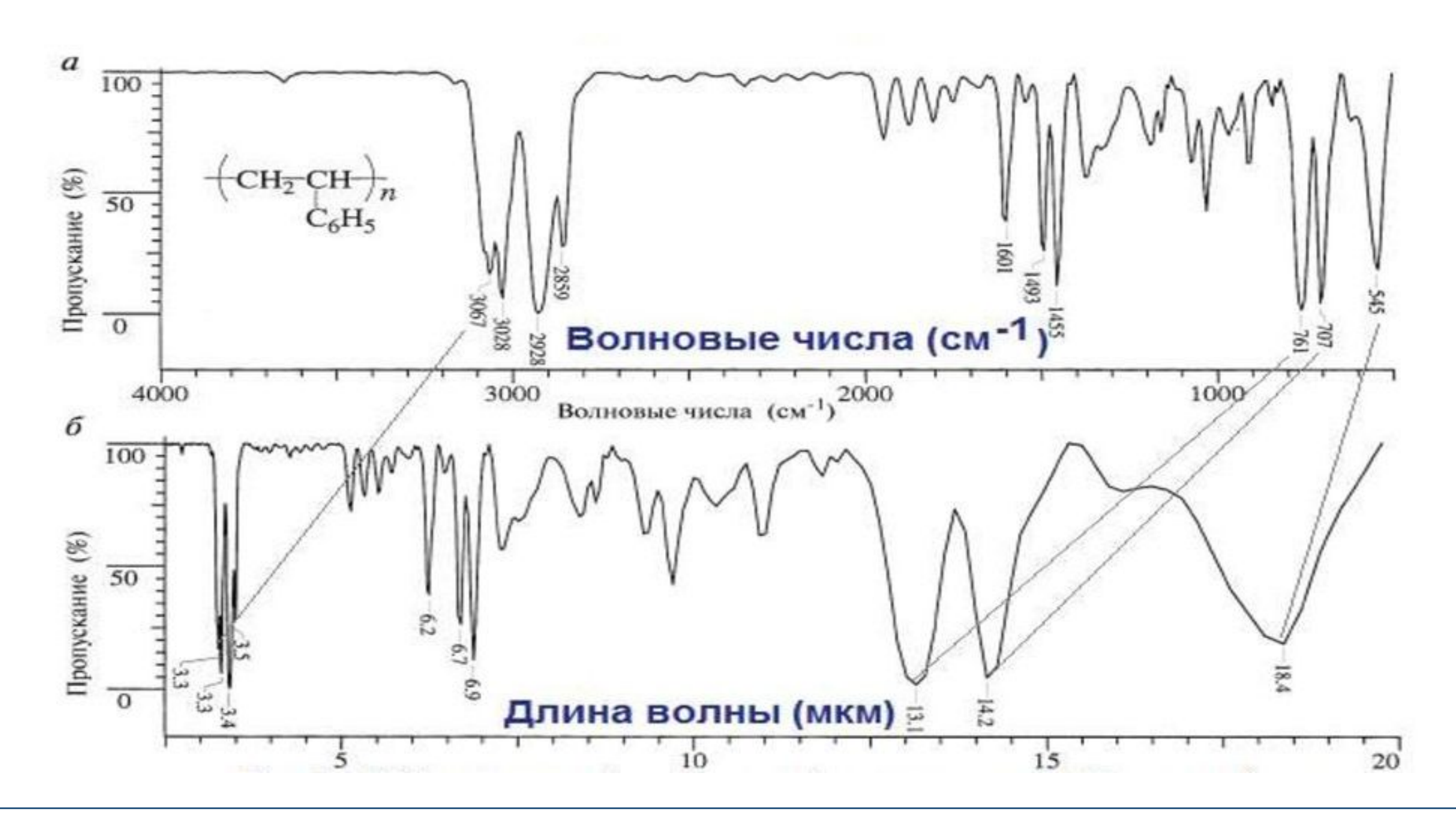
По ИК-спектру можно определить наличие функциональных групп!

Колебание характеристично для данной группы по частоте, если одно из нормальных колебаний молекулы по частоте приближённо совпадает с одним из нормальных колебаний данной группы как свободной молекулы.

### ИК- спектр – функция волнового числа от пропускания или поглощения



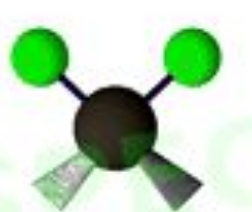
# Влияние линейности шкалы на вид ИК-спектра



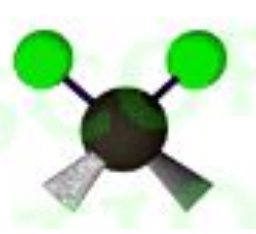
### Типы колебаний в молекуле



Валентные симметричные



Валентные антисимметричные



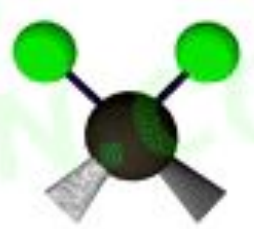
Деформационные маятниковые



Деформационный веерные (внеплоскостные)

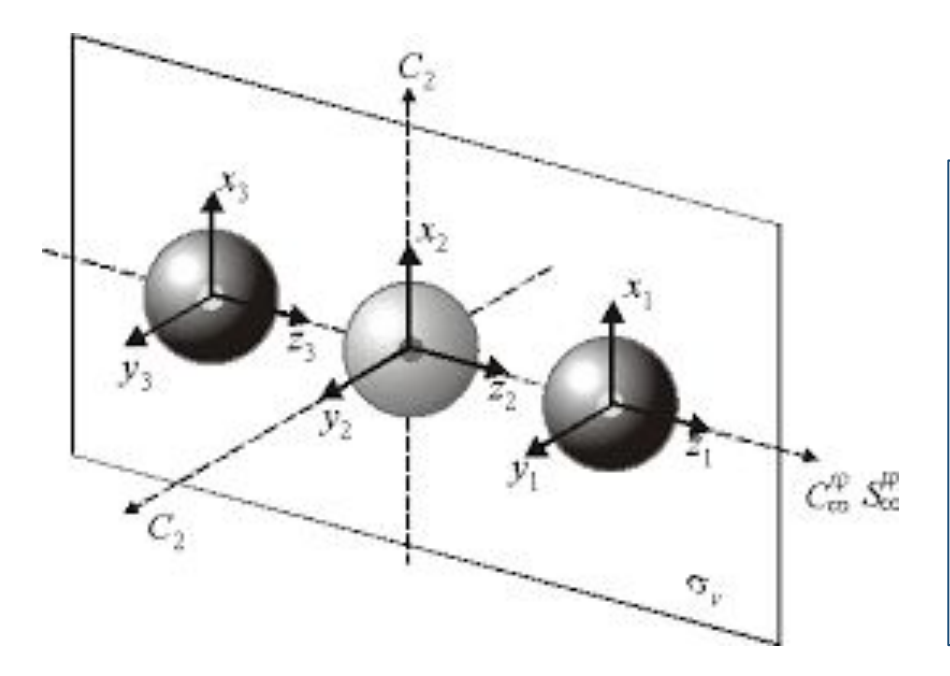


Деформационные крутильные (внеплоскостные)



Деформационные ножничные (плоскостные)

### Количество колебаний в молекуле

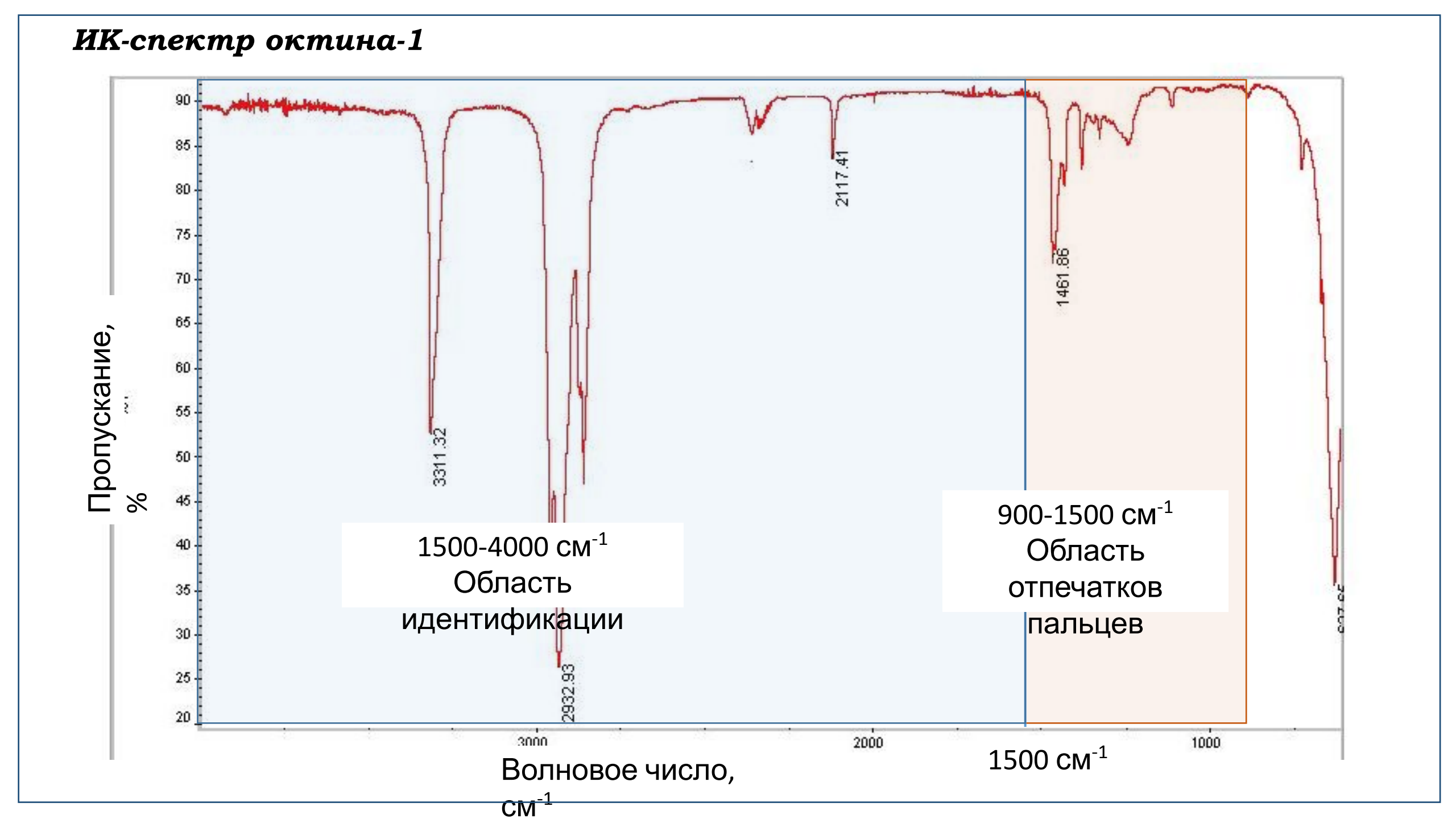


# Всего 3N степеней свободы

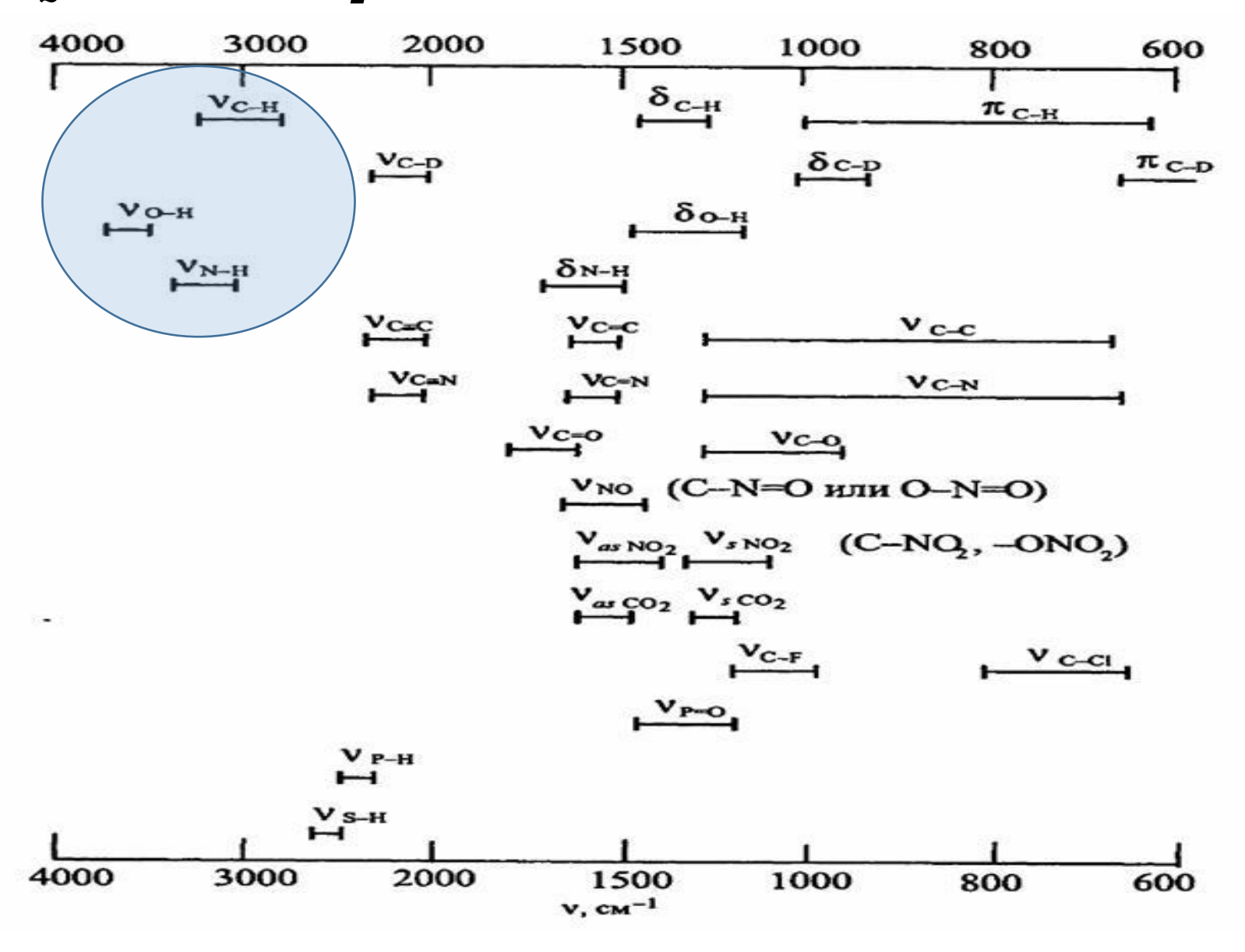
3 степени свободы – поступательное движение молекулы 2 степени свободы – вращательное движение (для нелинейной молекулы их 3) Оставшиеся степени свободы – нормальные колебания молекулы

Для линейной молекулы N = 3n - 5

Для нелинейной молекулы N = 3n - 6



### Интерпретация ИК-спектра

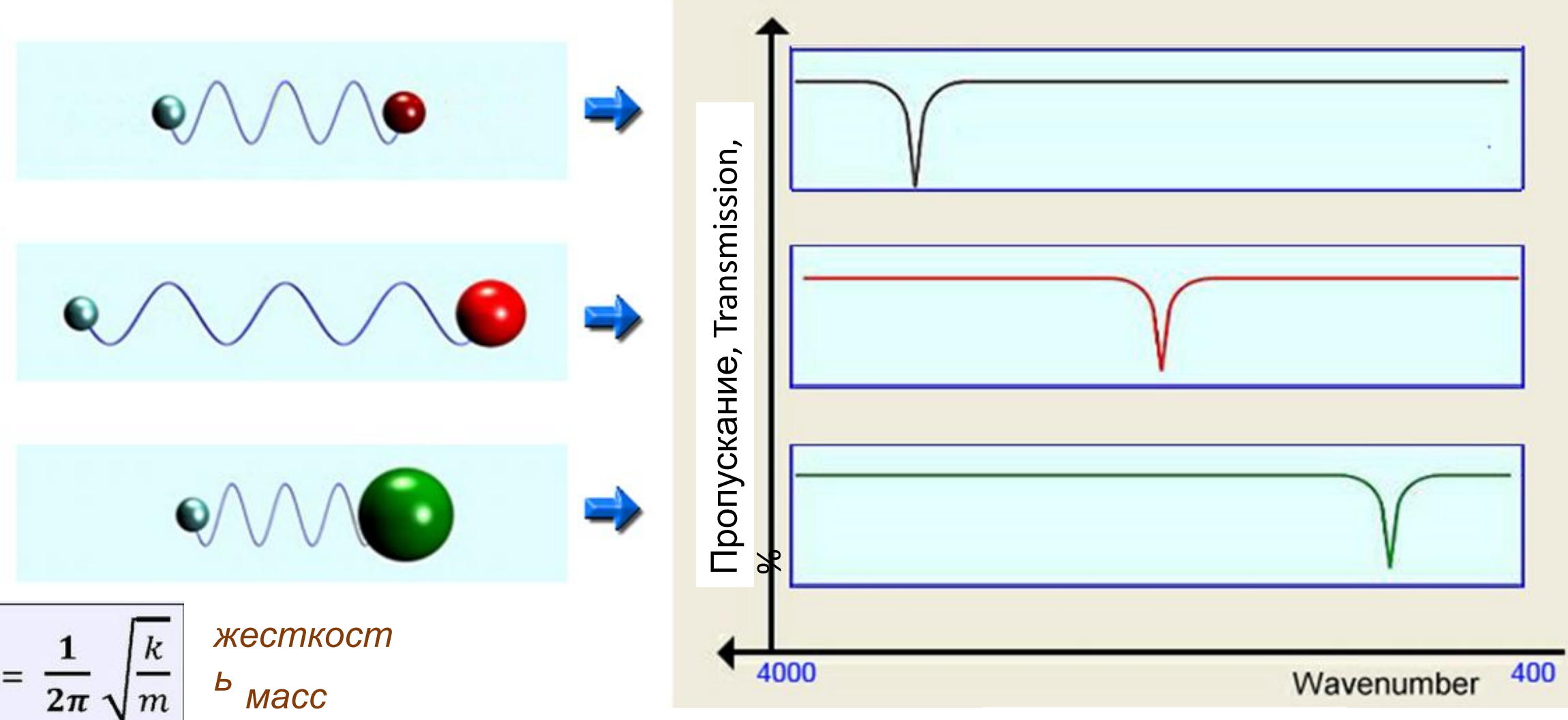


#### ИК-спектр октина-1 85 -80 -75 -70 -1500-4000 cm<sup>-1</sup> Пропускание, % 65 -Область 60 идентификации 55 sp CH Волновое число **(сm<sup>-1</sup>)** Функциональная группа sp<sup>3</sup> C-H ~2800-3000 40 sp<sup>2</sup> C-H ~3000-3100 35 sp C-H ~3300 30 -25 -20 3000 2000 1000 1500 cm<sup>-1</sup> Волновое число, CM

Различия в положении полосы поглощения вследствие разницы в



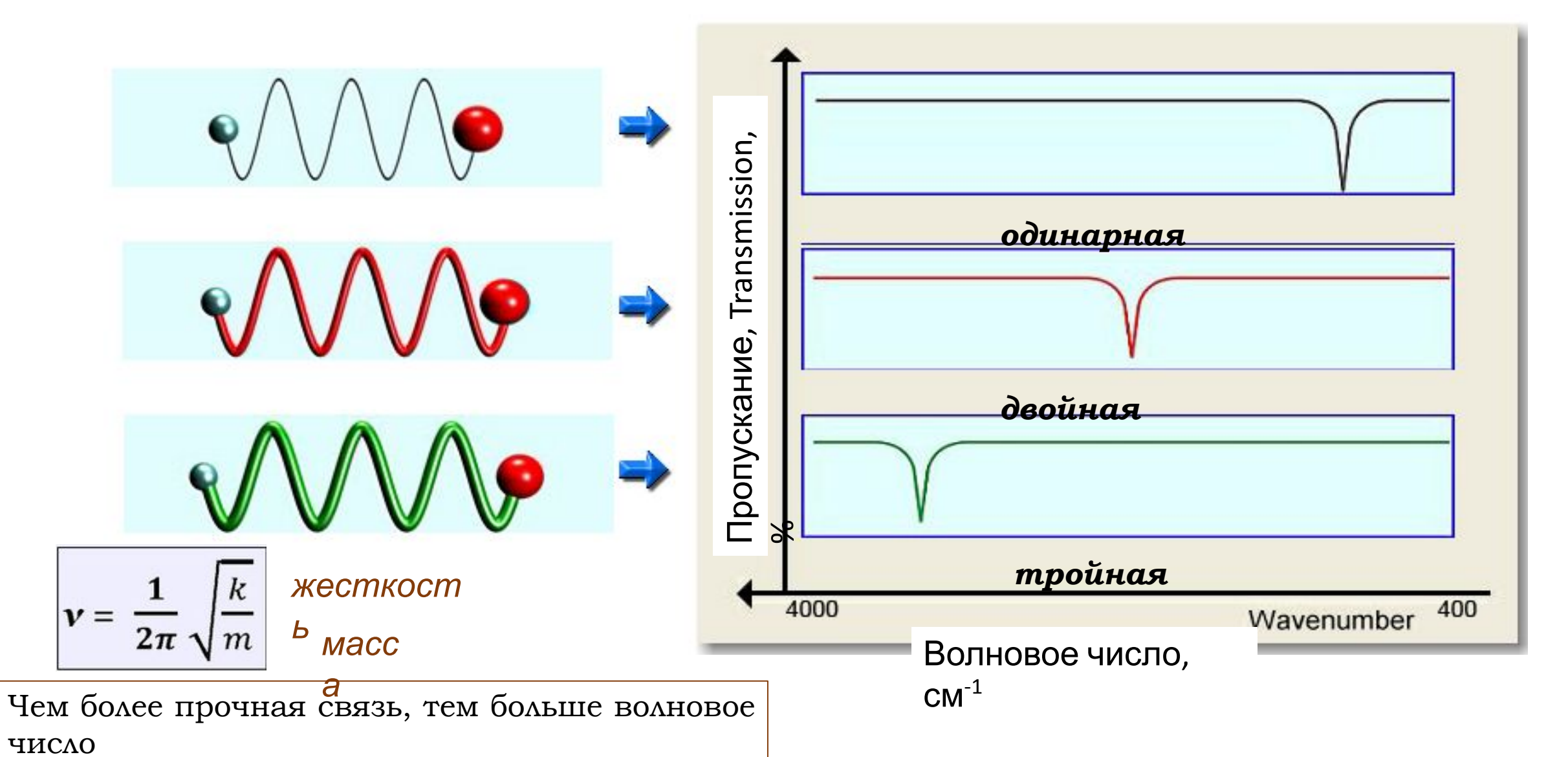
 $2\pi \sqrt{m}$ 



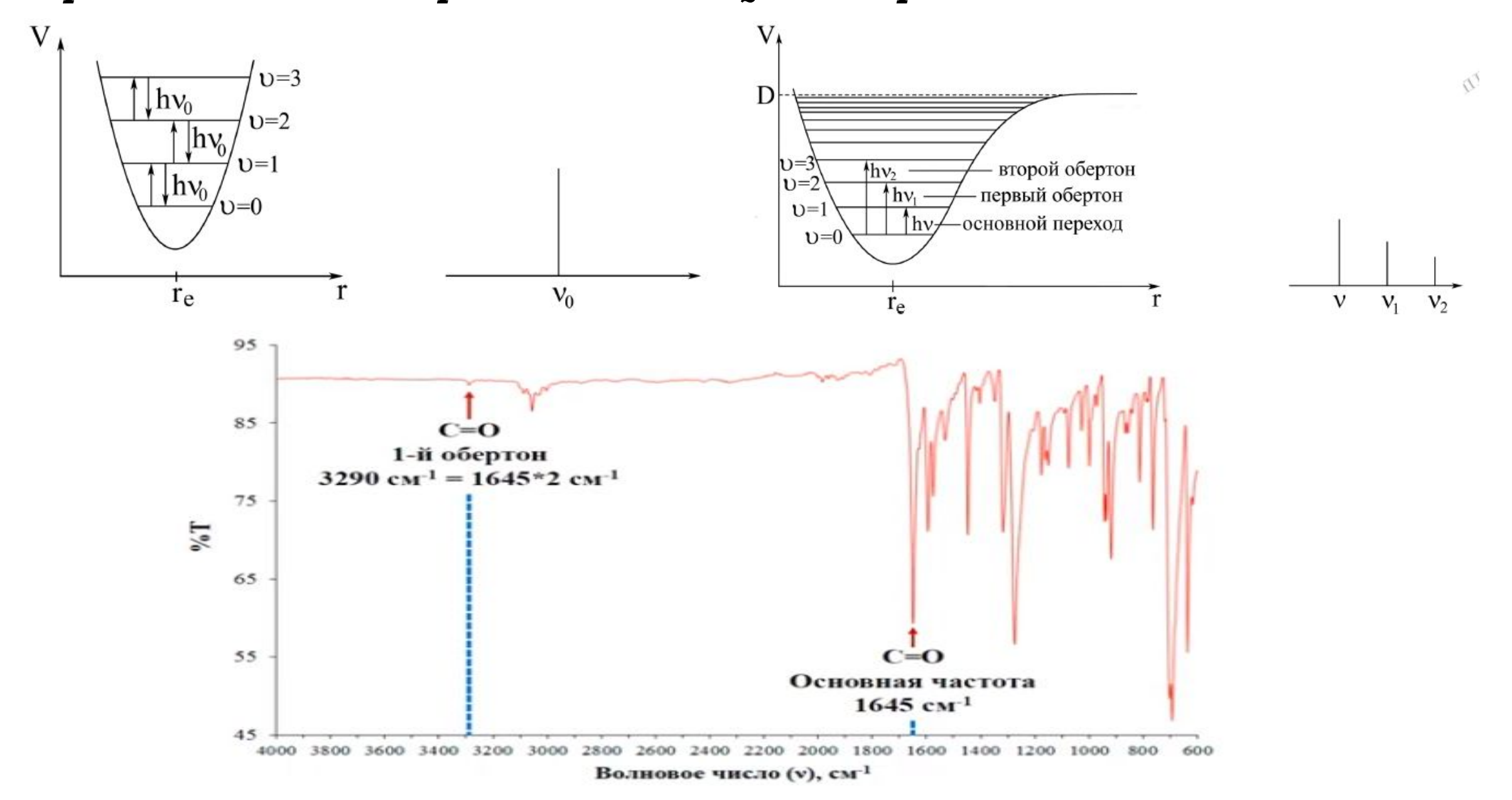
Чем больше разница в массах, тем ниже волновое число

Волновое число,  $CM^{-1}$ 

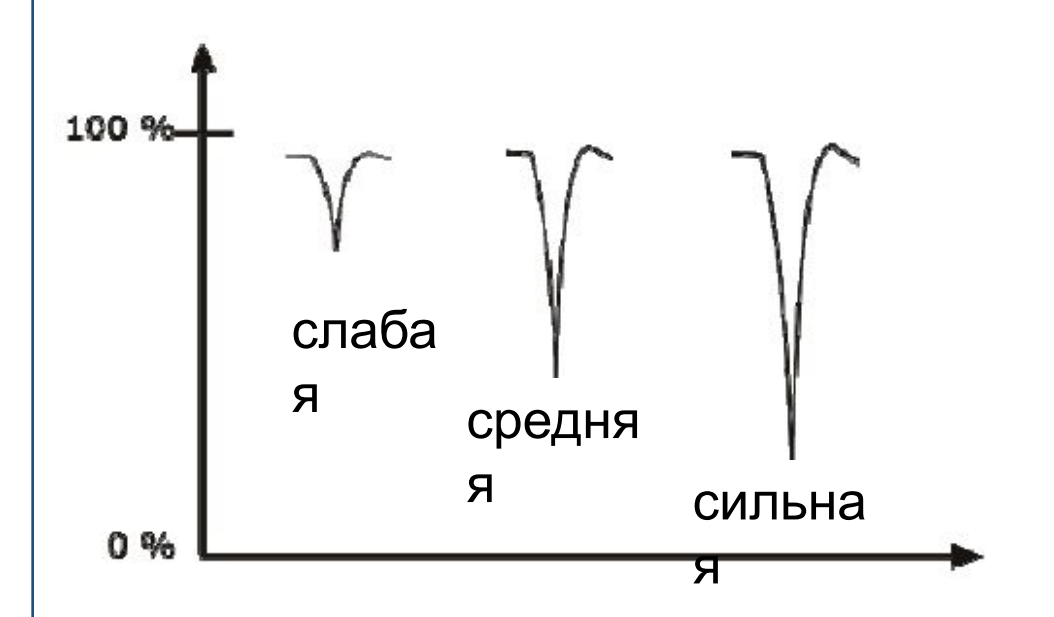
# Различия в положении полосы поглощения вследствие разницы в жесткости связи - силовых константах



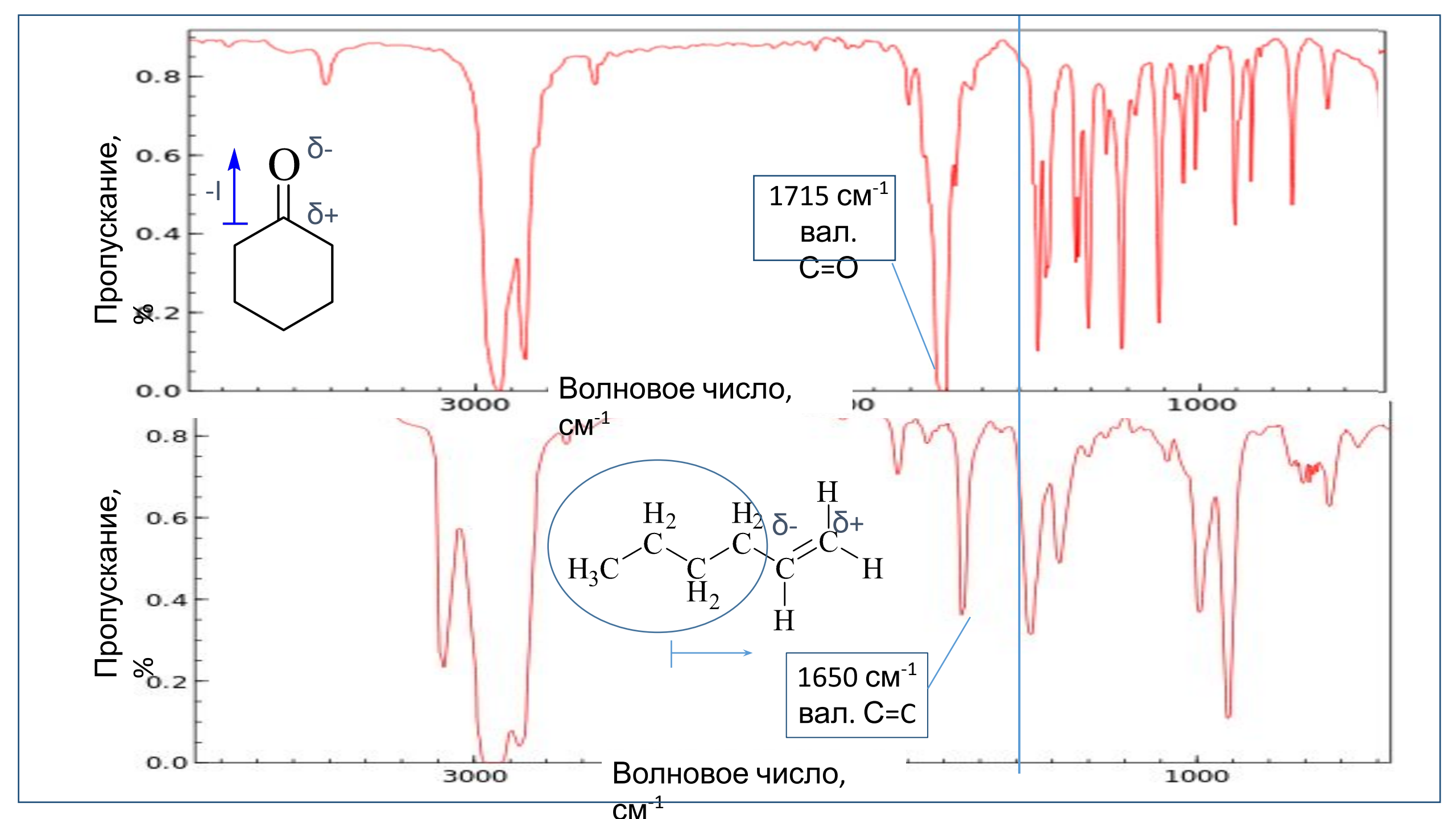
## Гармонический и ангармонический осцилляторы

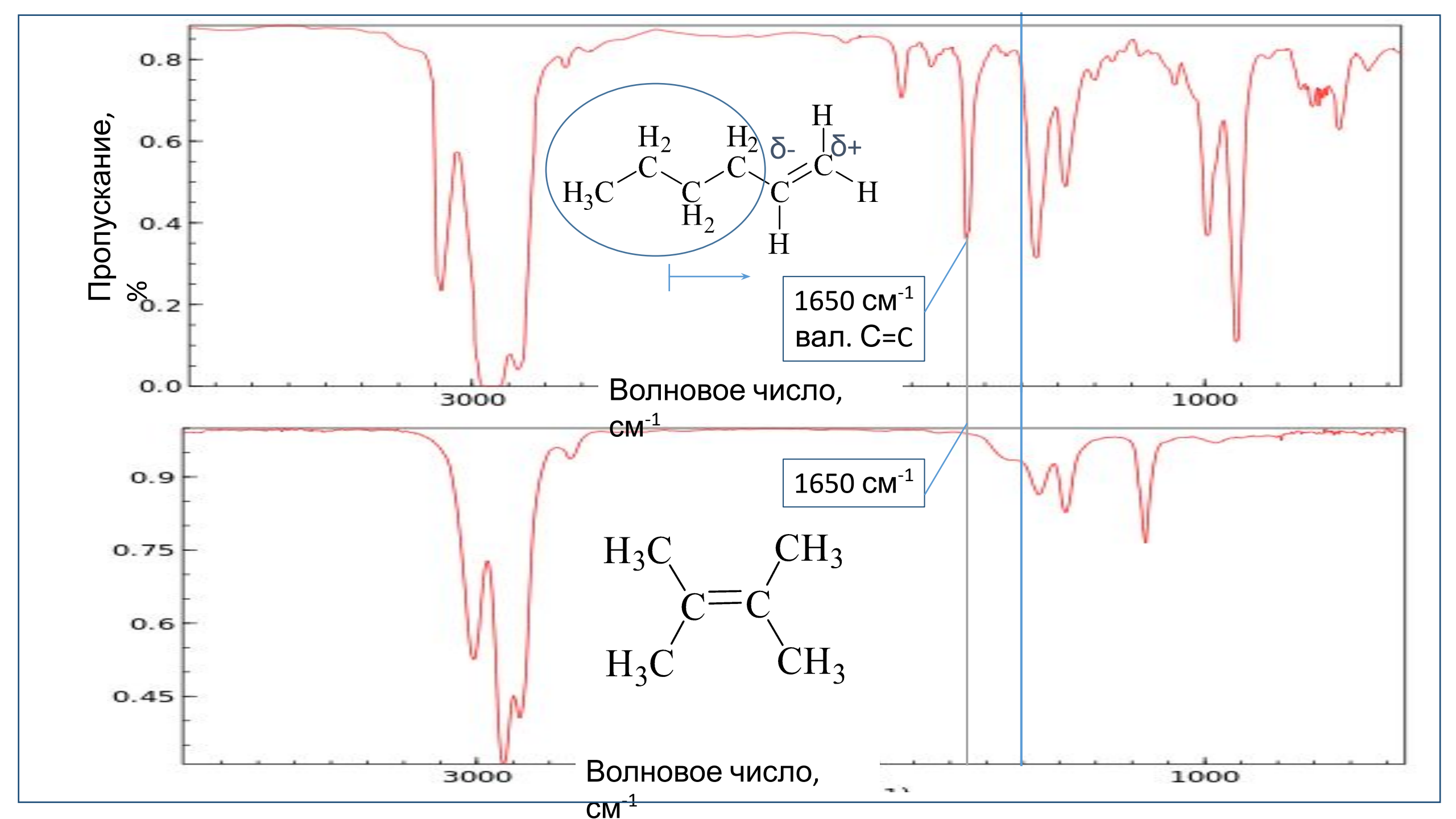


## Полосы разной интенсивности в ИК-спектре

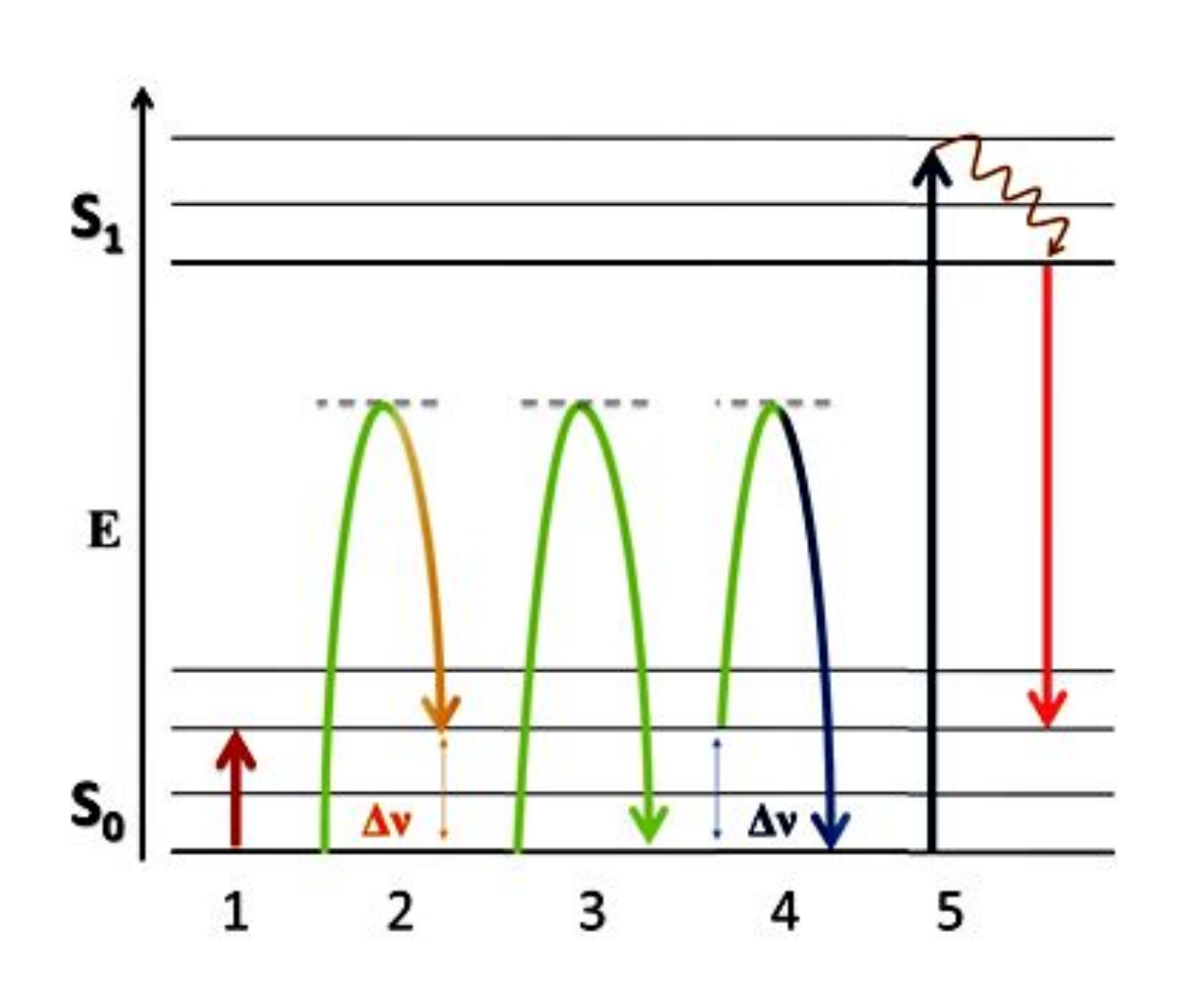


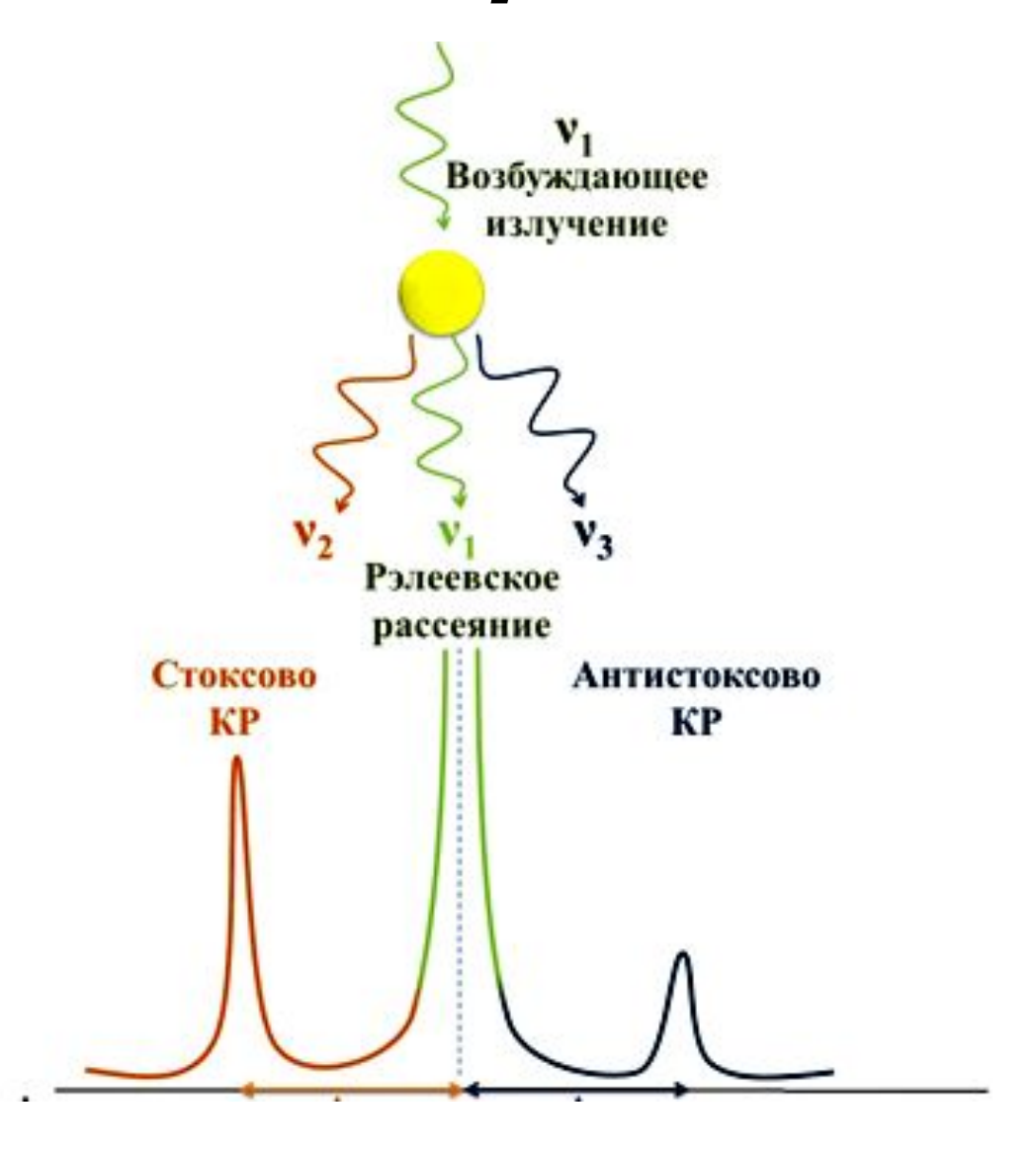
Интенсивность полосы в ИК-спектре определяется изменением **дипольного момента** 



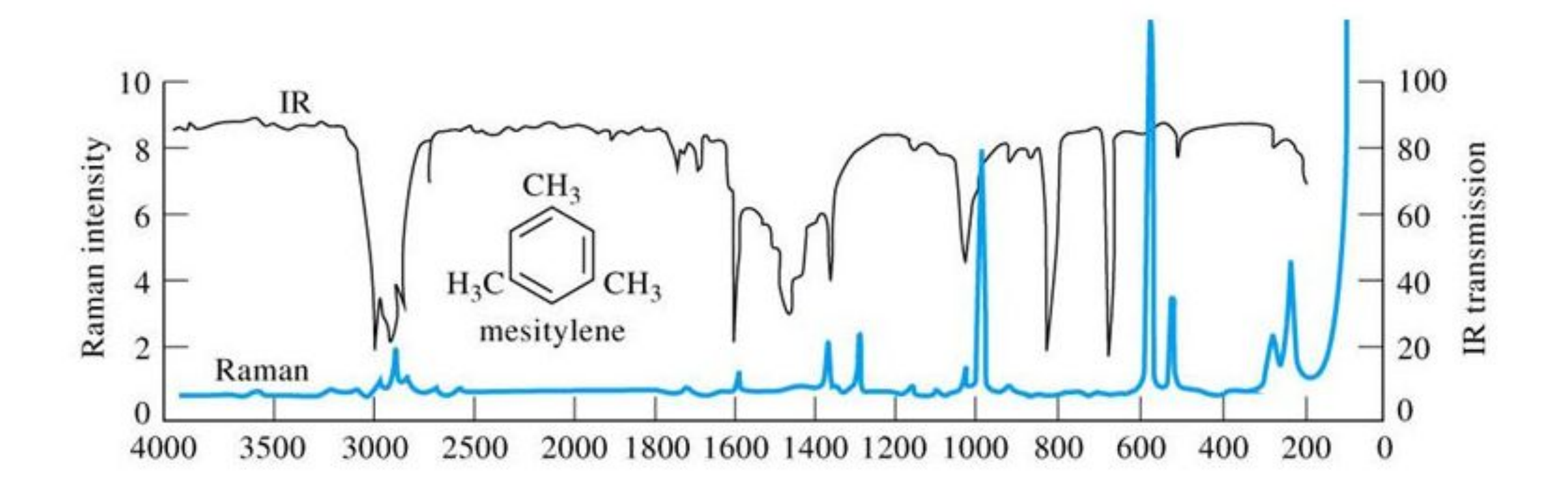


## Спектроскопия комбинационного рассеяния – Раман-спектроскопия



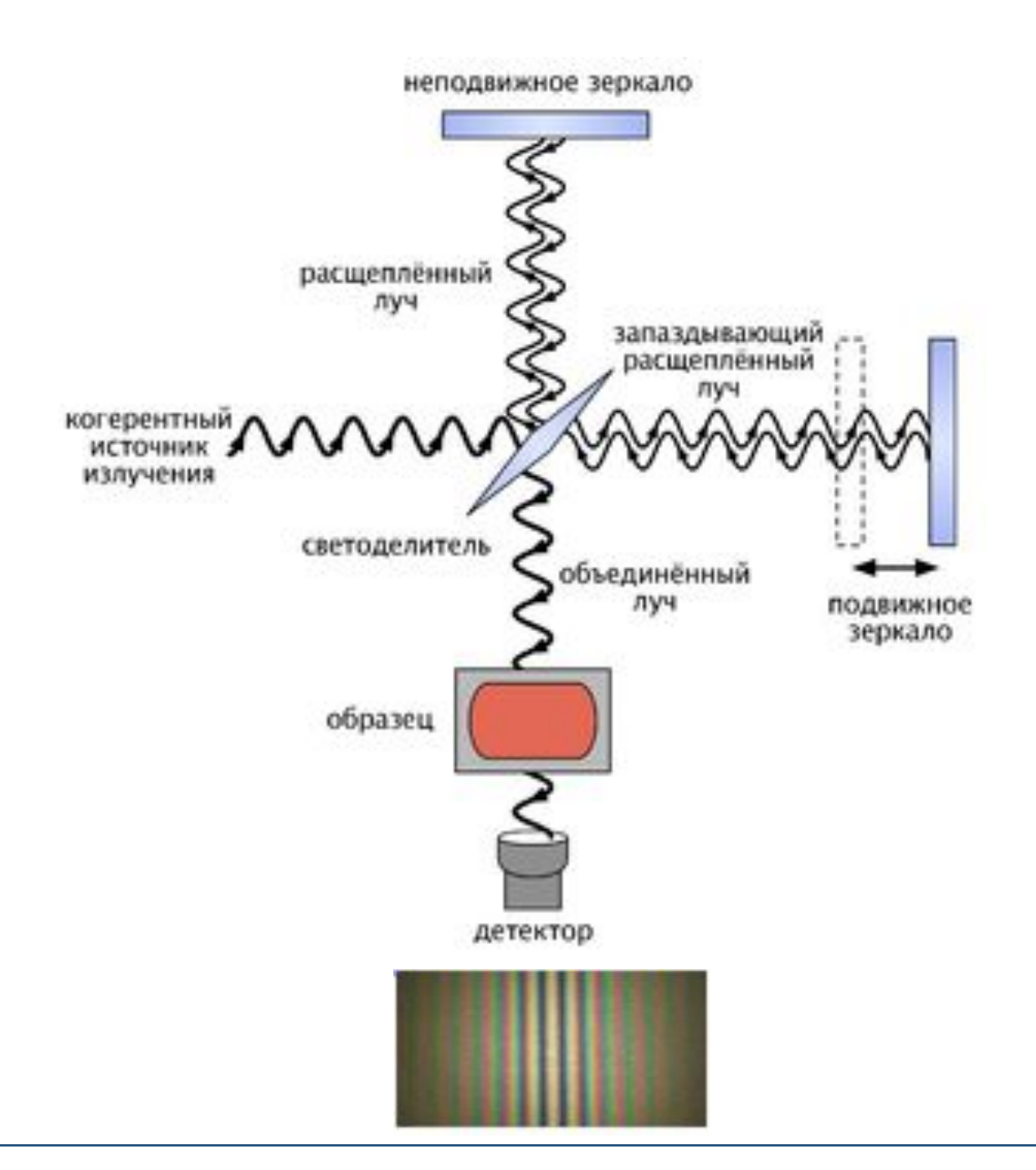


### ИК и Раман спектр мезитилена

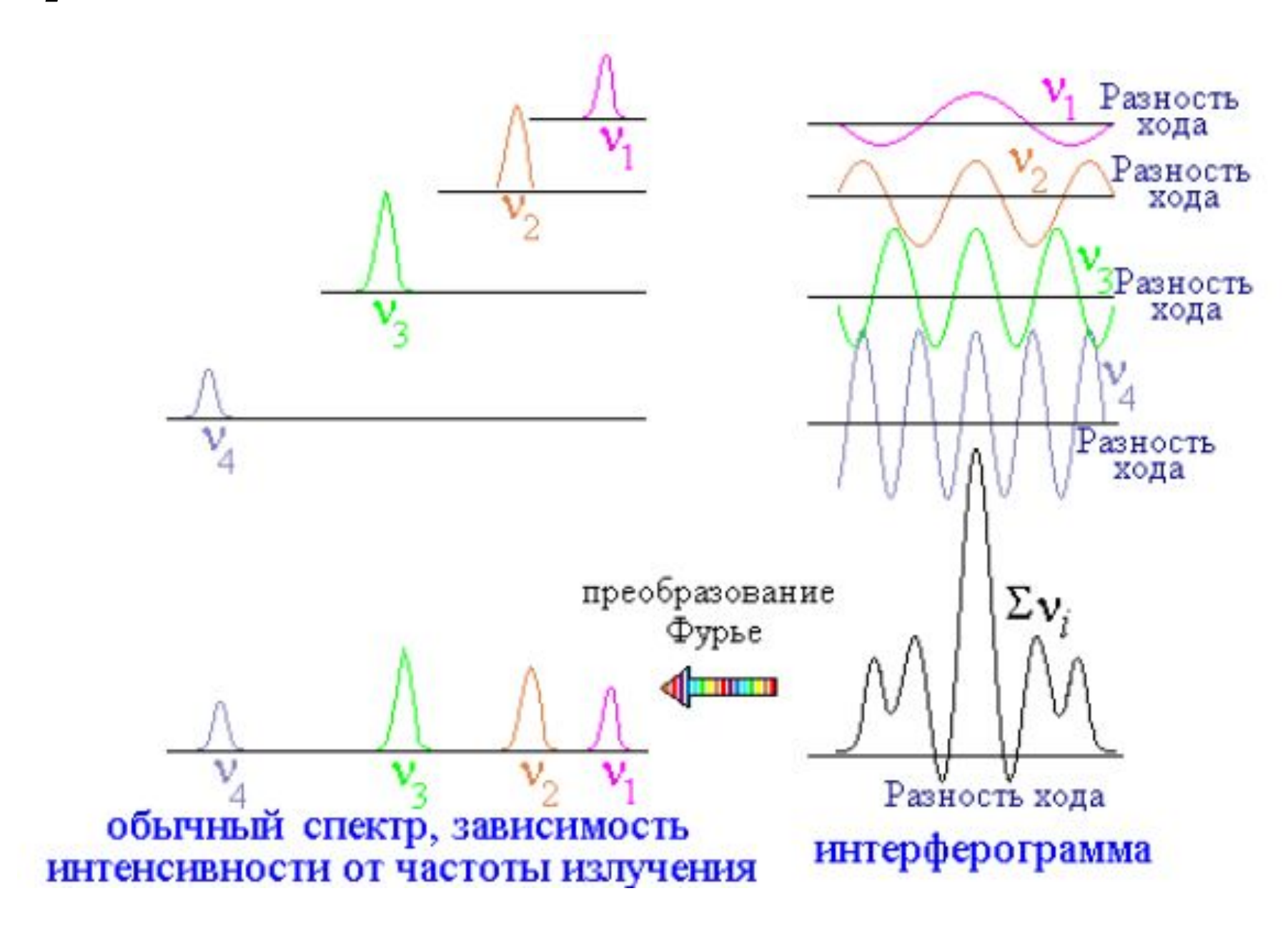


# Интереферометр Майхельсона





# Фурье преобразование



### Подготовка образца

Таблетка из материала, прозрачного в ИК области для твердых образцов





NaCl, CaF<sub>2</sub>, KBr, TlBr-TlI

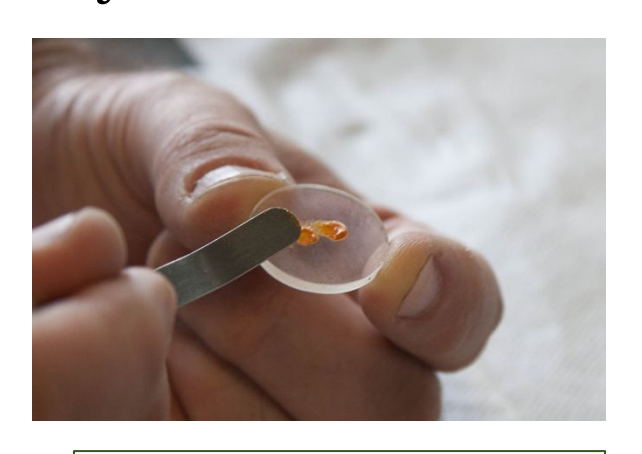


Кювета для жидких образцов





Можно снимать спектры полужидких веществ



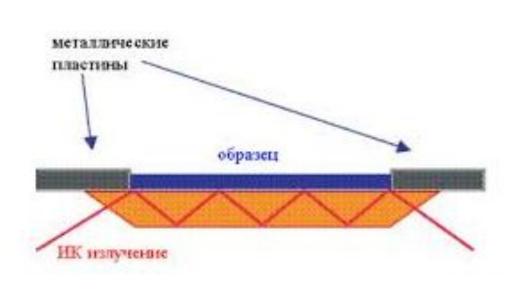
Газовая кювета



# Приставки однократного и многократного отражения

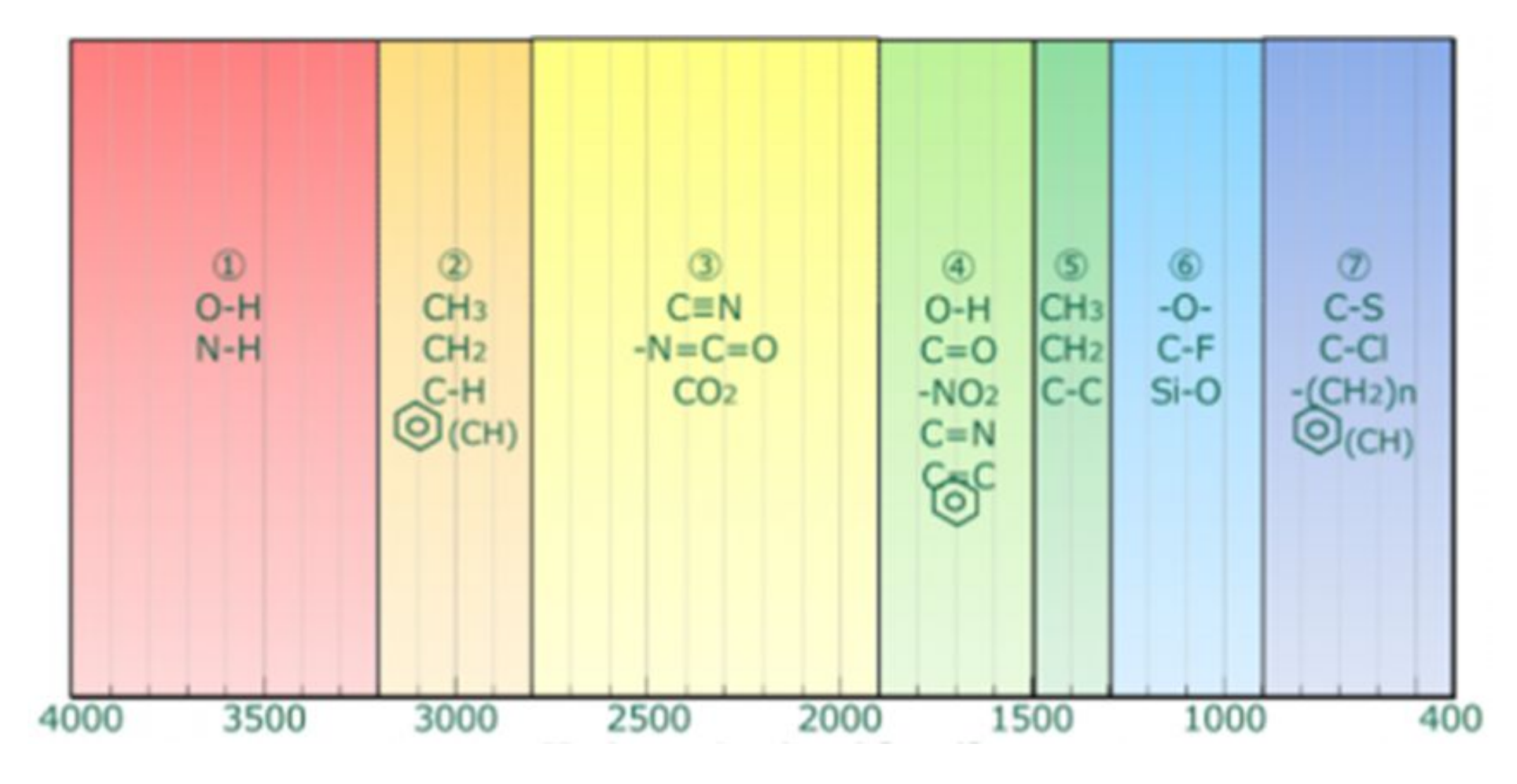






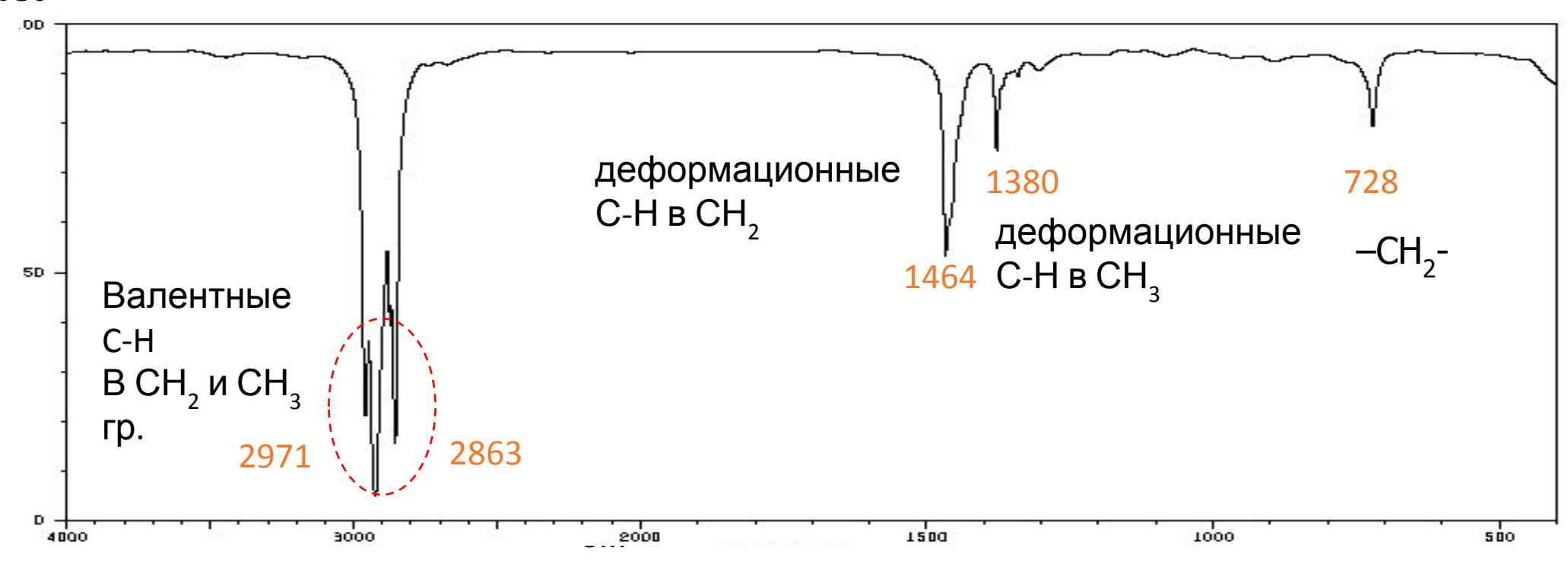
Кристалл ZnSe, алмаз

# Интервалы поглощения для разных функциональных групп

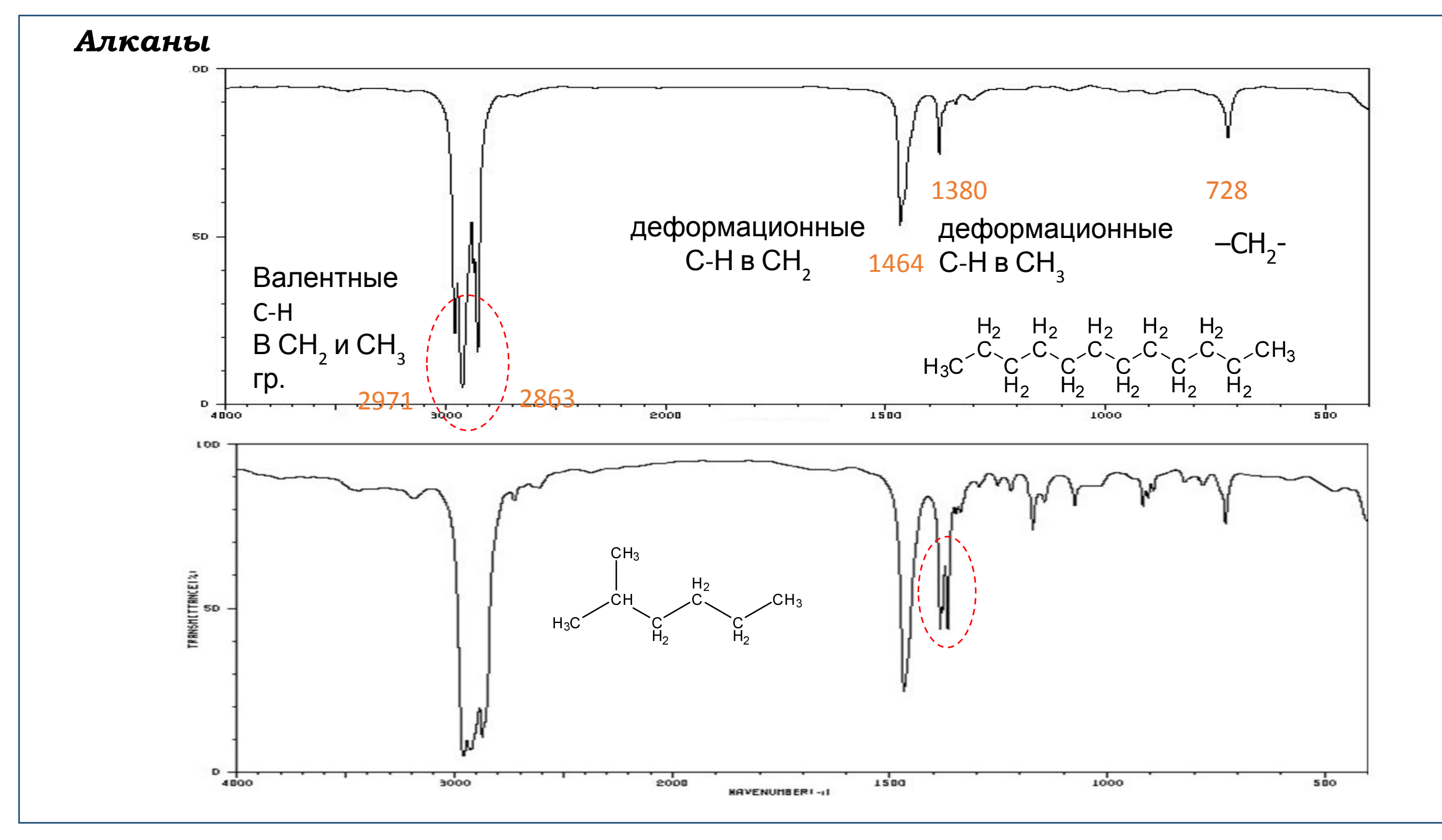


Волновое число, см<sup>-1</sup>

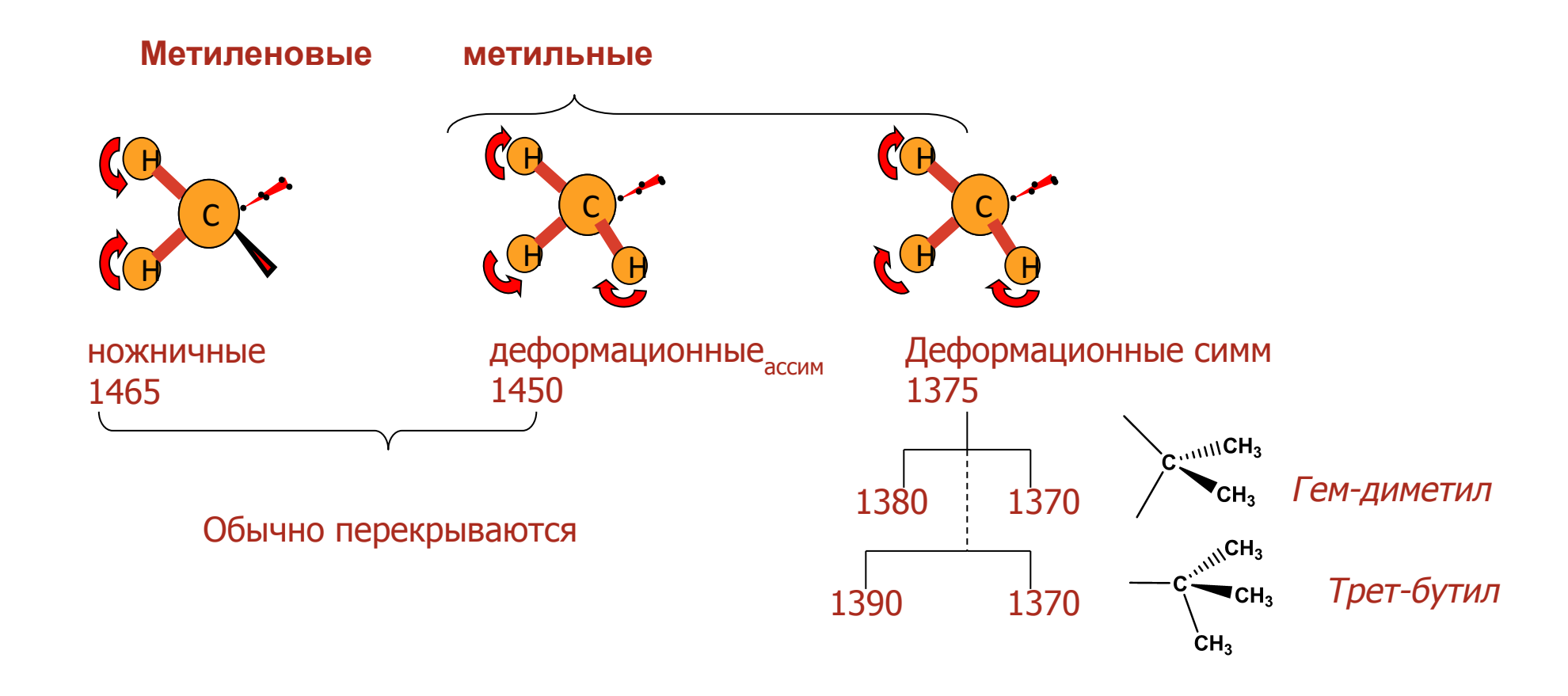
### Алканы

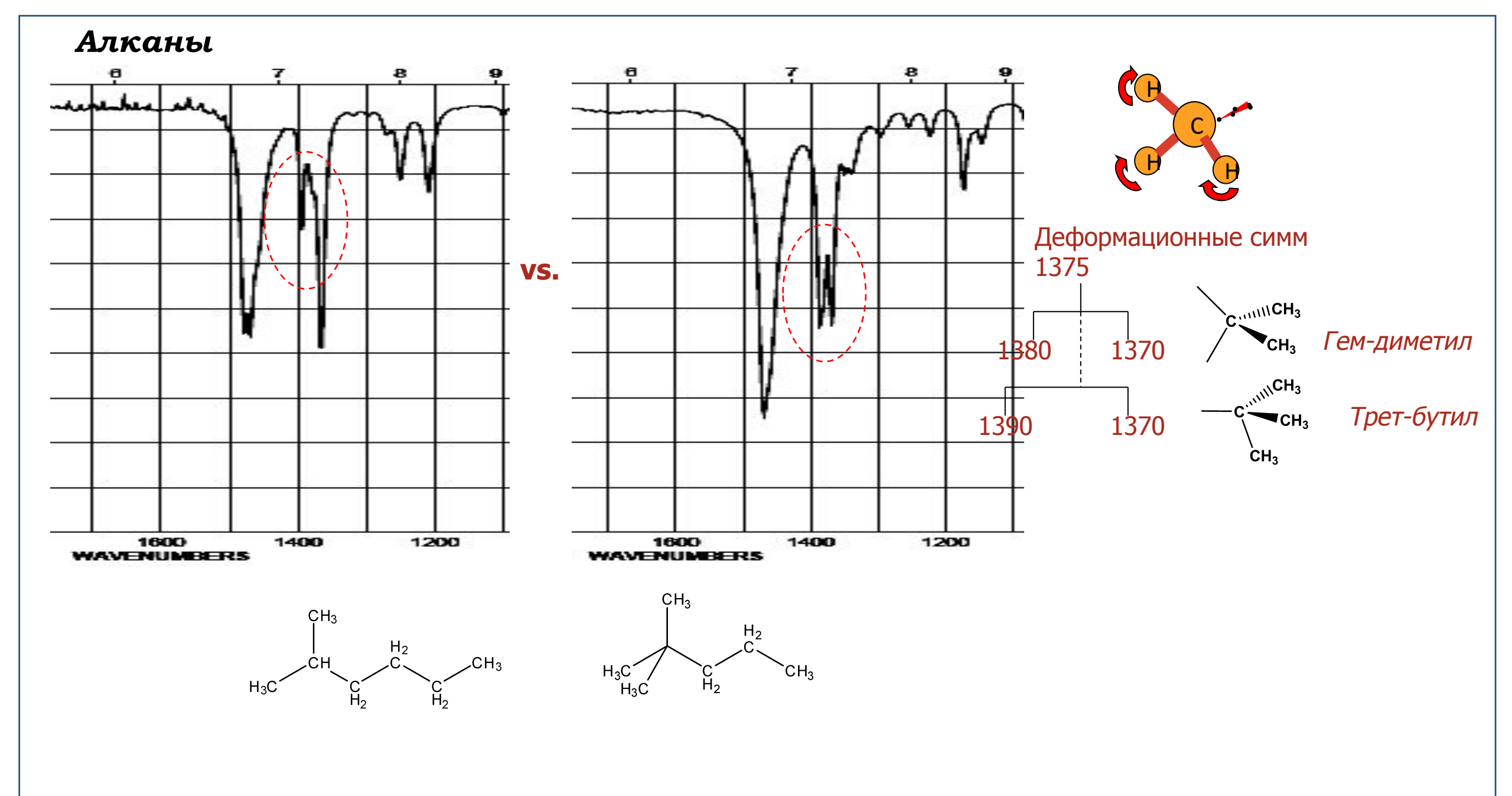


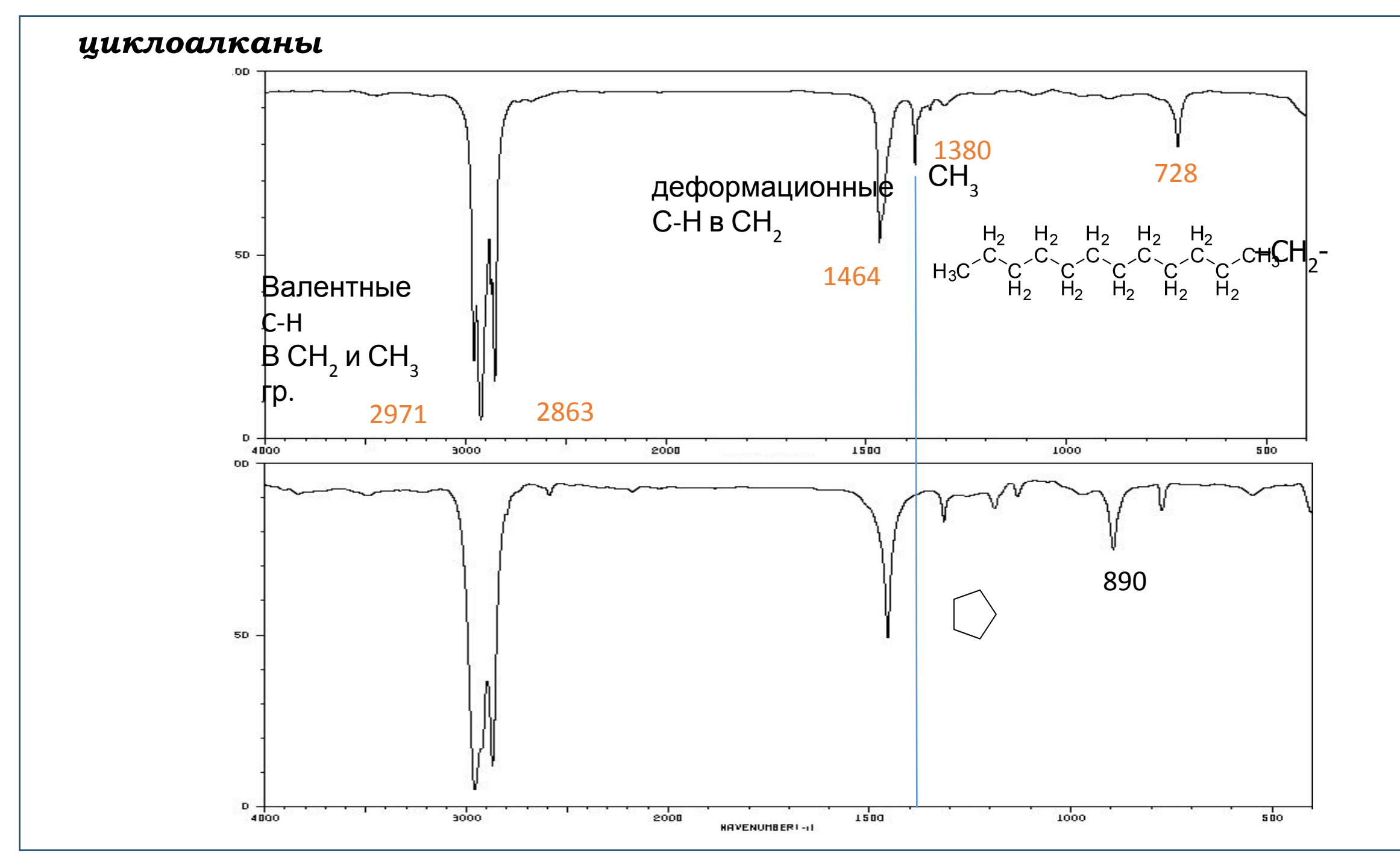
C-H	3000-2800	валентные
-CH <sub>2</sub> -	~1465	деформационные (ножничные)
-CH <sub>3</sub>	~1375	Деформационные (sym)
-(CH <sub>2</sub> ) <sub>4</sub> -	~720	Скелетные колебания CH <sub>2</sub> - (в длинных цепях)
C-C		Не используется для интерпретации

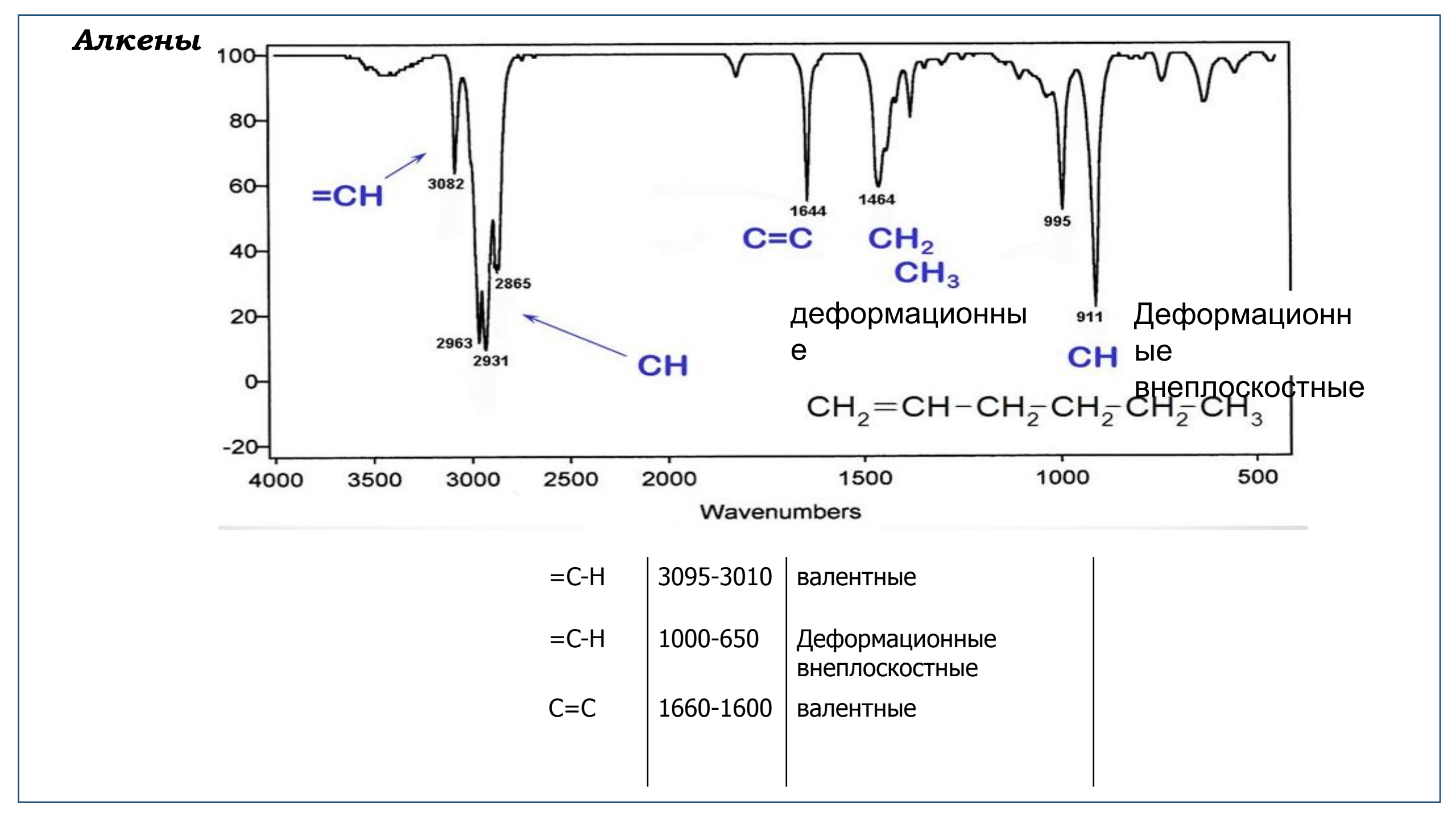


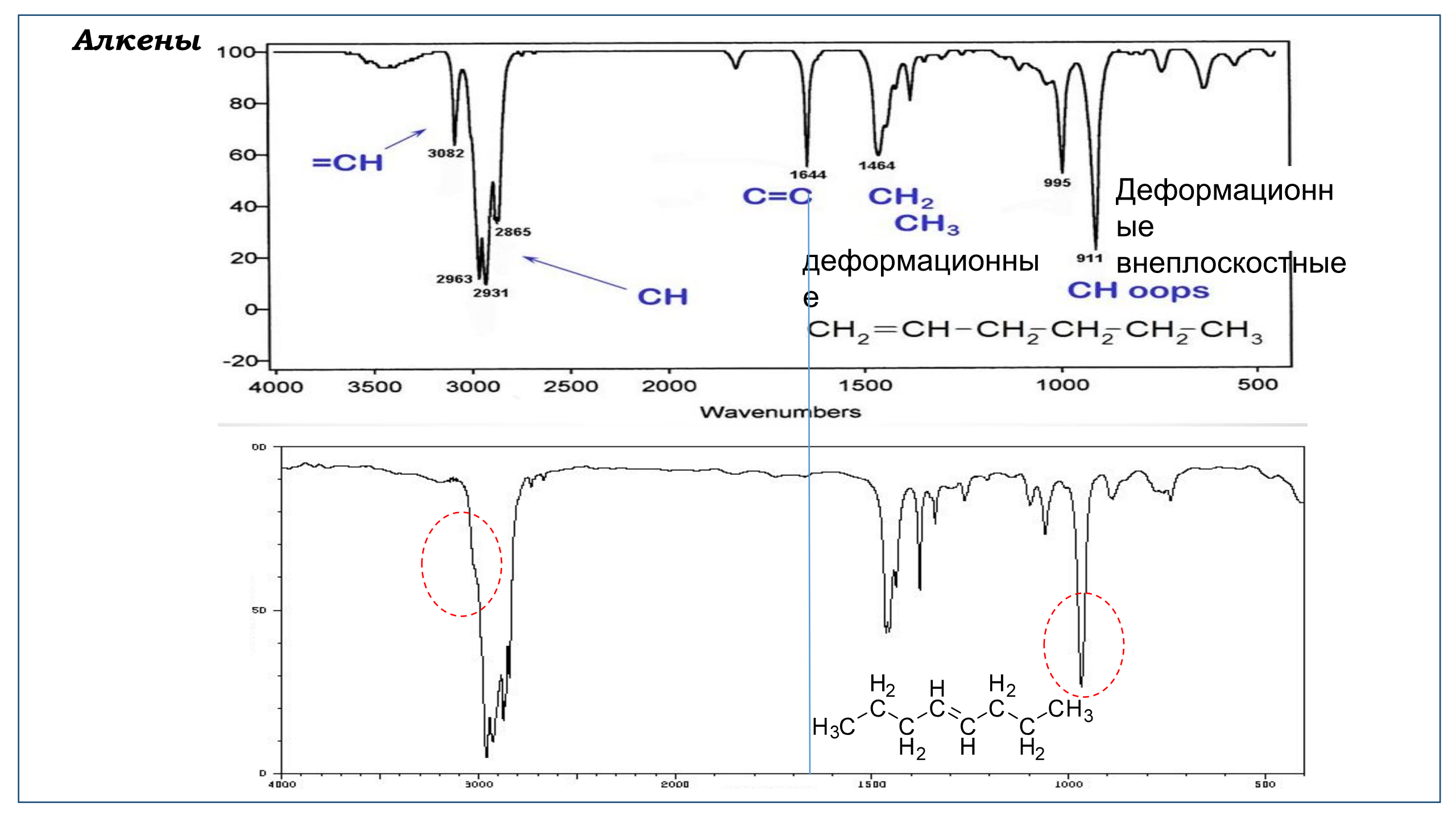
### Алканы



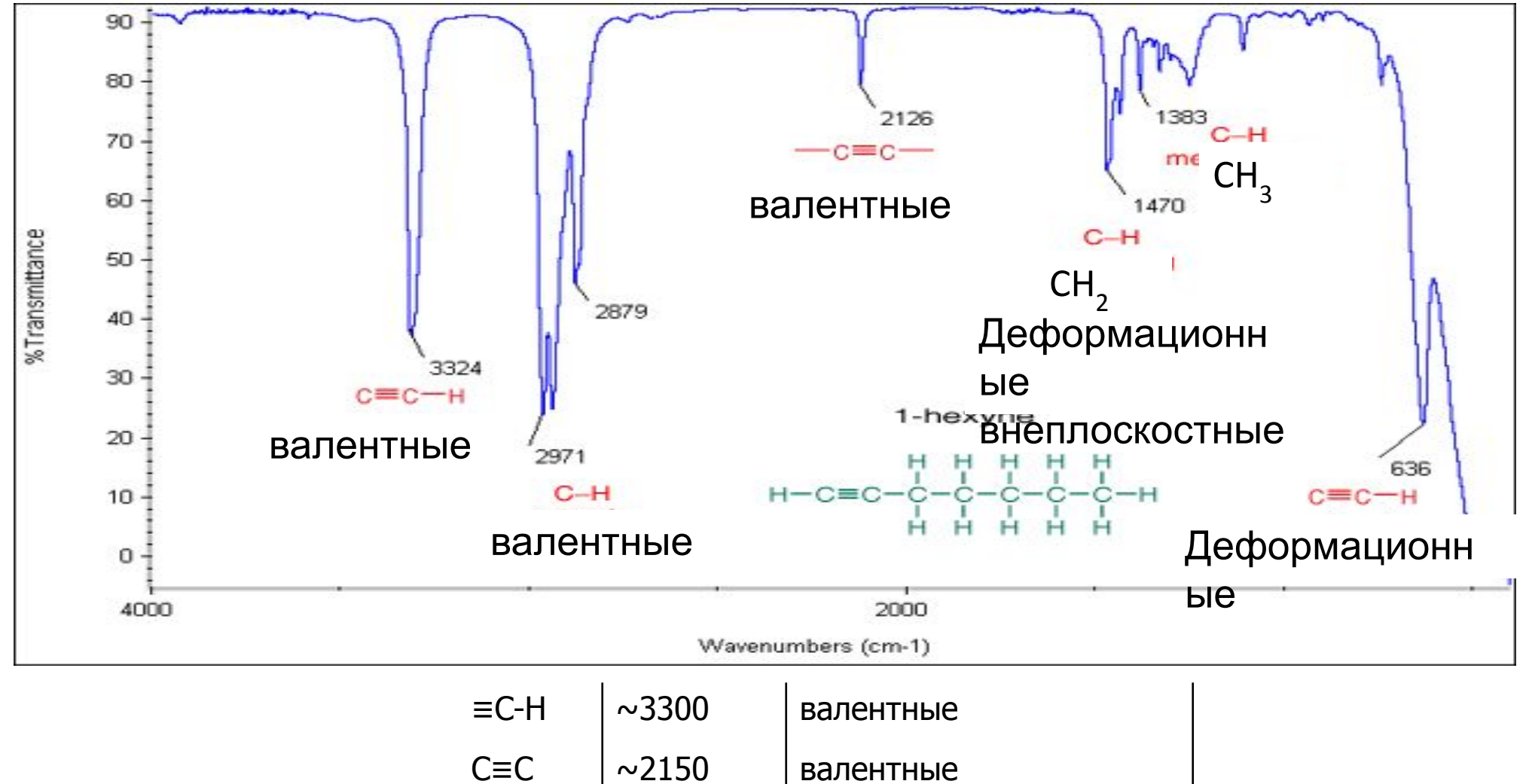






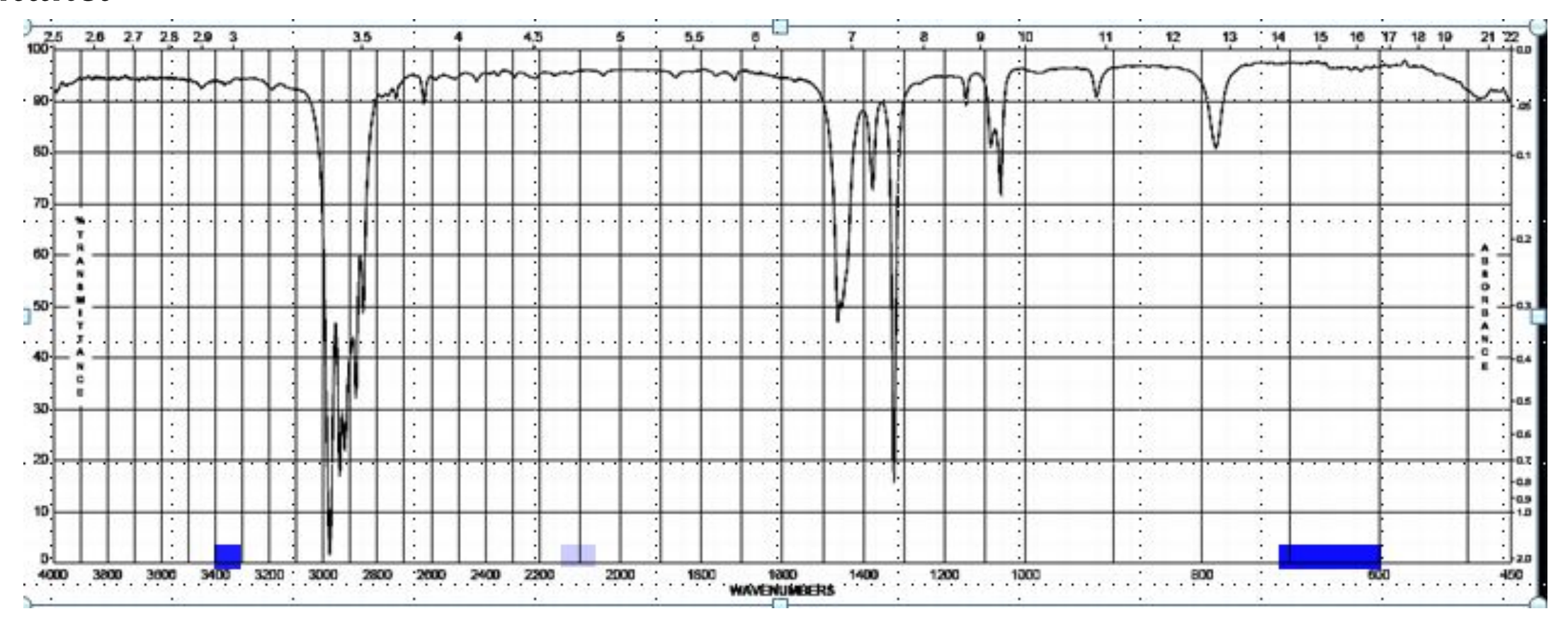


### Алкины

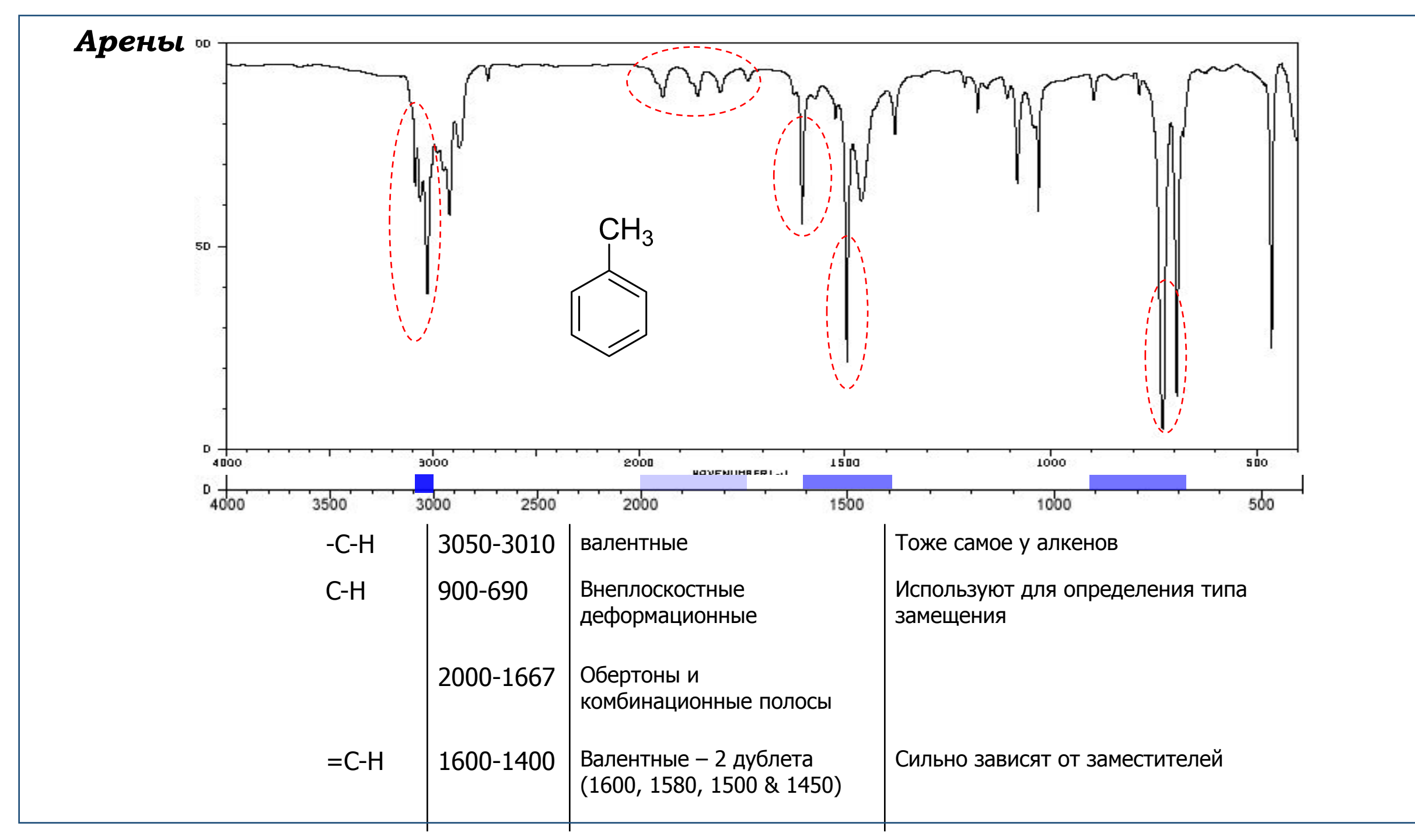


≡C-H	~3300	валентные
C≡C	~2150	валентные
≡C-H	900-700	поформационни
=С-П	900-700	деформационные

### Алкины

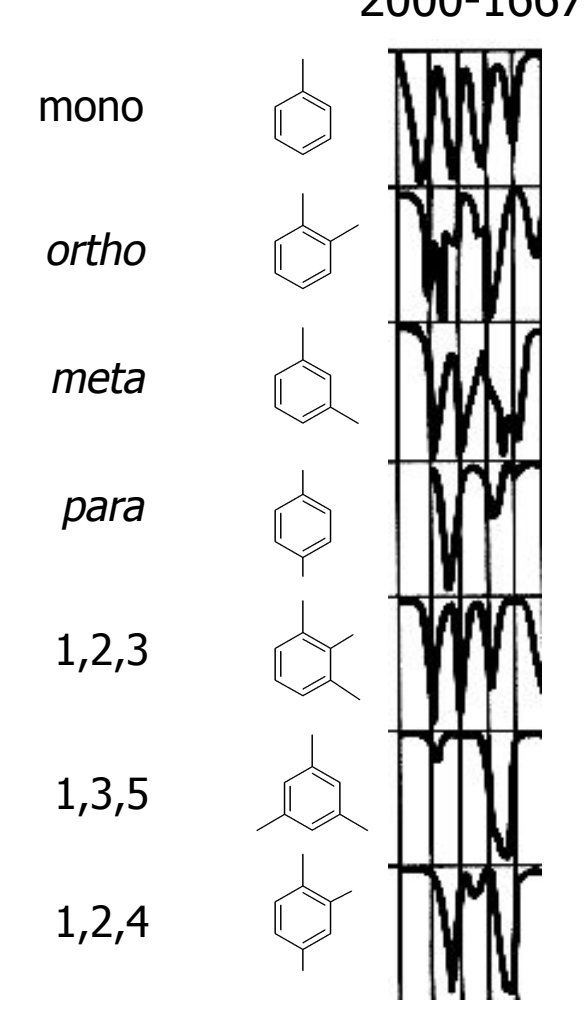


$H_2$	≡C-H	~3300	валентные
H <sub>3</sub> C C C CH <sub>3</sub>	C≡C	~2150	валентные
2	≡C-H	900-700	деформационные

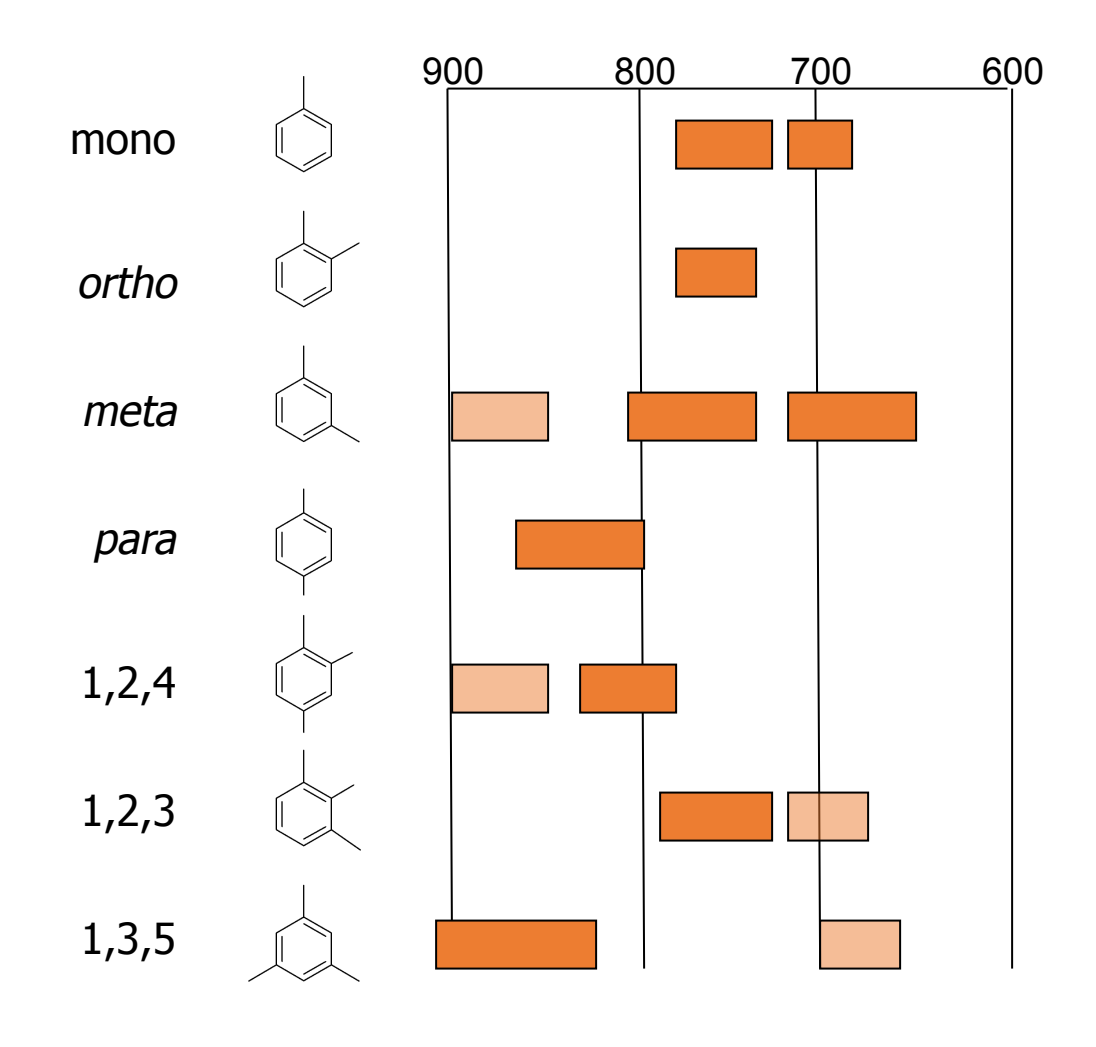


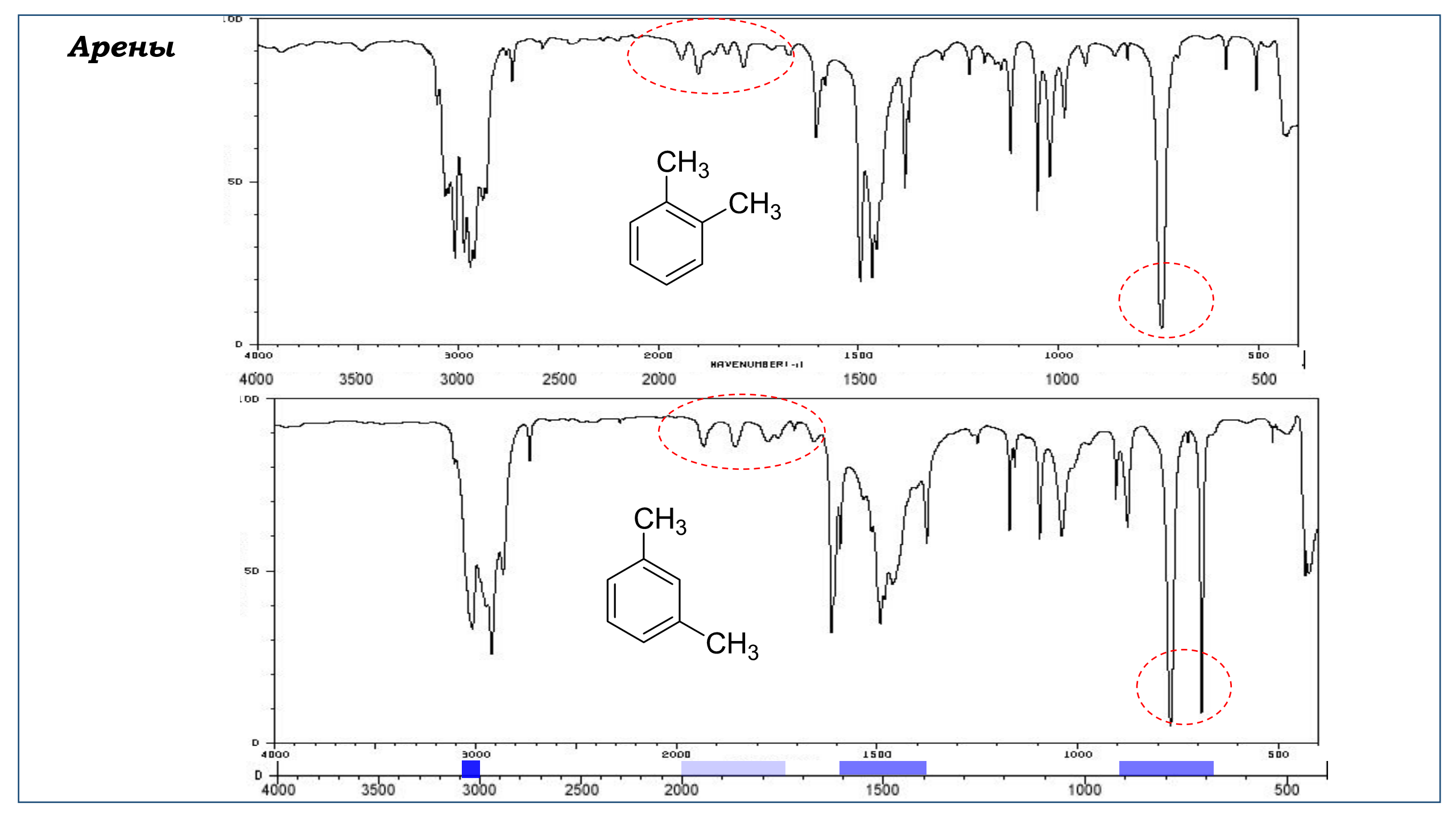
### Арены

## Комбинационные полосы 2000-1667

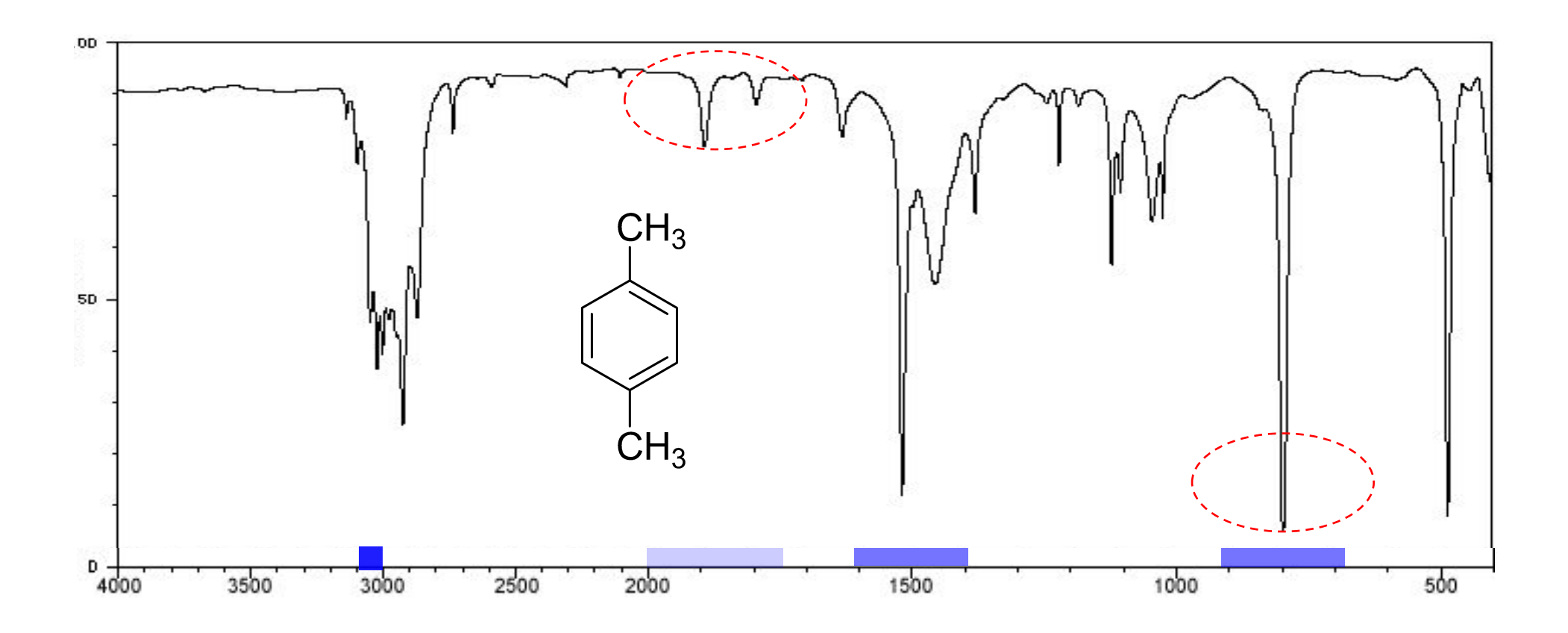


### Внеплоскостные деформационные колебания

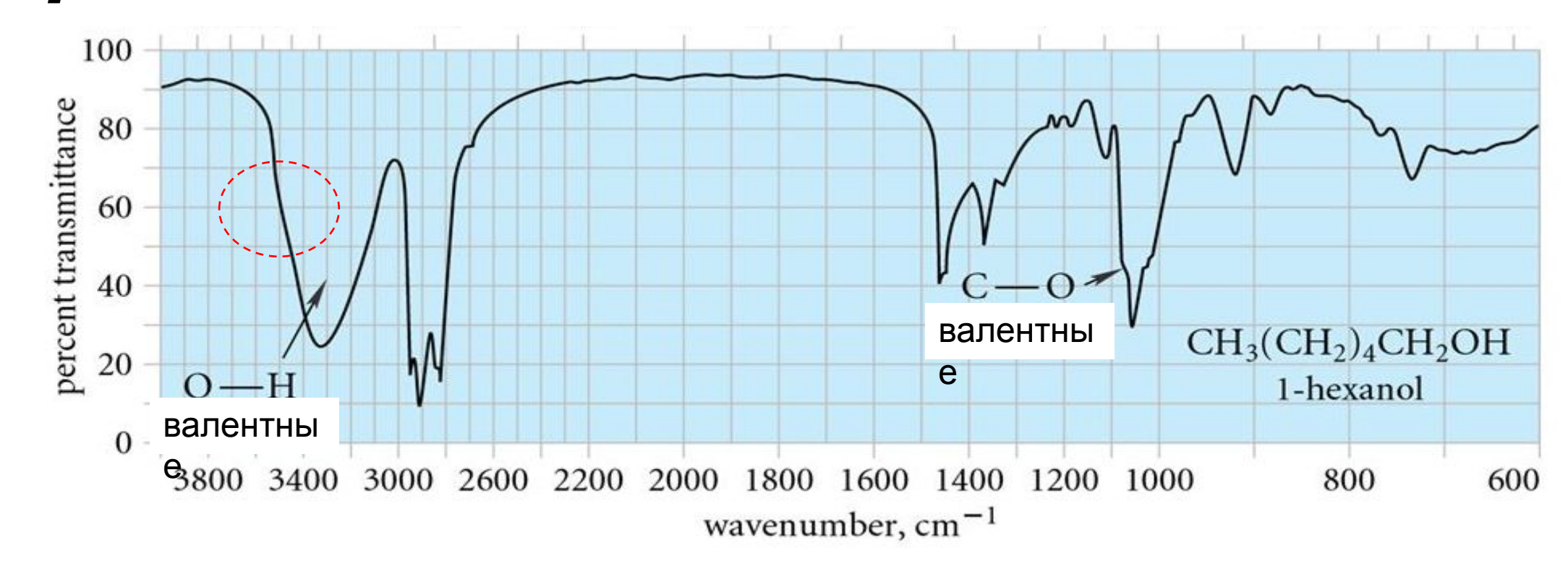


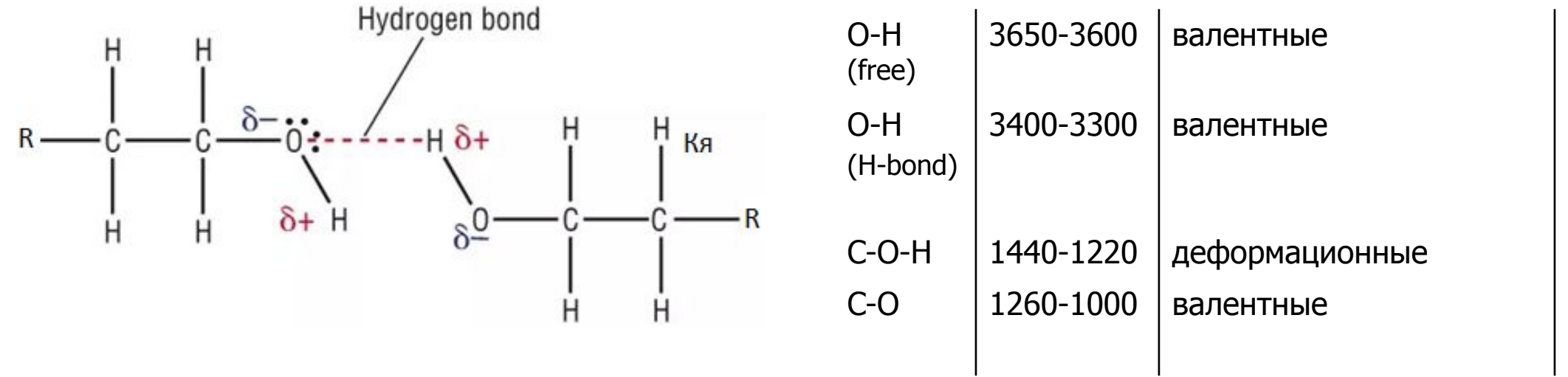


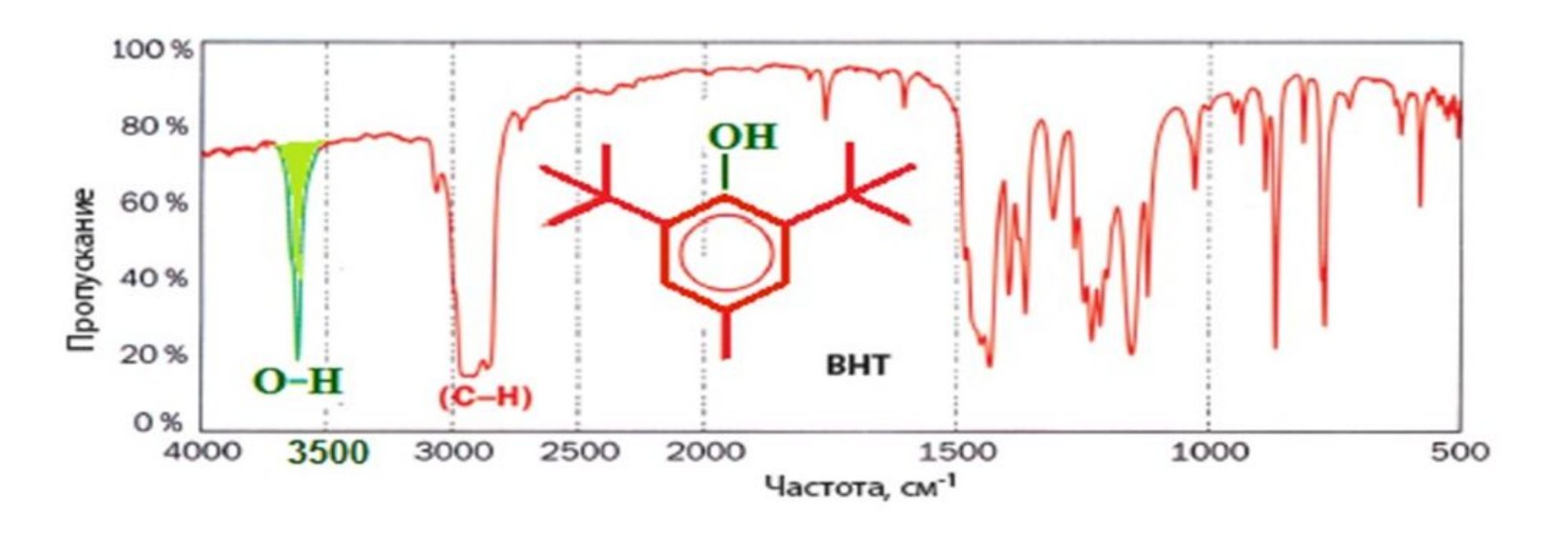
### Арены



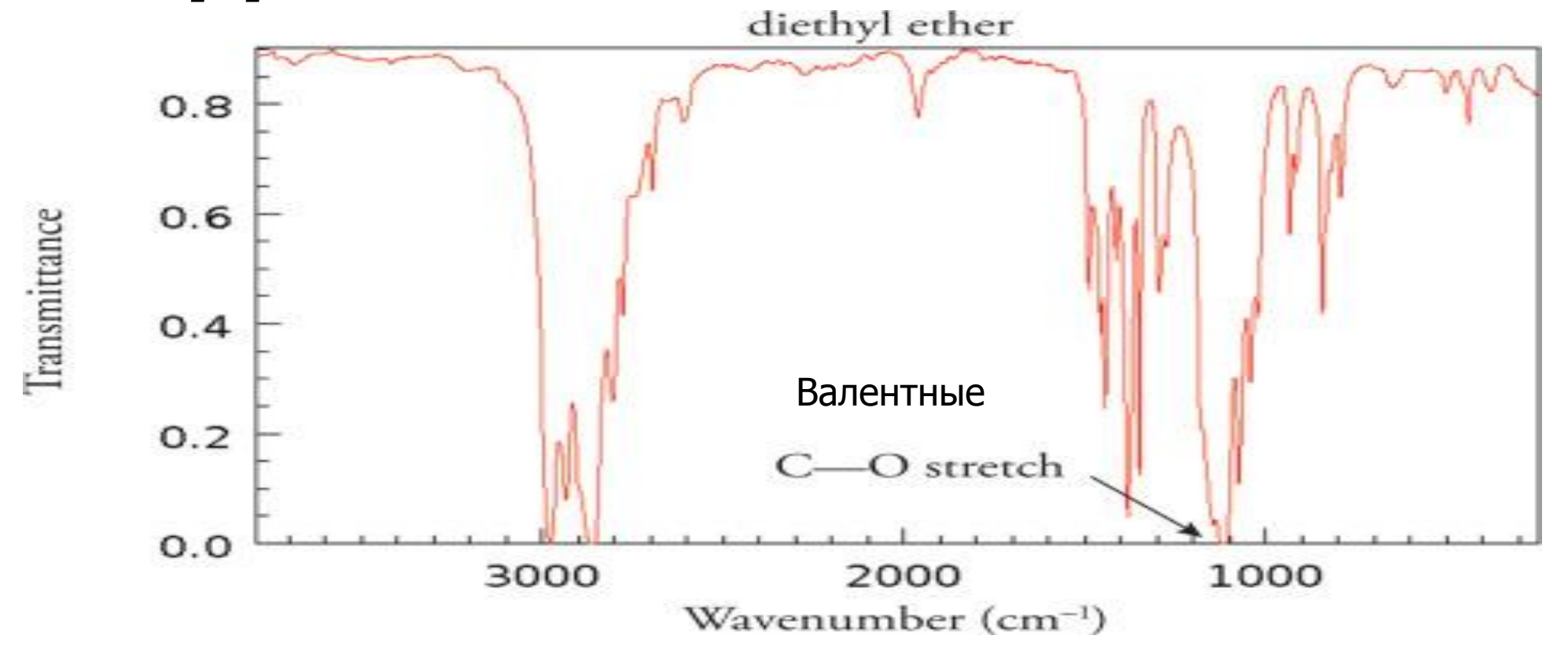
### спирты

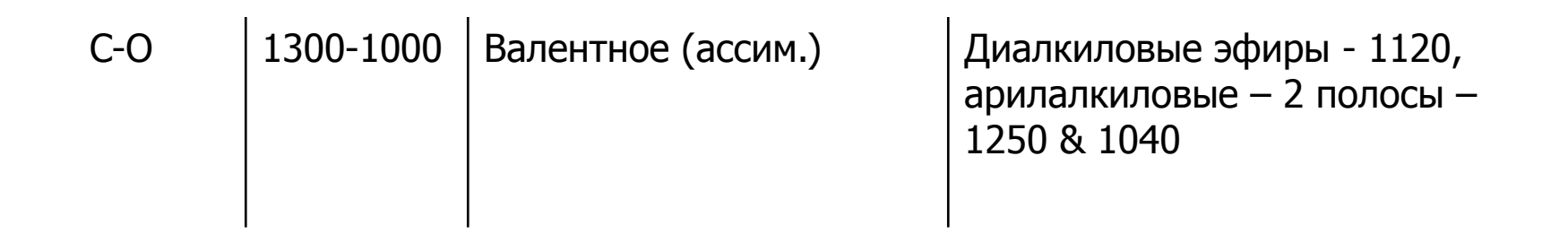




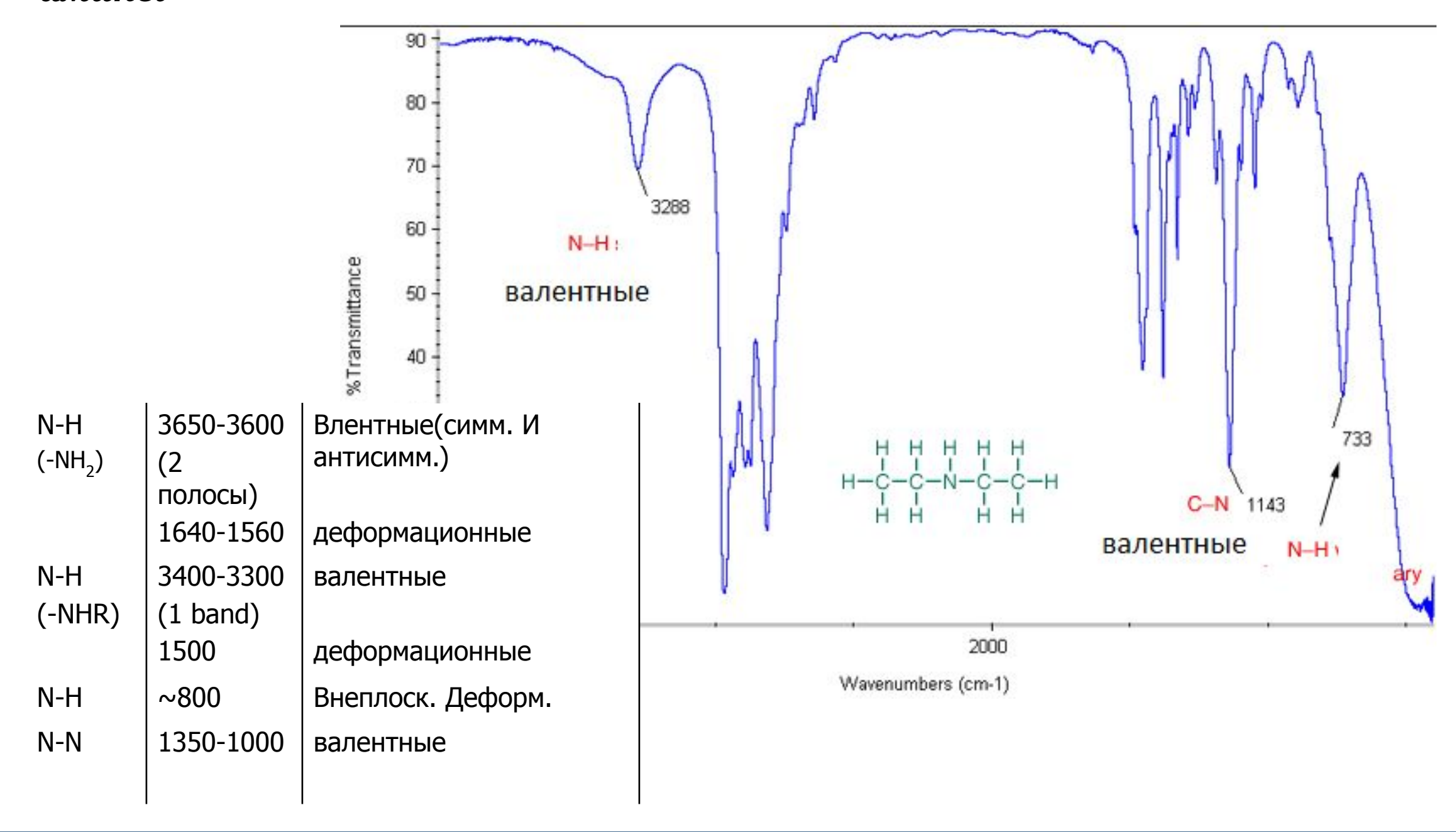


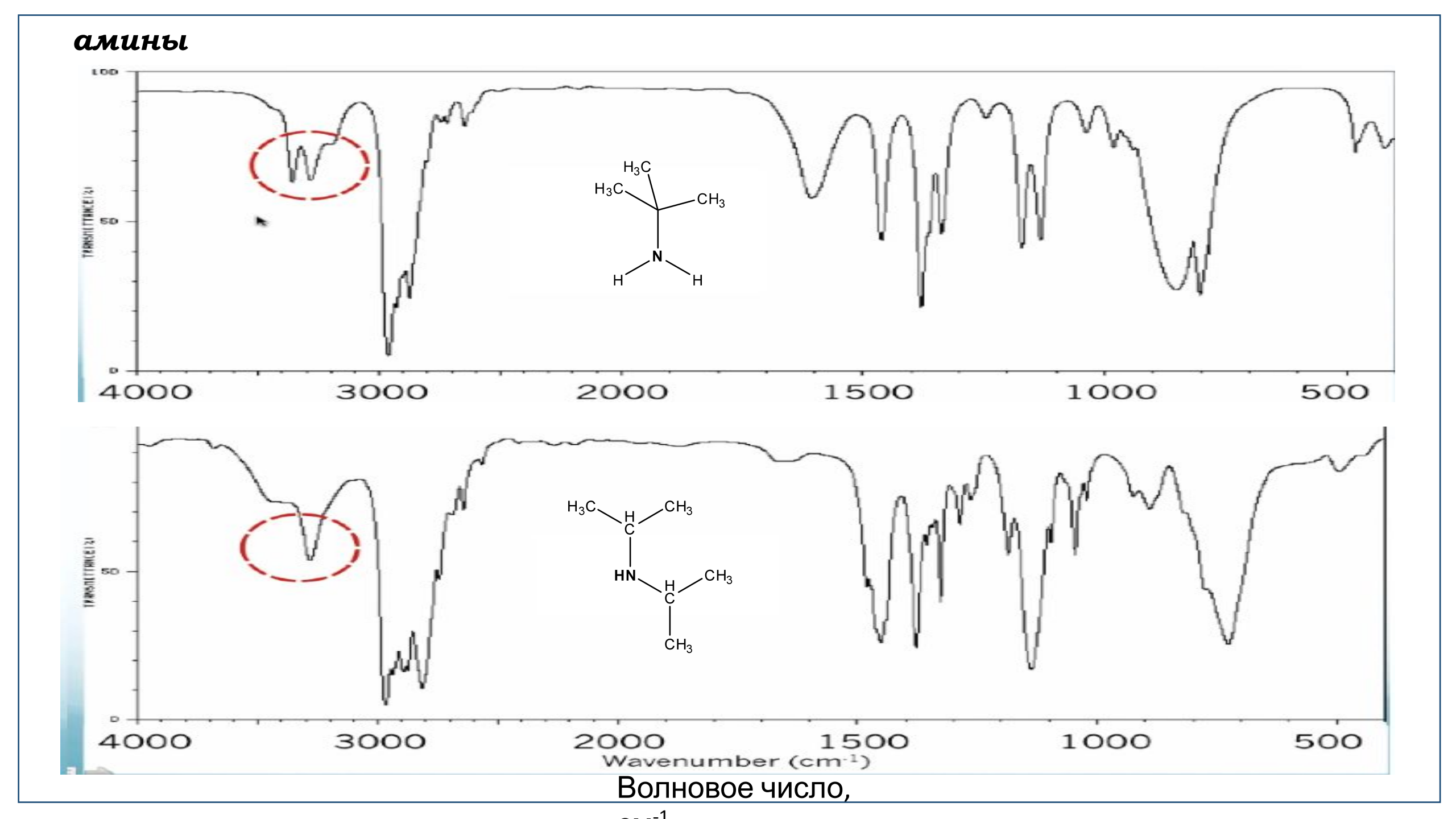
### Простые эфиры



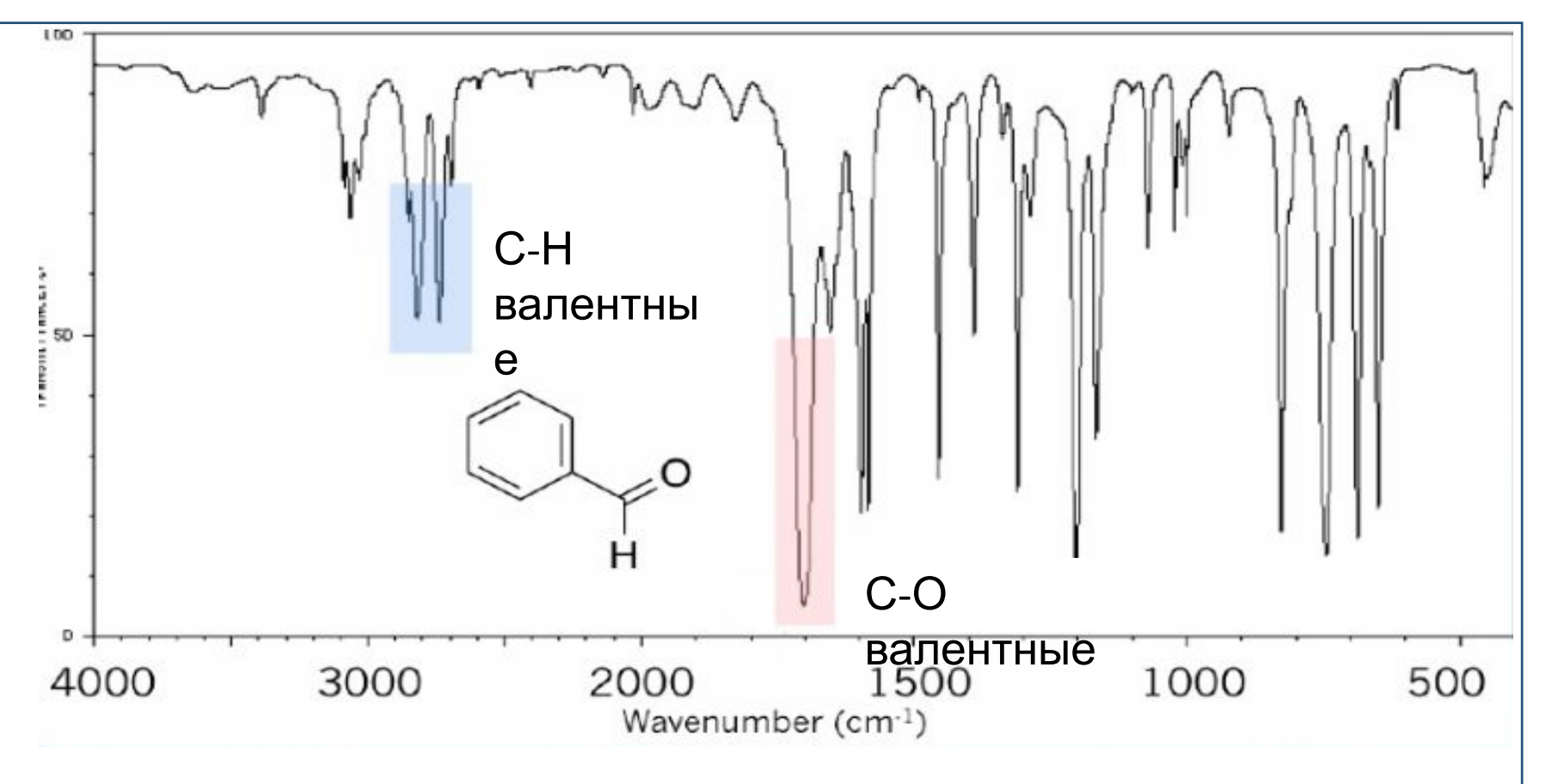


#### амины



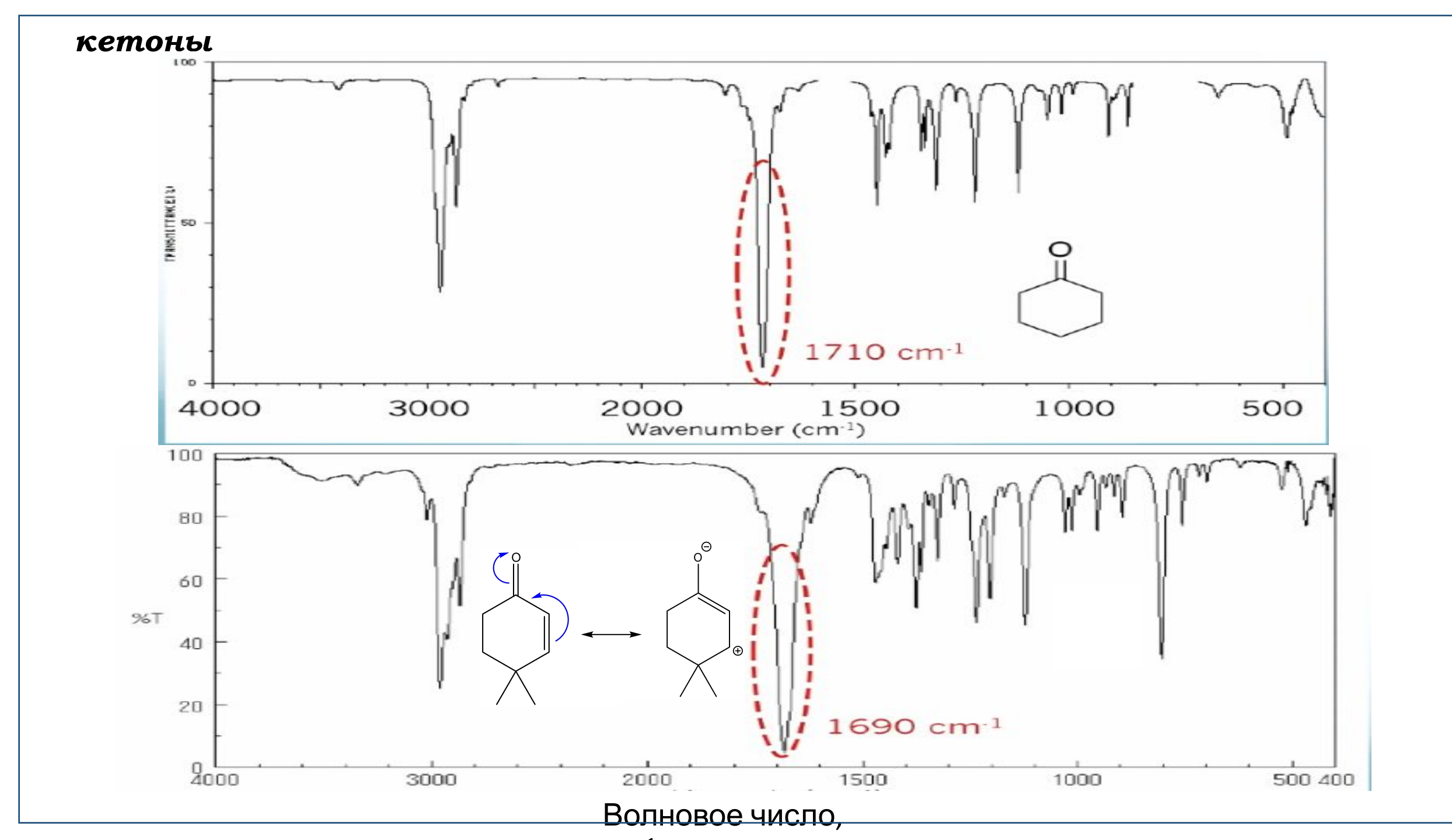


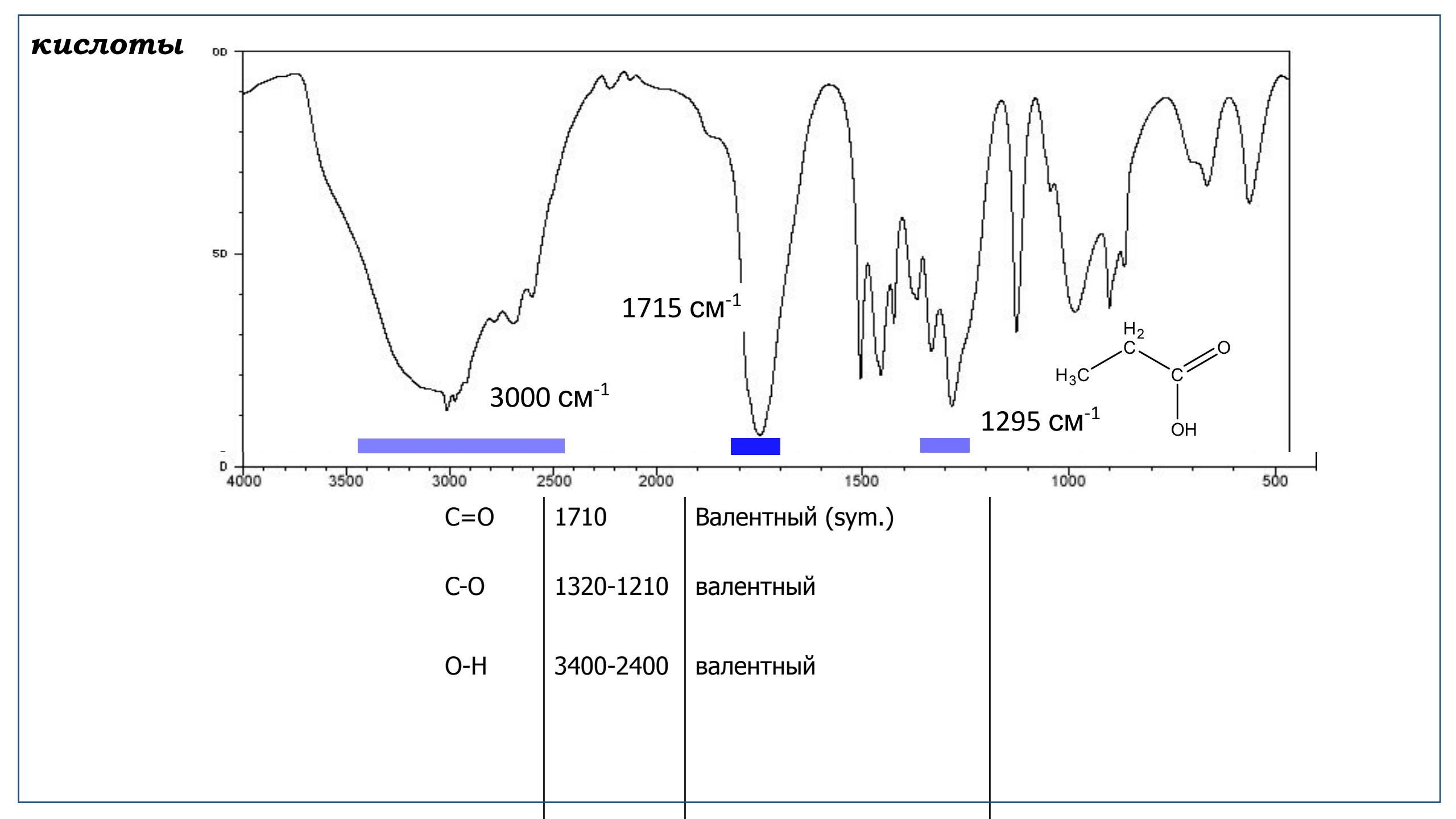




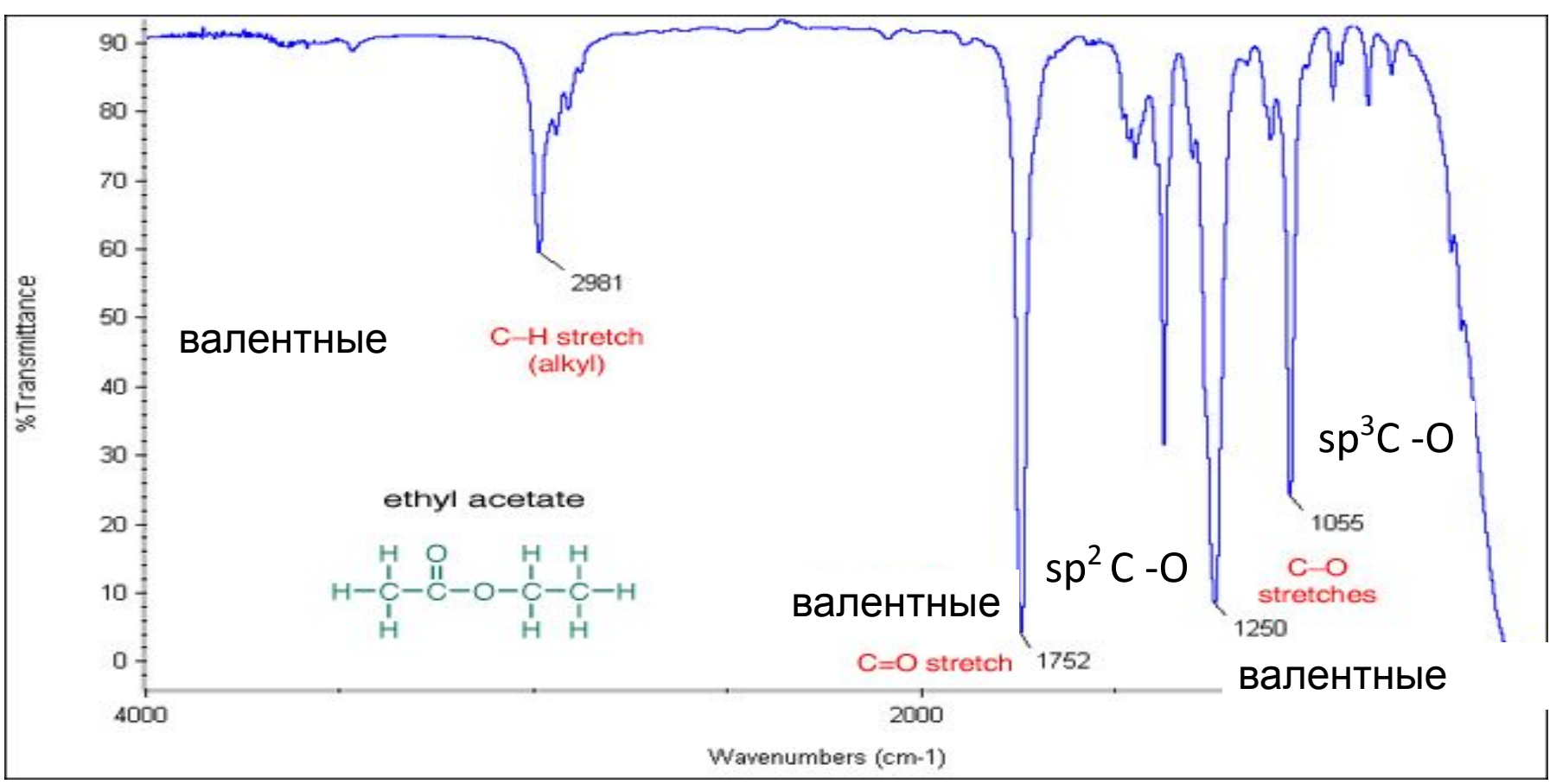
- □ v <sub>с=0</sub> Насыщенные, алифатич.
- Ненасыщ. алифатич. и ароматические
- □ v <sub>С-Н</sub> валентны

- 1740-20, 1440-1325
- 1705-1660, 1415-1350
- 2720
- 975-780





### Сложные эфиры

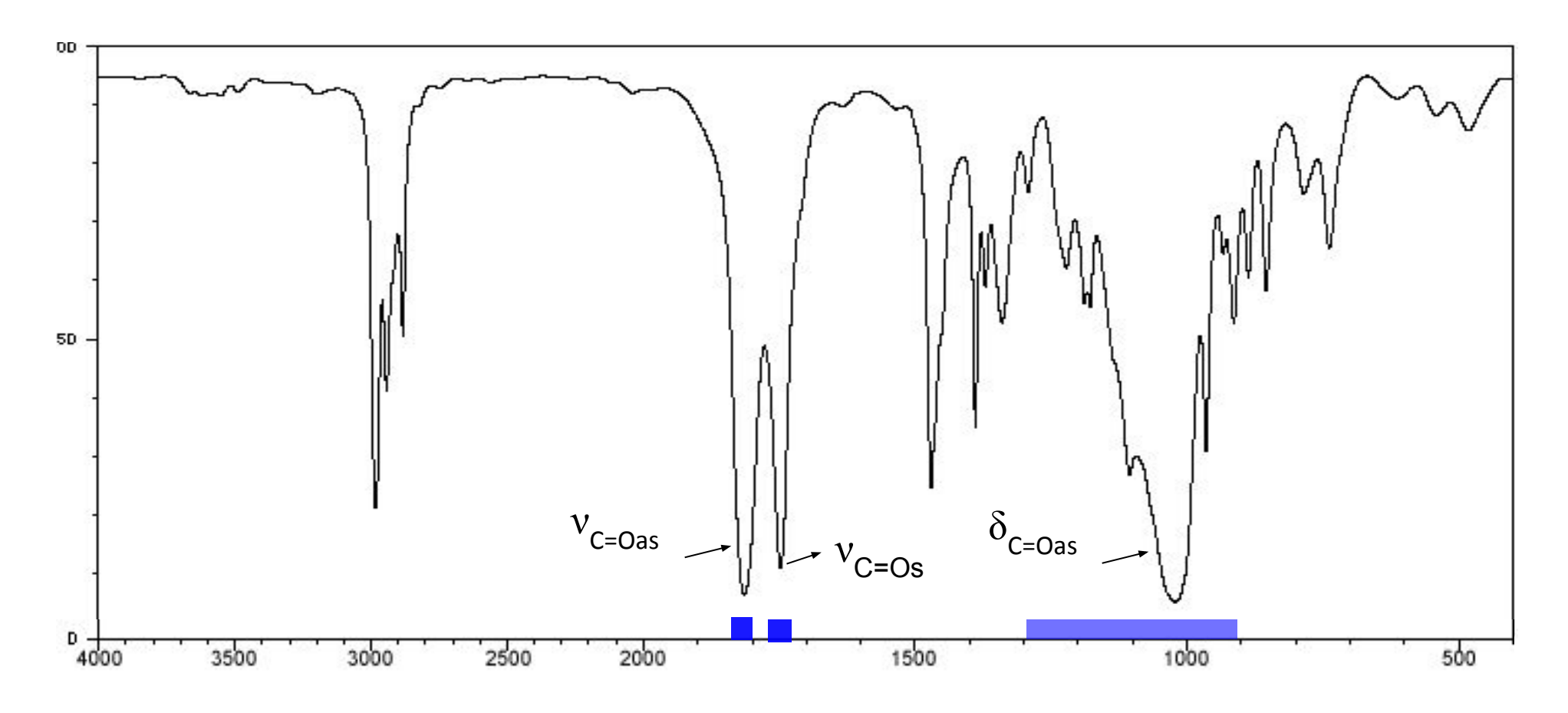


 $\nu_{C=O}$  (насыщенные)

- 1750
- $\nu_{C=O}$  ( $\alpha$ , $\beta$ -ненасыщ.)

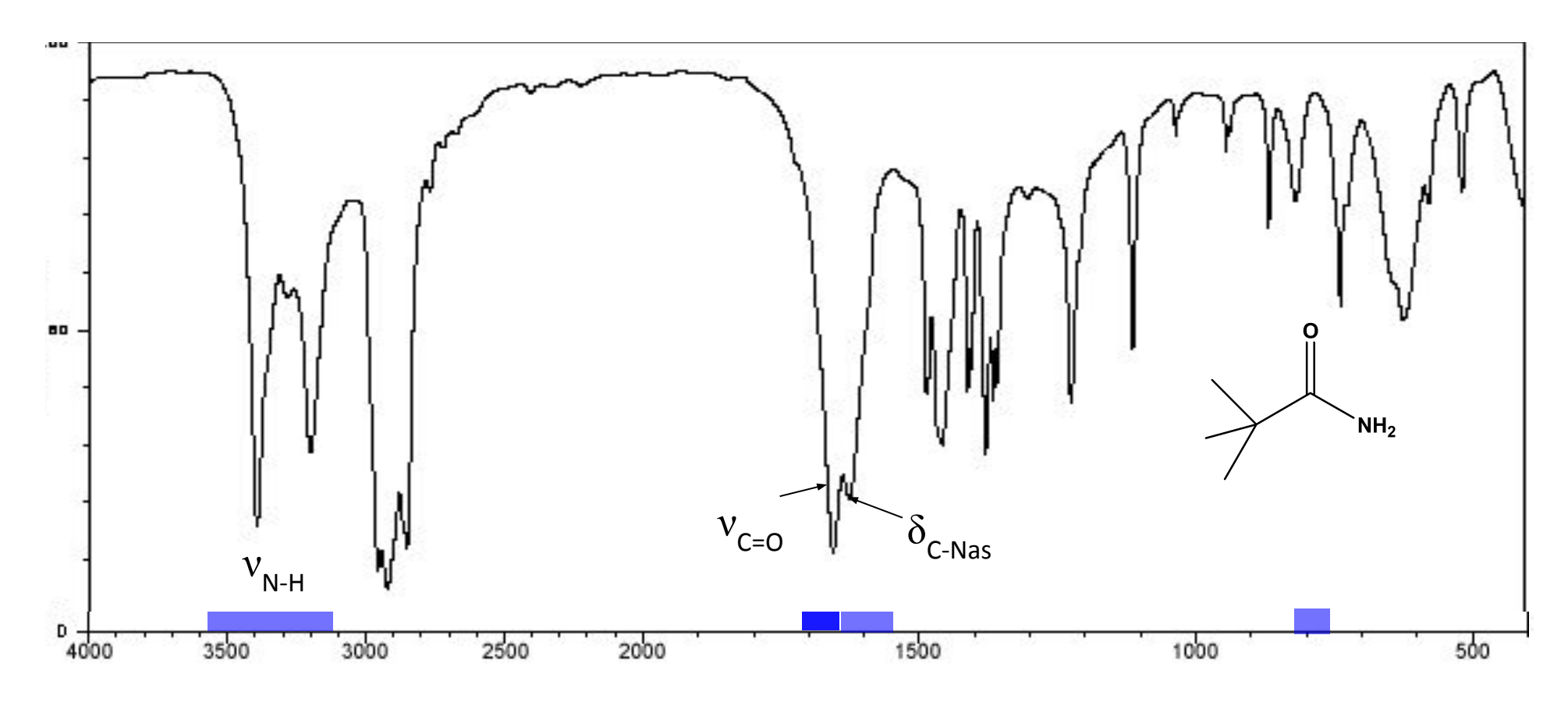
- 1730-1717
- □ v<sub>C-O</sub>(насыщенные) 2 полосы □ 1250-1180
- □ v<sub>С-</sub> (ароматич.) 2 полосы □ 1310-1110

### ангидриды



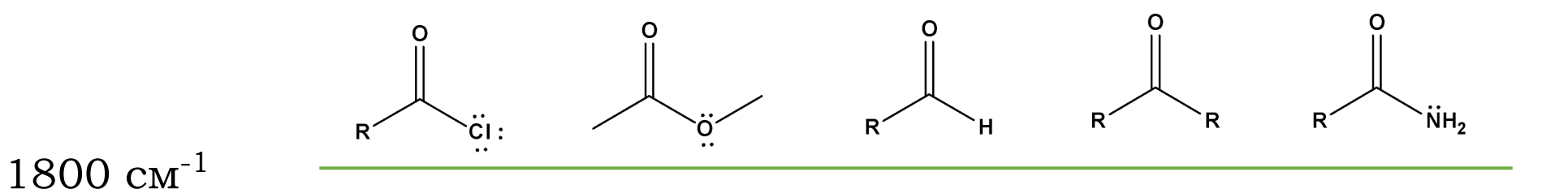
C=O	1830-1800	валентные (asym.)
conj. C=C	1778-1740	валентные (sym.)
C-O	1300-900	Валентные (ряд полос)

### амиды



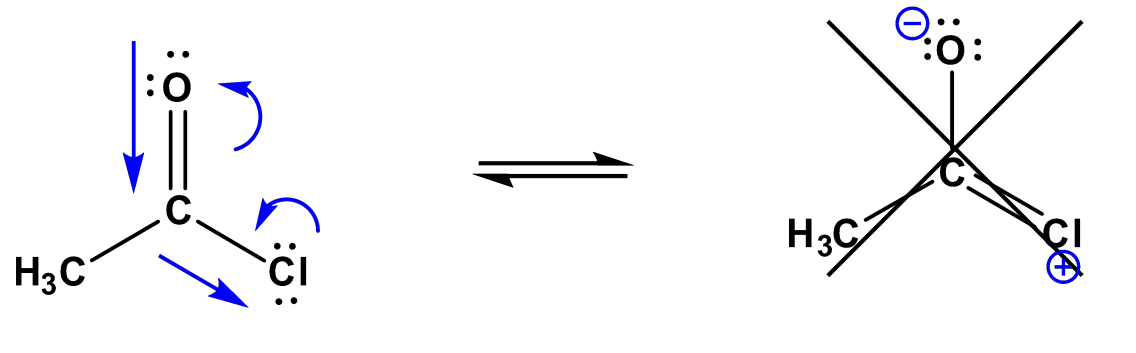
C=O	1685	Валентные (сим.)
N-H	~3300	валентные
N-H	1640-1550	деформационные
N-H	~800	Внеплоскостные деформ.

### Карбонильные соединения



CNOF

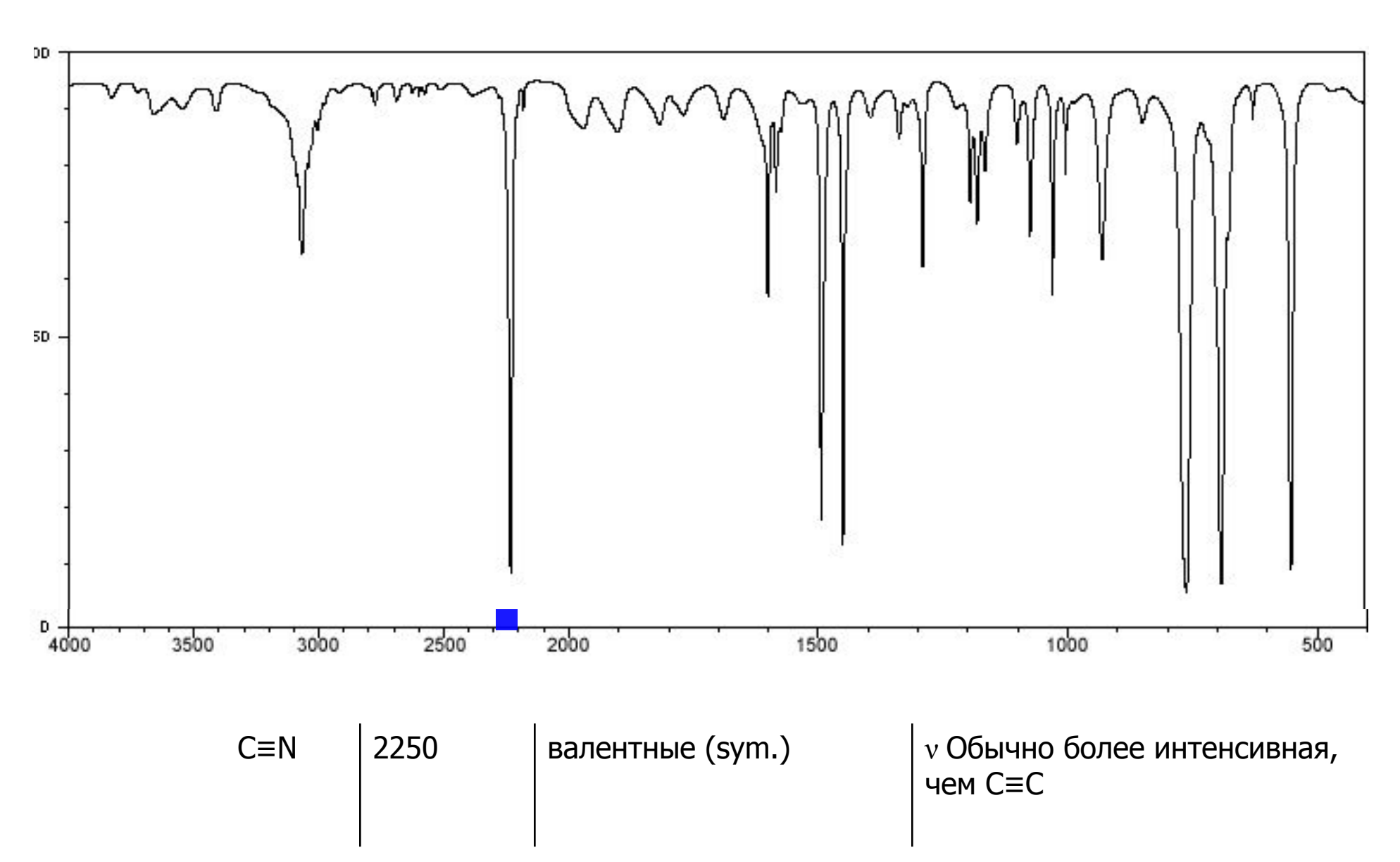
1650 см<sup>-1</sup>



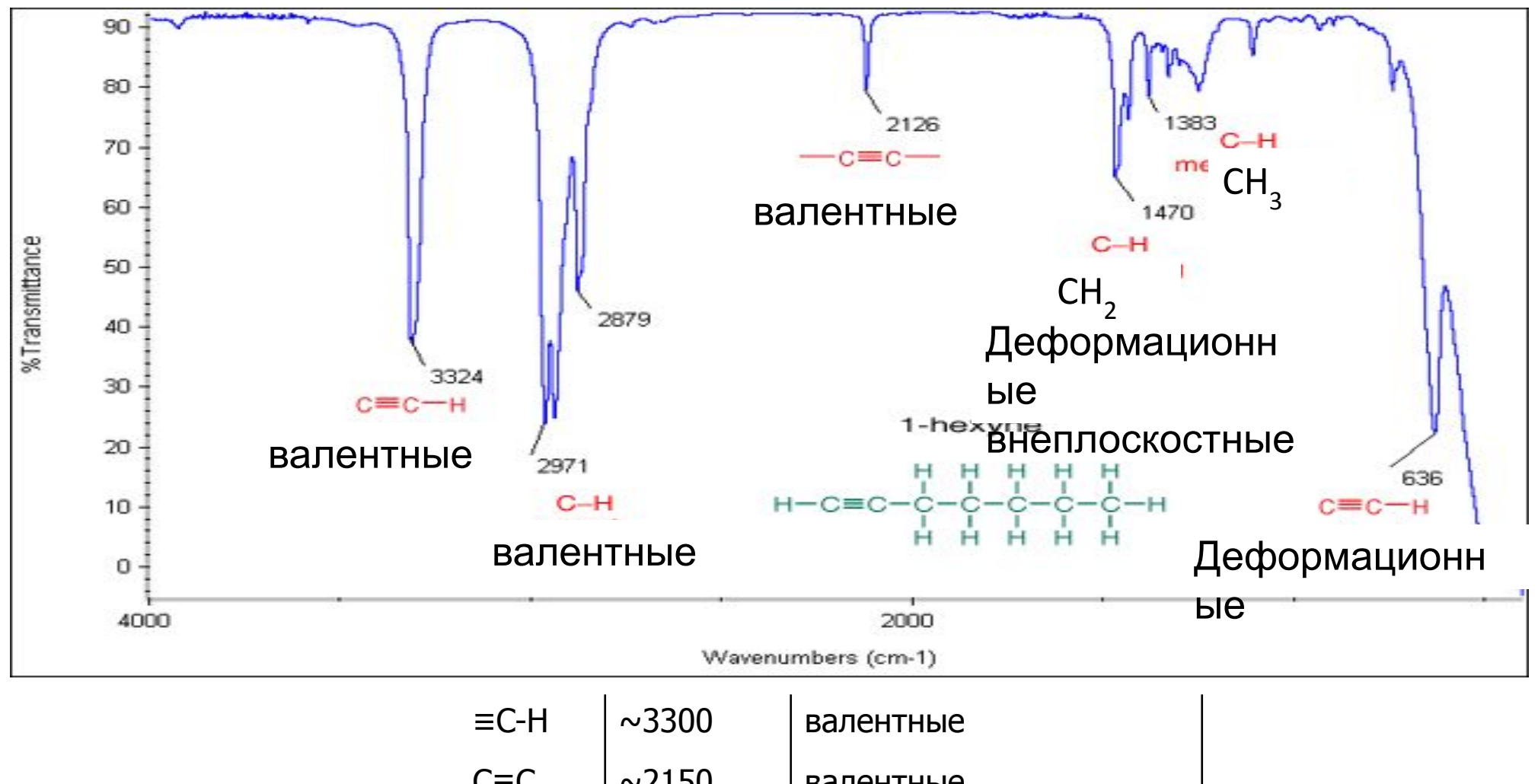
Точно не вносит главный вклад

Чем больше вклад –I эффекта, тем выше k, и тем больше волновое число

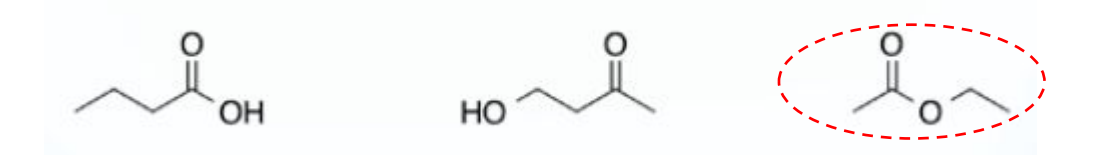
### Нитрилы

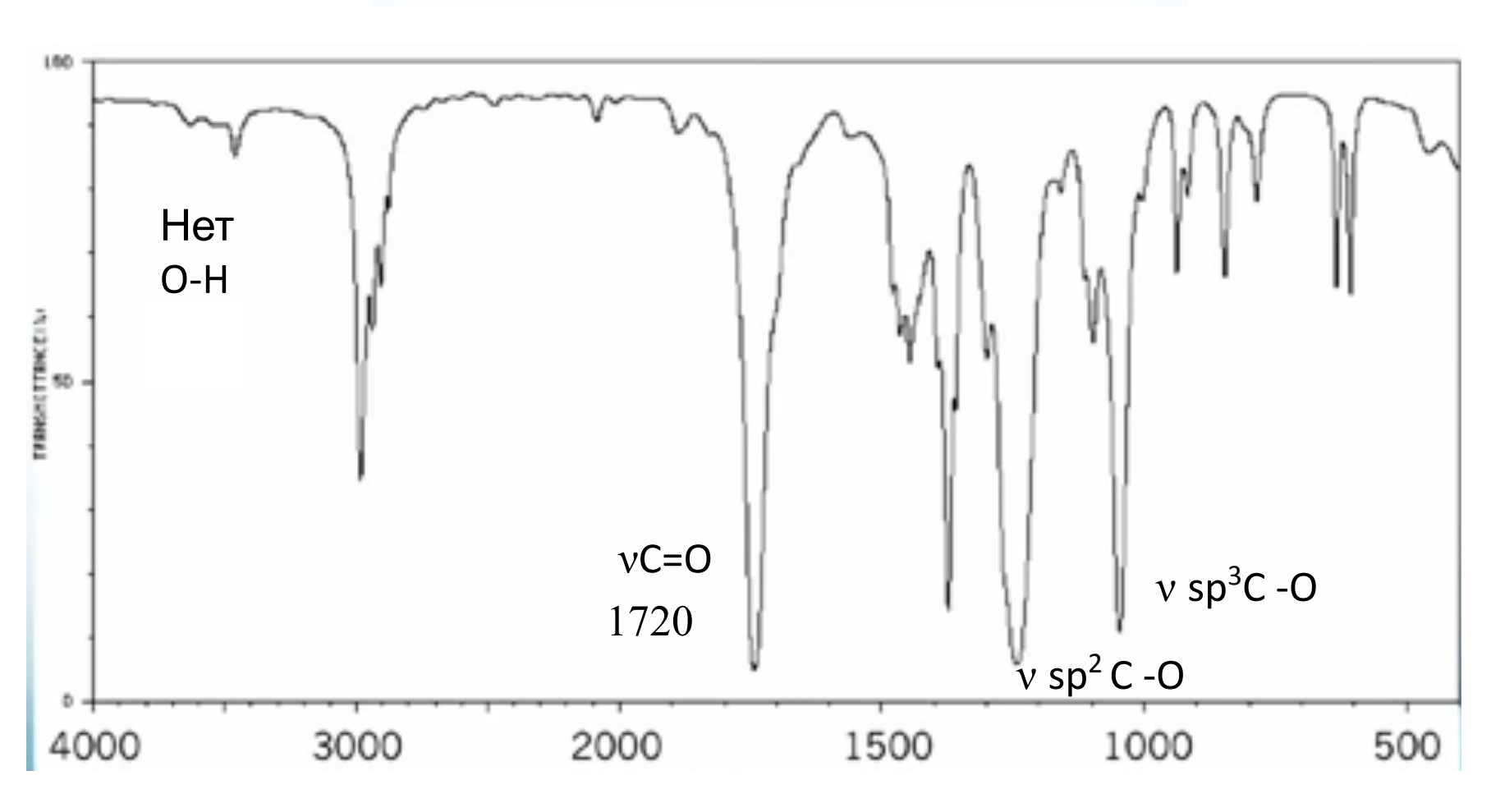


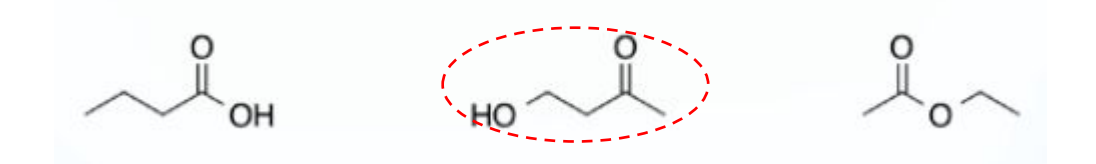
### Алкины

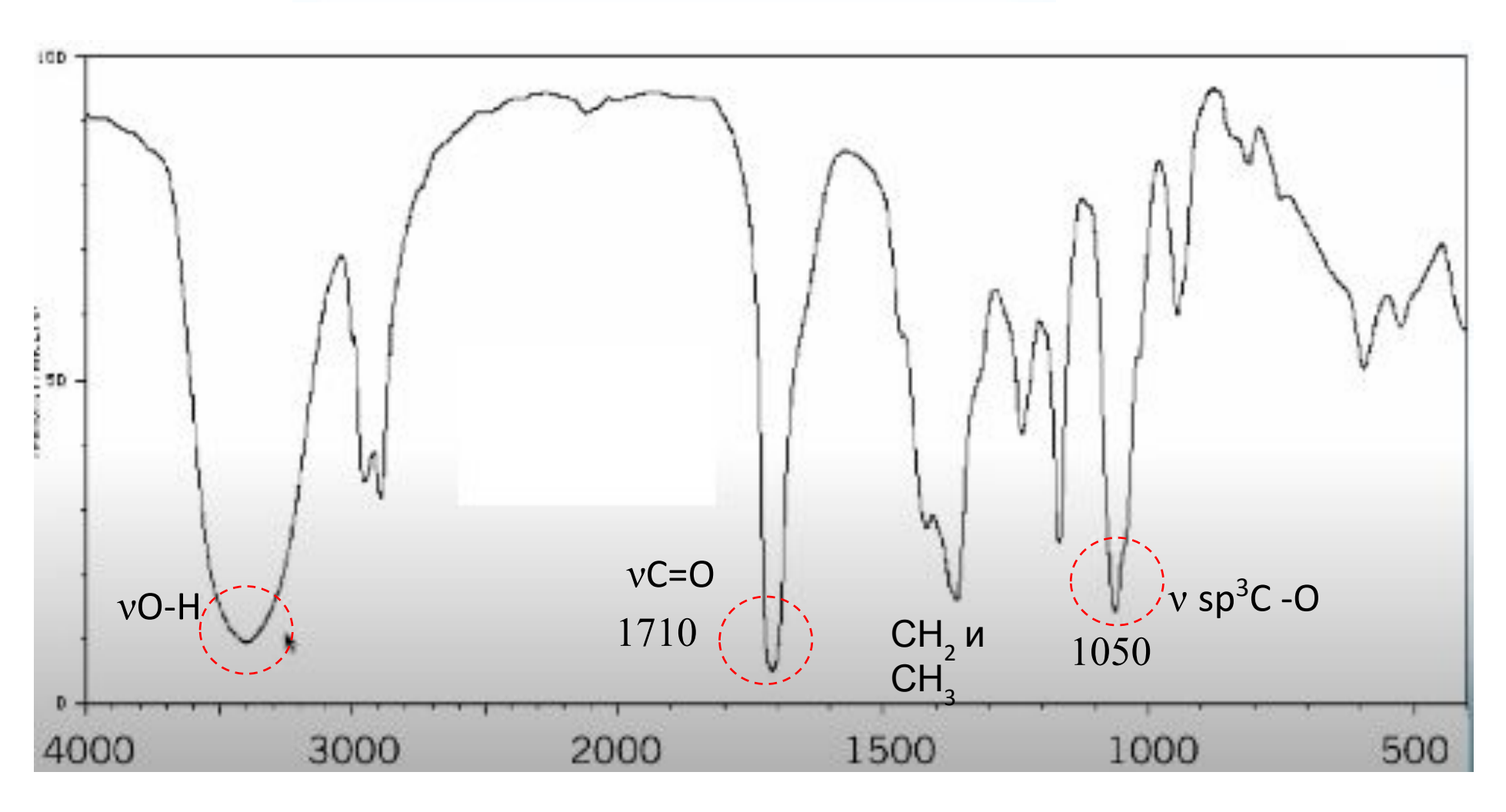


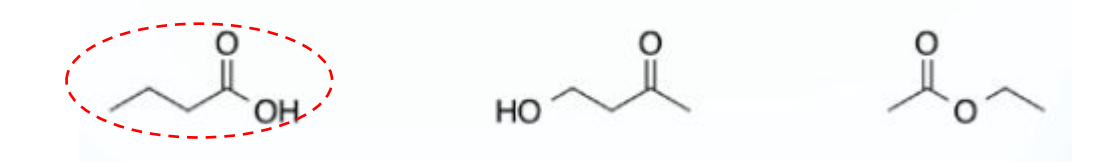
≡С-Н	~3300	валентные
C≡C	~2150	валентные
≡C-H	900-700	леформационные
=C-11	900-700	деформационные

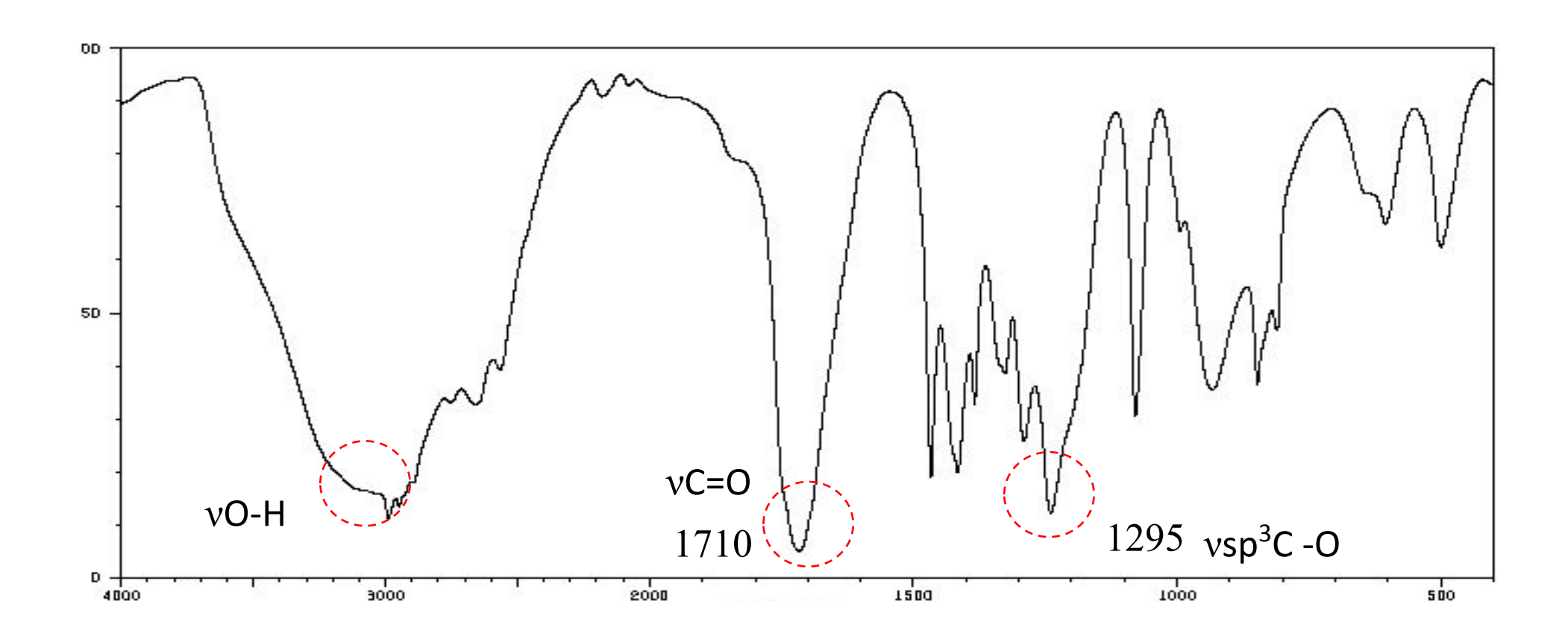


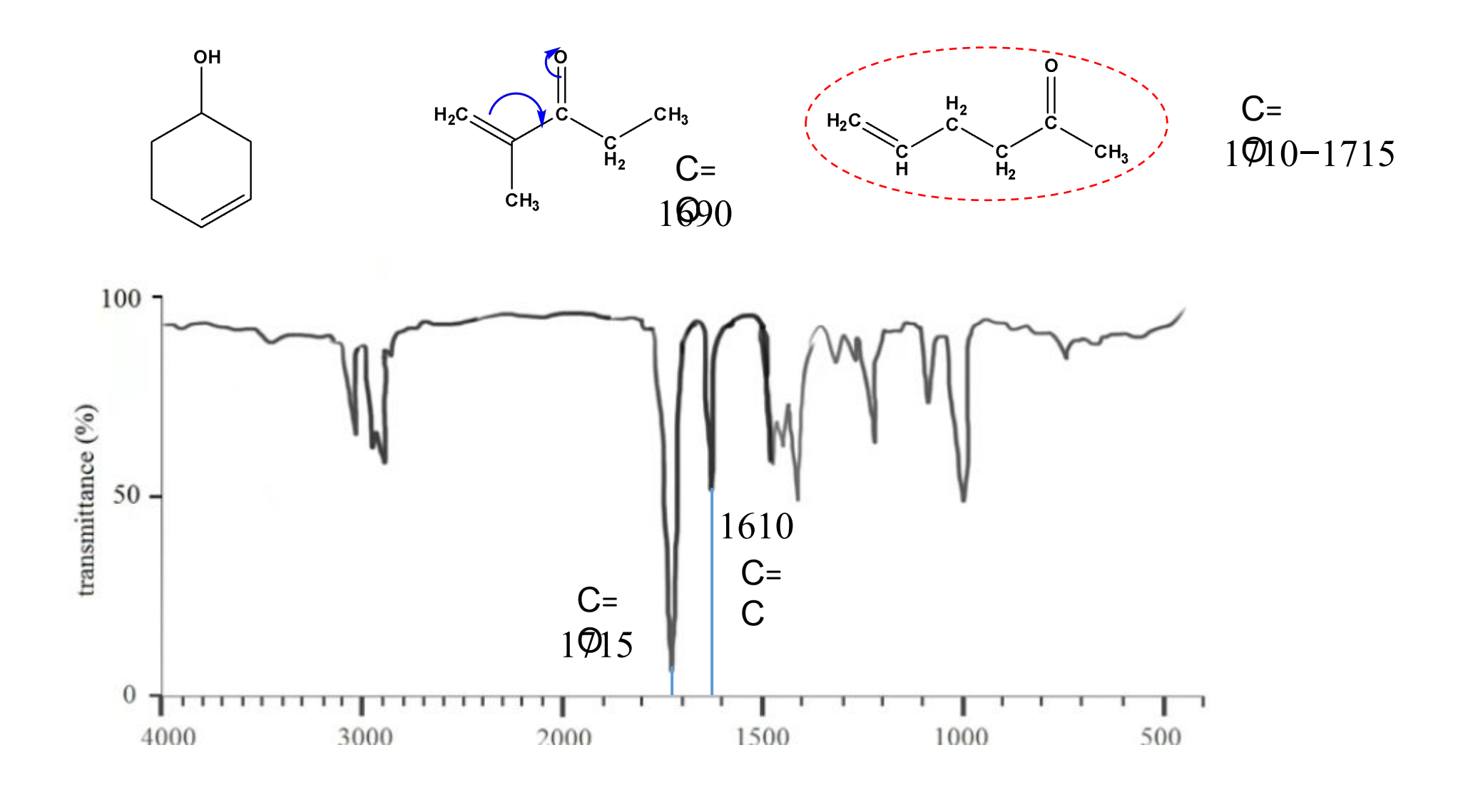












## ИК-спектроскопия часть 2 Анализ углеводородных систем

### Подготовка образца - спектры пропускания

Таблетка из материала, прозрачного в ИК области для твердых образцов





NaCl, CaF<sub>2</sub>, KBr, TlBr-TlI



Кювета для жидких образцов





Можно снимать спектры полужидких веществ



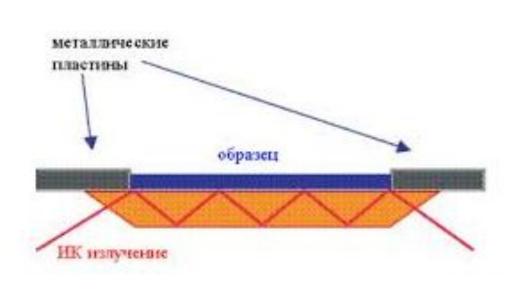
Газовая кювета



### Приставки однократного и многократного отражения

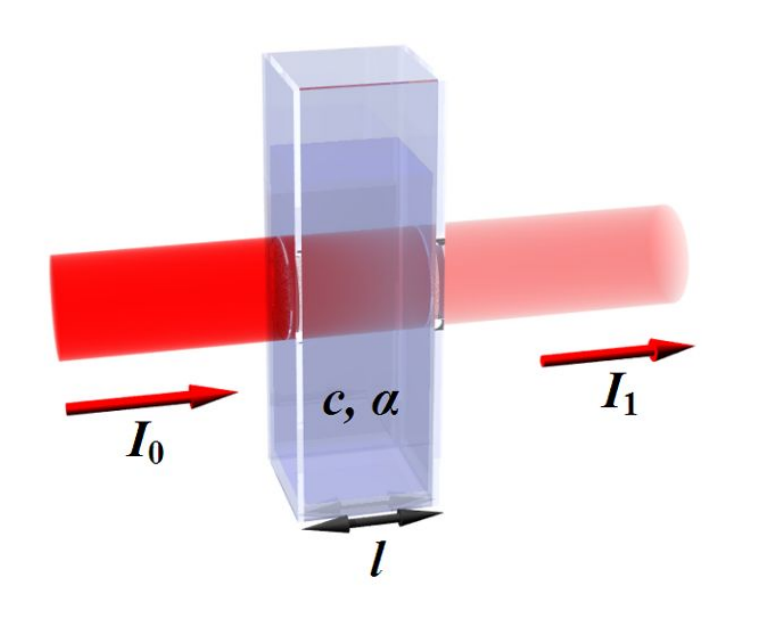






Кристалл ZnSe, алмаз

### Закон Бугера-Ламберта-Бера

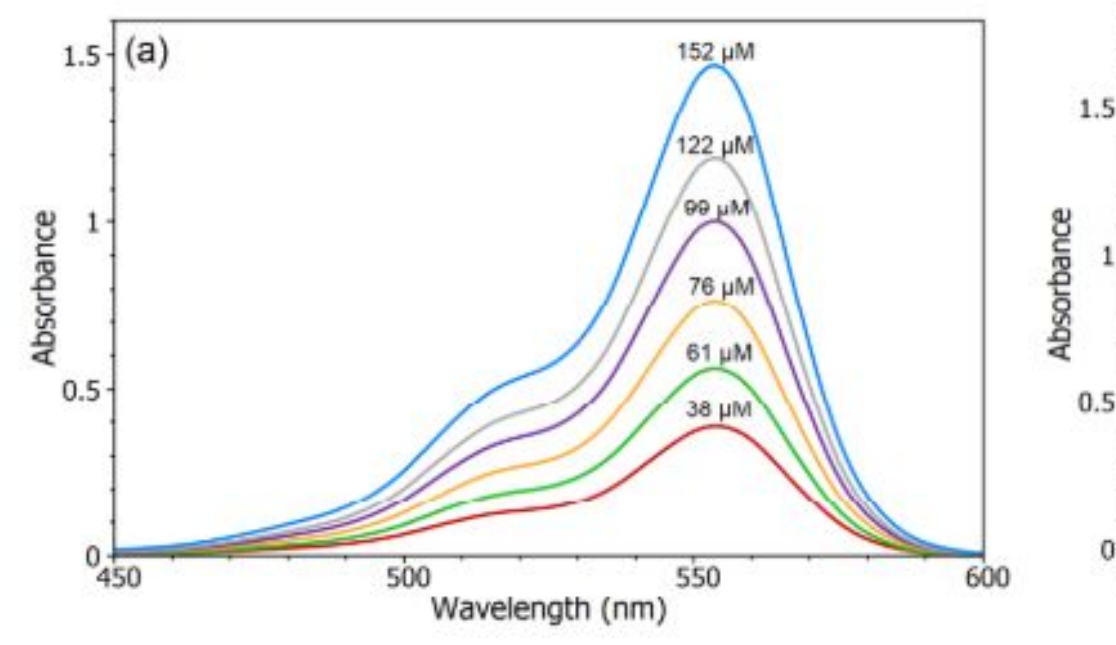


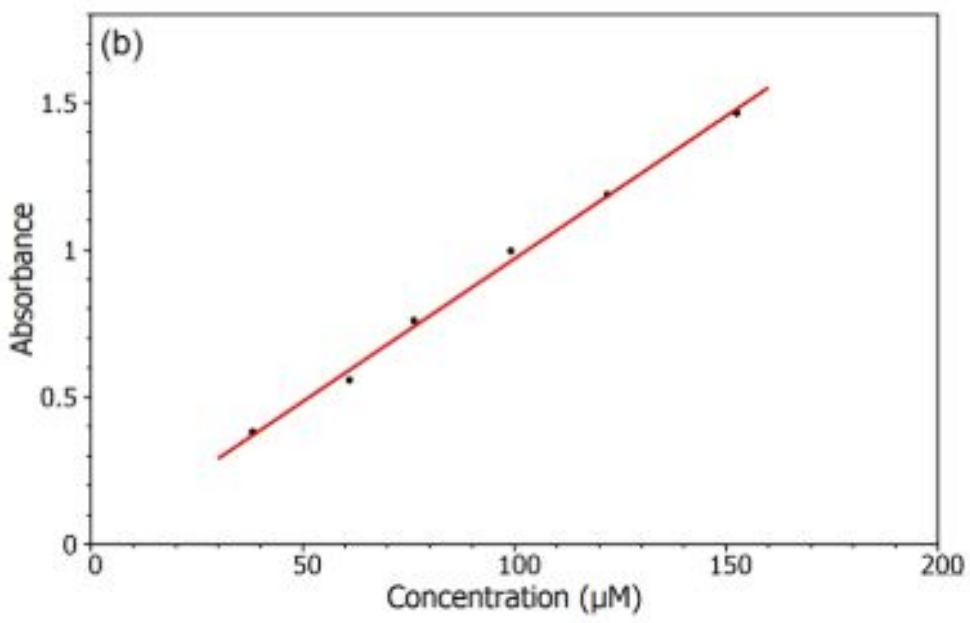
$$D = \lg \frac{I_0}{I} = \varepsilon c l$$

с- концентрация вещества

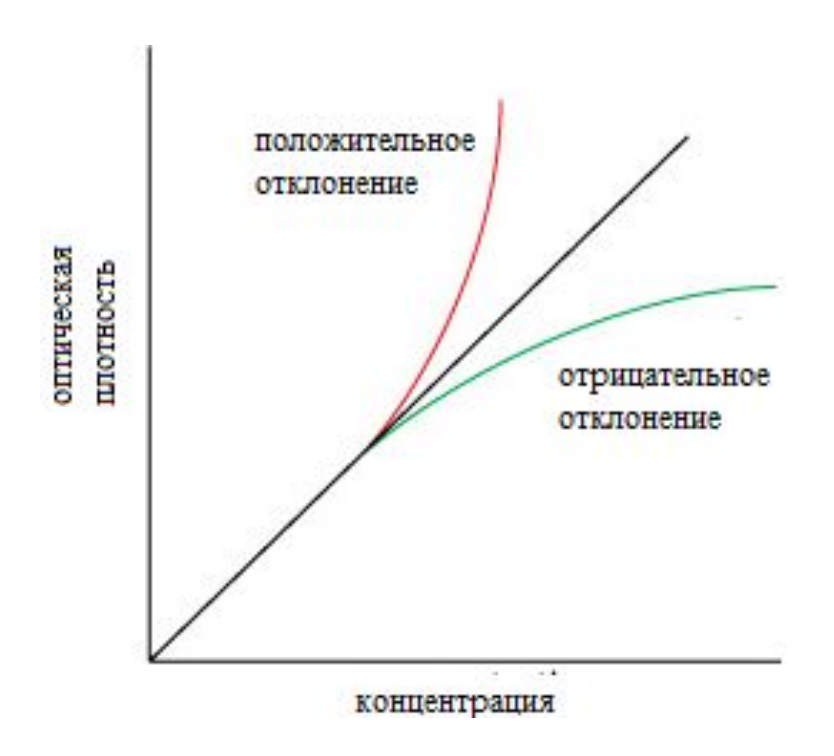
1 – толщина поглощающего слоя

ε – коэффициент молекулярного поглощения (коэффициент экстинкции)





### Закон Бугера-Ламберта-Бера - ограничения



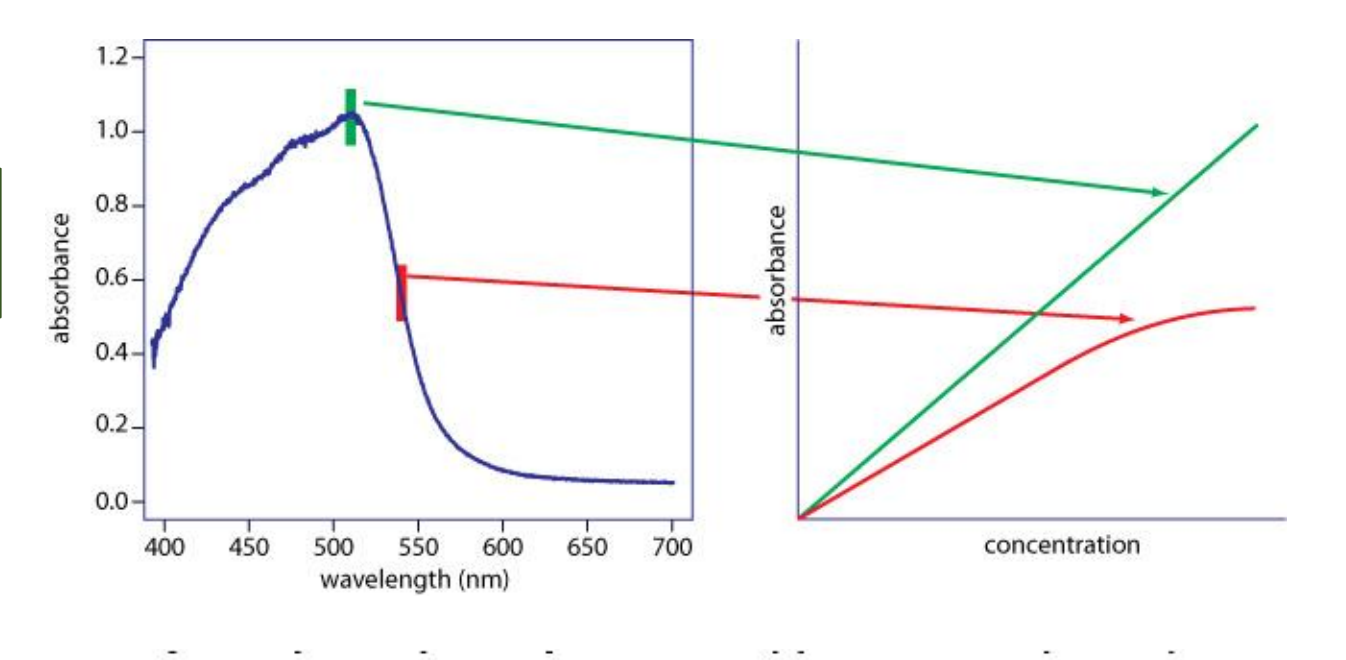
1. Концентрация. Для большинства молекул наблюдается нелинейное поведение при 10 мM. выше За такие концентрациях взаимодействие отклонения ответственны растворенного вещества растворителя И высоких концентрациях и водородные связи.

**2. рН**. Некоторые поглощающие молекулы меняют цвет при изменении рН среды растворителя

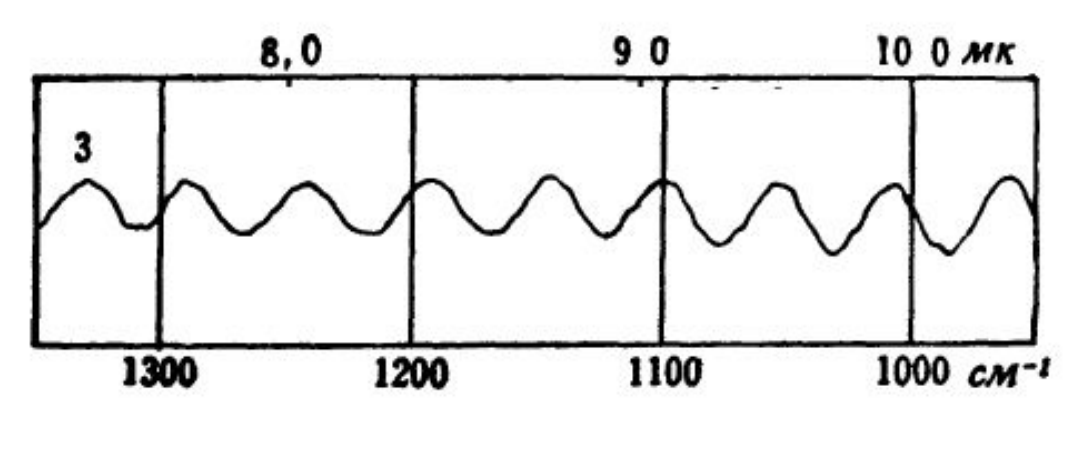
3. Комплексообразование, диссоциация, ассоциация

### Закон Бугера-Ламберта-Бера - ограничения

4.Недостаточная эффективность монохроматора

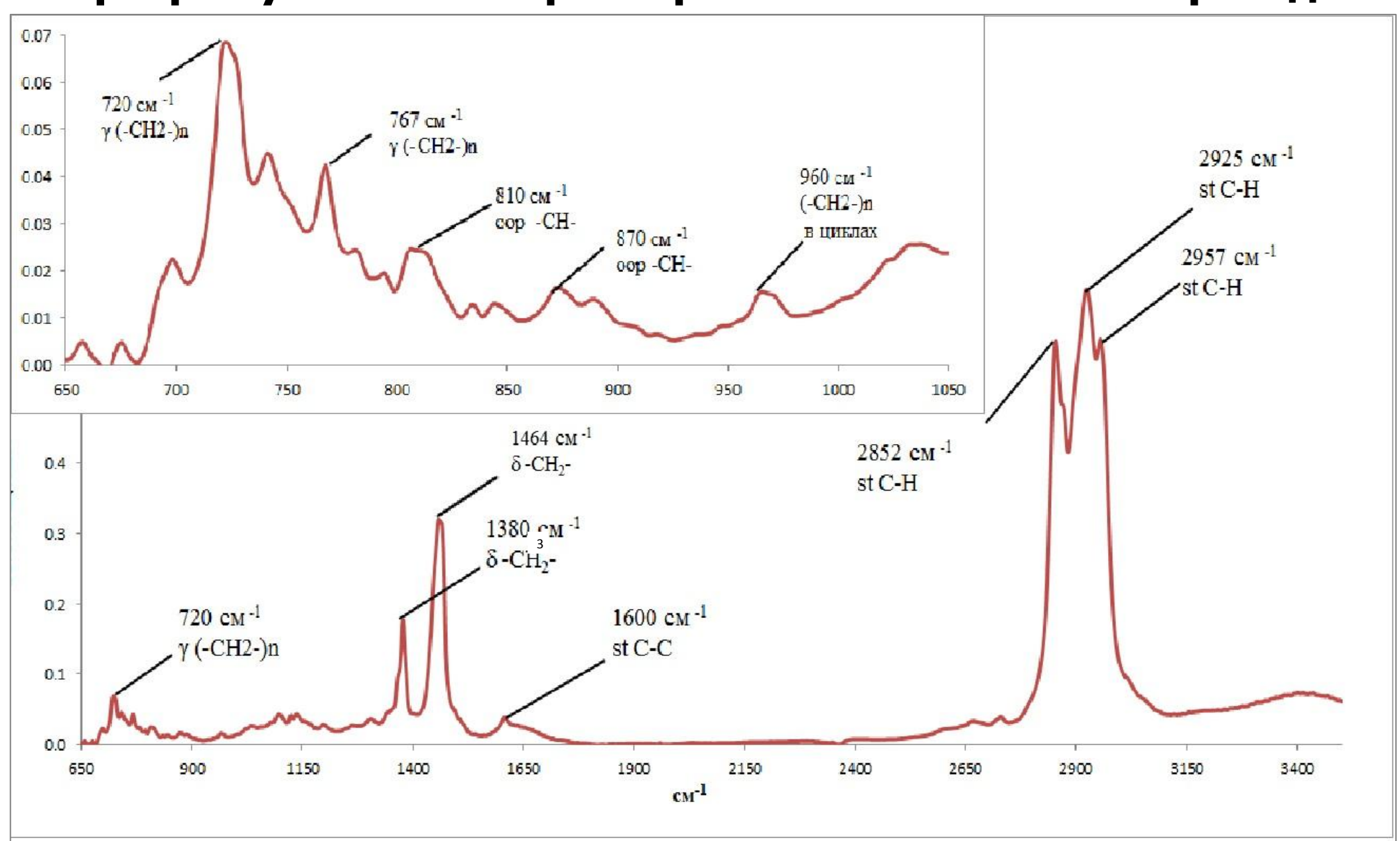


5. Неточное определение толщины поглощающего слоя



$$d = (n/2) \cdot 1/(v_1 - v_2)$$

### Спектр пропускания нефти Архангельского месторождения



### Структурно-групповой состав нефтей Волгоградской области

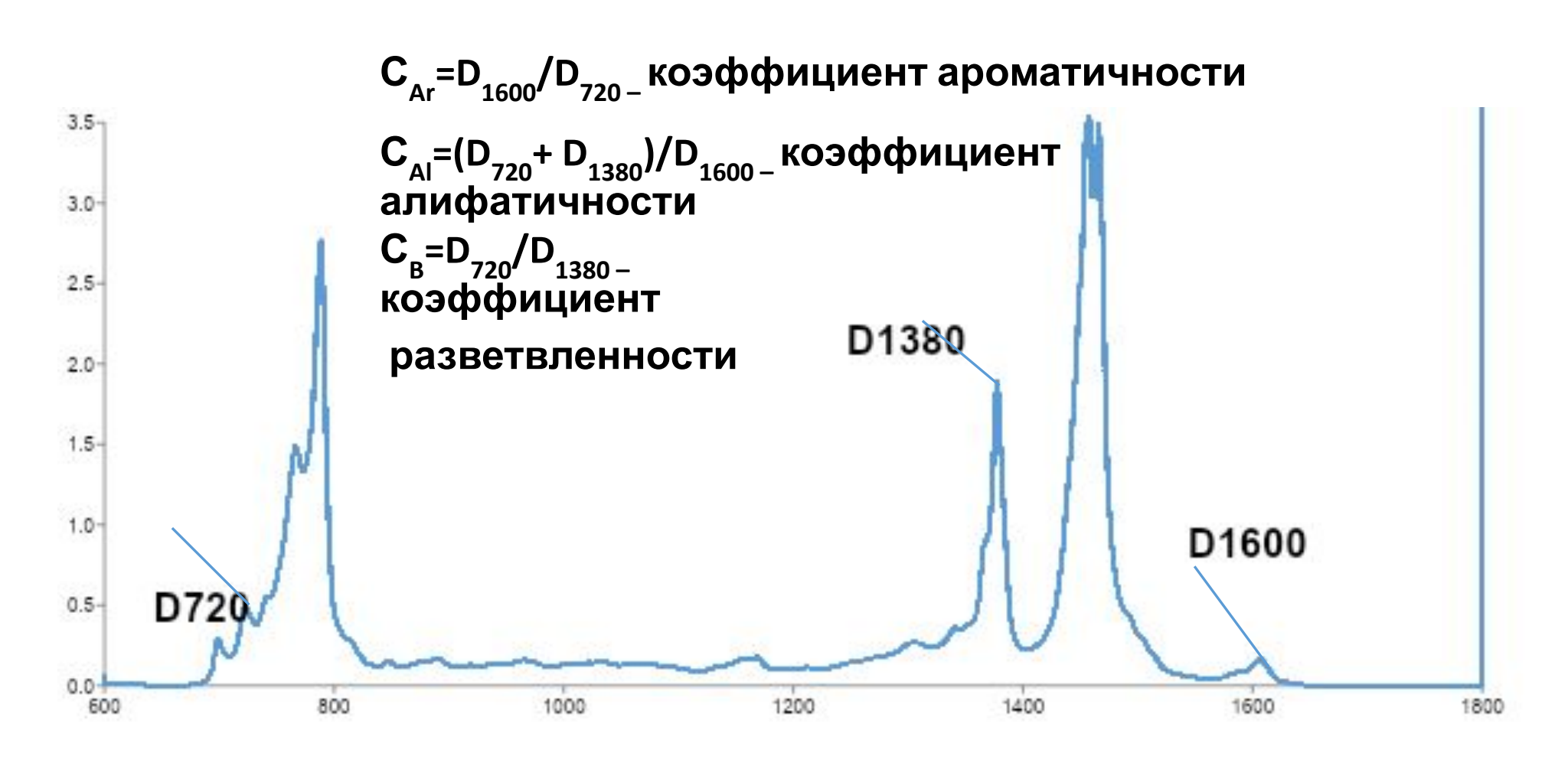
Нефти месторождений	содержание структурных групп %			
	алкановые	нафтеновые	ареновые	
Кудиновская	39.41	34.95	25.64	
Дудаченская	38.54	39.13	22.33	
Северо-Ключевская	37.48	34.61	27.91	
Чухонастовская	36.59	39.43	23.97	
Новочернушинская	28.78	34.38	36.85	

%
$$A\pi = (D_{720}/\Sigma D)\cdot 100$$
 (алкановые структуры);   
% $H = D_{1030} + D_{960}/\Sigma D$  (нафтеновые структуры);   
% $A = (D_{1600}/\Sigma D)\cdot 100$  (ареновые структуры) \*

<sup>\*</sup>Кошелев В.Н., Гордадзе Г.Н., Рябов В.Д., Чернова О.Б. *Химия и технология топлив и масел.* **2005**. №2. С.20-21

<sup>\*\*</sup> Применимо для нефтей парафинового основания.

### ИК-спектр дизельного топлива



## Спектральные коэффициенты нефтей Волгоградской области

Нефти месторождений	C <sub>ap</sub>	С <sub>ал</sub>	C <sub>p</sub>	C <sub>870/1600</sub>	C <sub>1464/1600</sub>
Кудиновское	0.65	6.04	2.93	0.87	9.14
Дудаченское	0.58	5.54	2.21	0.92	14.61
Северо-ключевское	0.74	7.28	4.42	0.73	10.72
Чухонастовское	0.66	9.17	5.01	0.81	13.87
Новочернушинское	1.28	5.59	6.16	0.45	8.93

$$Cap = \frac{D_{1600}}{D_{720}}$$
 — коэффициент ароматичности

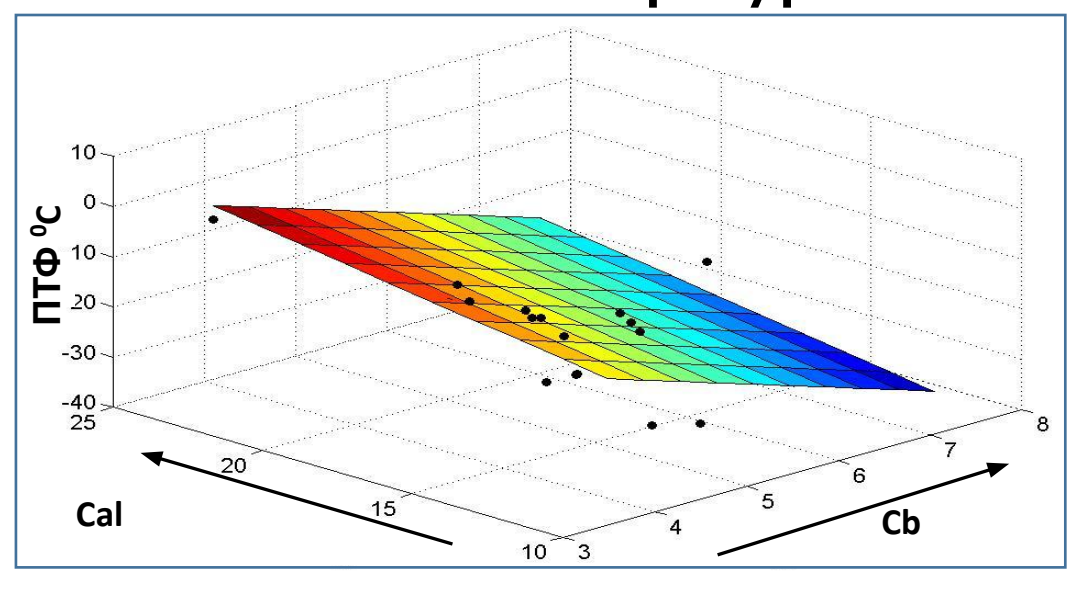
$$Ca\pi = rac{D_{720} + D_{1380}}{D_{1600}}$$
 — коэффициент алифатичности

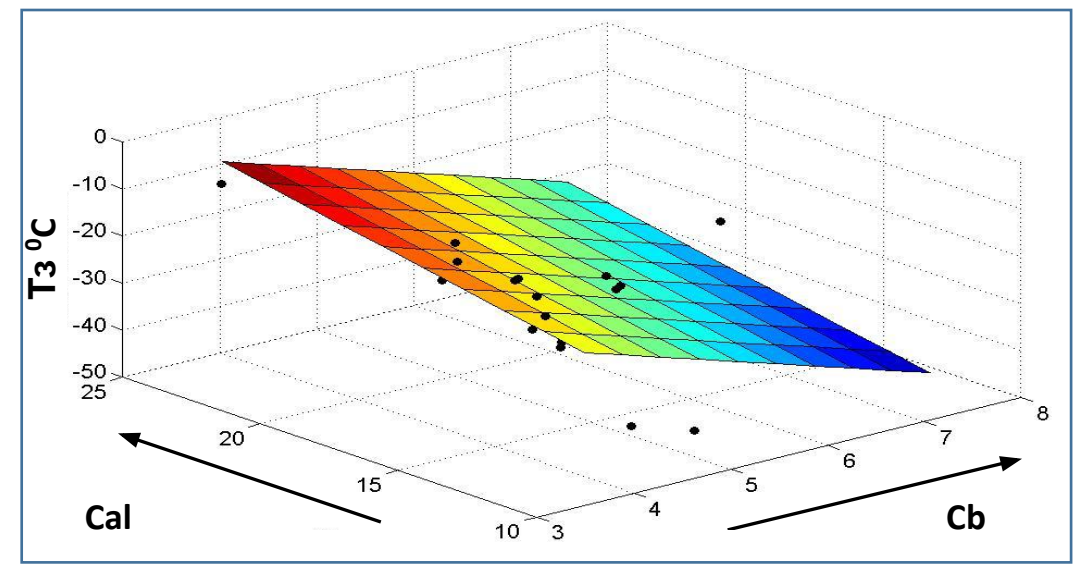
$$Cp = \frac{D_{1380}}{D_{720}}$$
 — коэффициент разветвленности

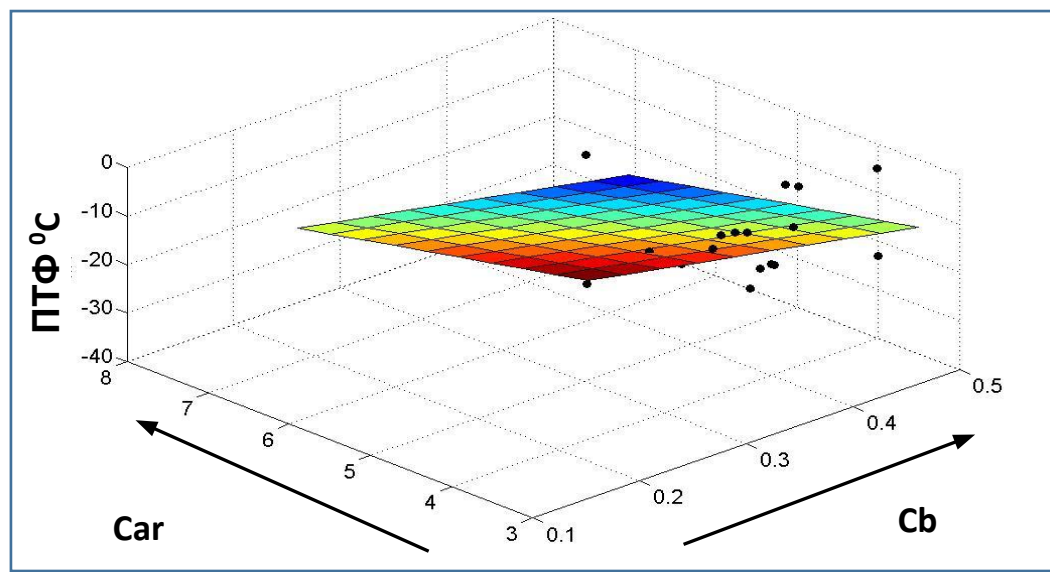
$$C_{o}$$
= $D_{1710}/D_{1465}$  - коэффициент окисленности

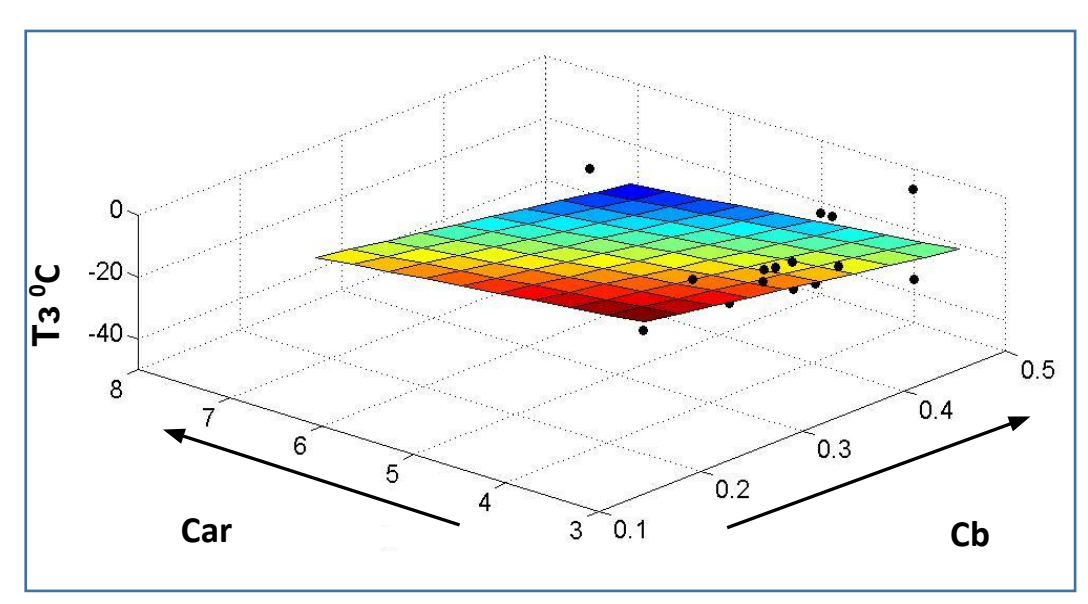
$$C_{_{
m S}}$$
= $D_{1030}/D_{146\bar{5}}$  коэффициент осерненности

# Корреляция между спектральными коэффициентами и низкотемпературными свойствами дизельных топлив

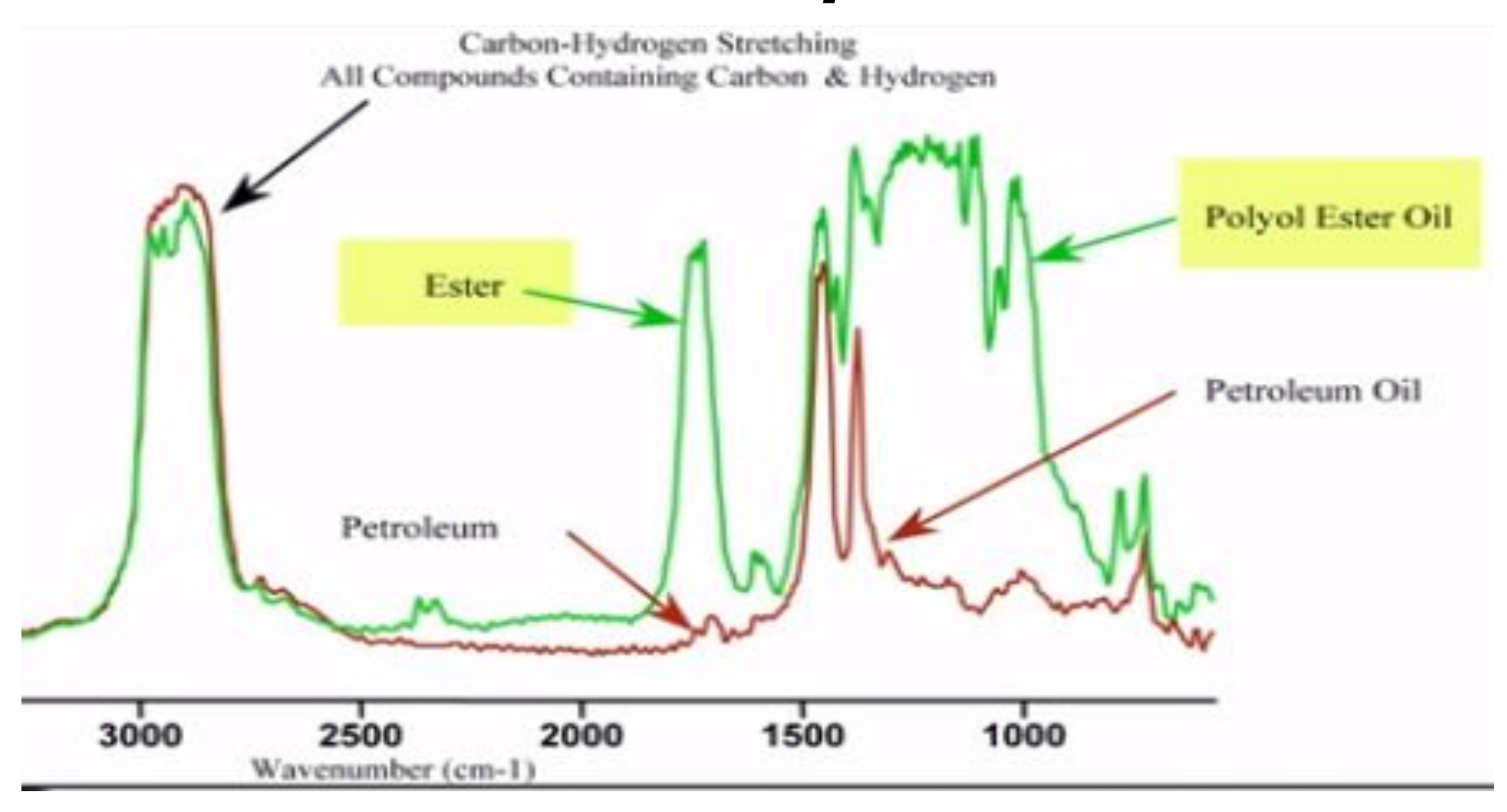




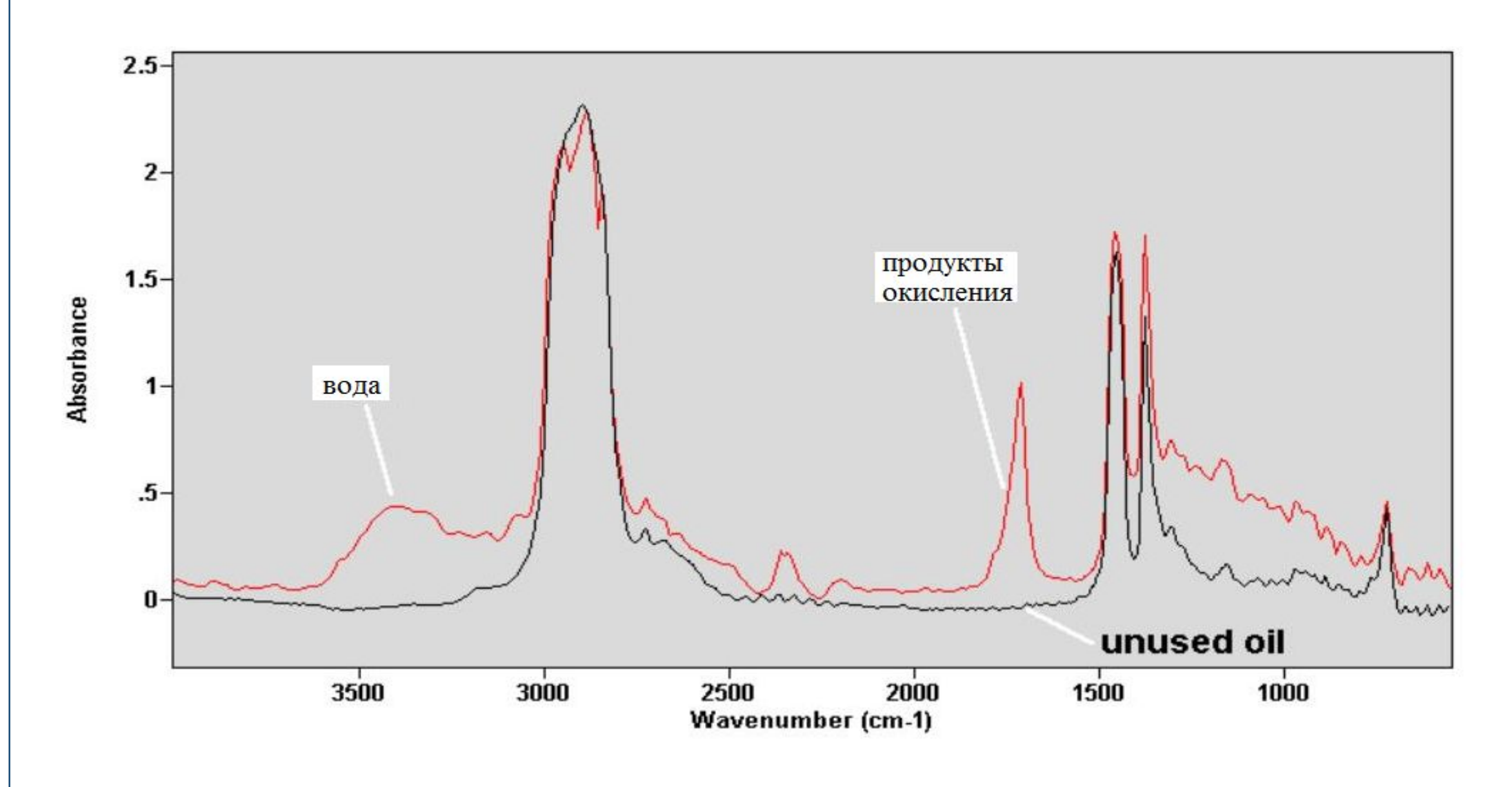




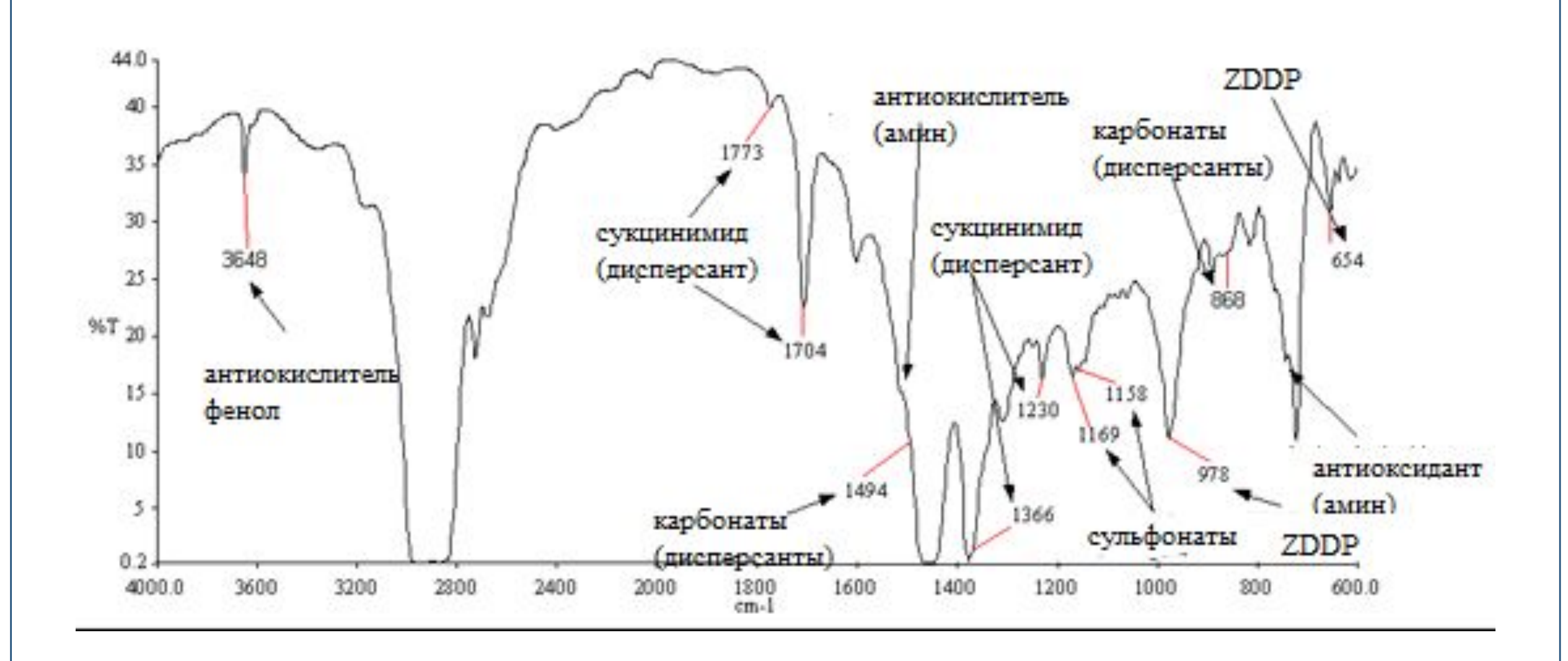
### Анализ смазочных масел методом ИК-спектроскопии



### Определение степени окисленности минерального масла



### Полосы поглощения основных типов присадок в маслах



## Характеристические полосы поглощения для наиболее распространенных присадок, применяемых в моторных маслах\*

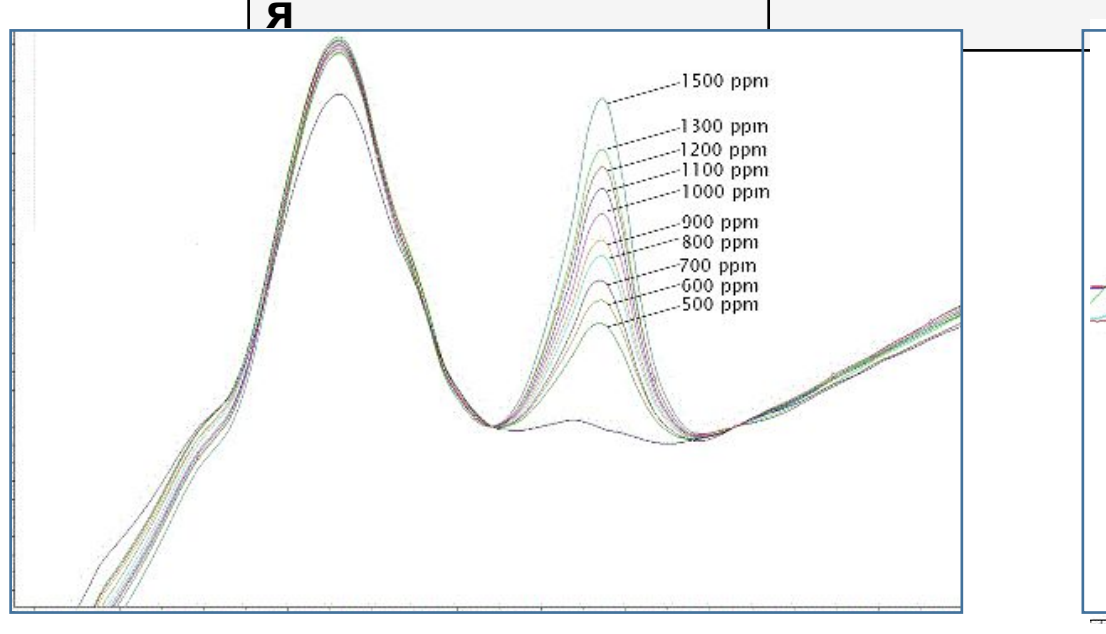
Присадка	Полоса поглощения, см <sup>-1</sup>
антиокислительная присадка ДФ-1	1006
антиокислительная присадка Ионол	3631
депрессорная присадка ПМА «Д»	1731
моюще-диспергирующая присадка Детерсол-140	1504
моюще-диспергирующая присадка ВНИИ НП-714	1305
моюще-диспергирующая присадка КНД	1064

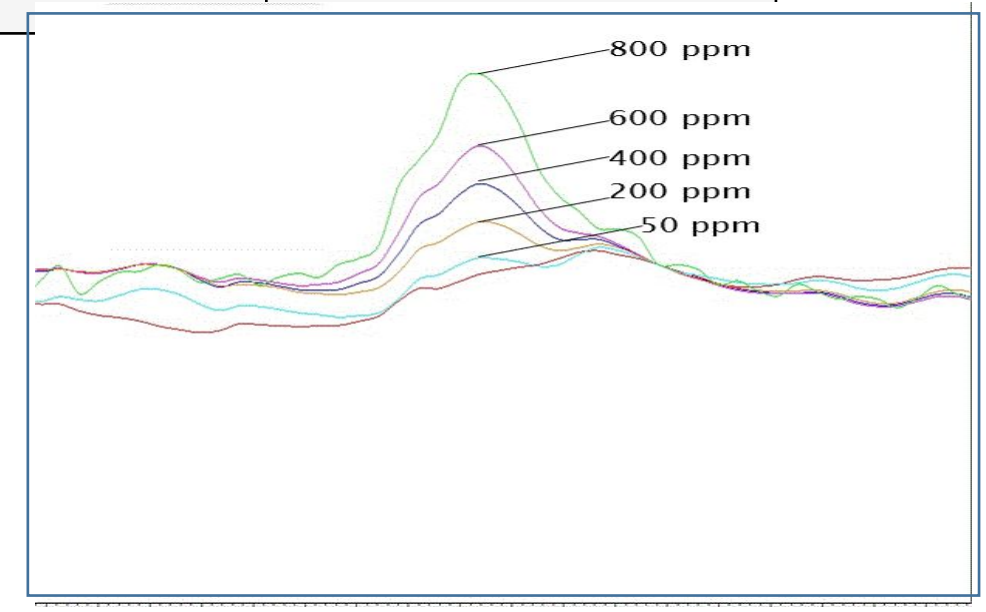


<sup>\*</sup>Марталов А. С. // Нефтепереработка и нефтехимия. 2006. №12. С. 39-40

### Определение содержания присадок в дизельном топливе

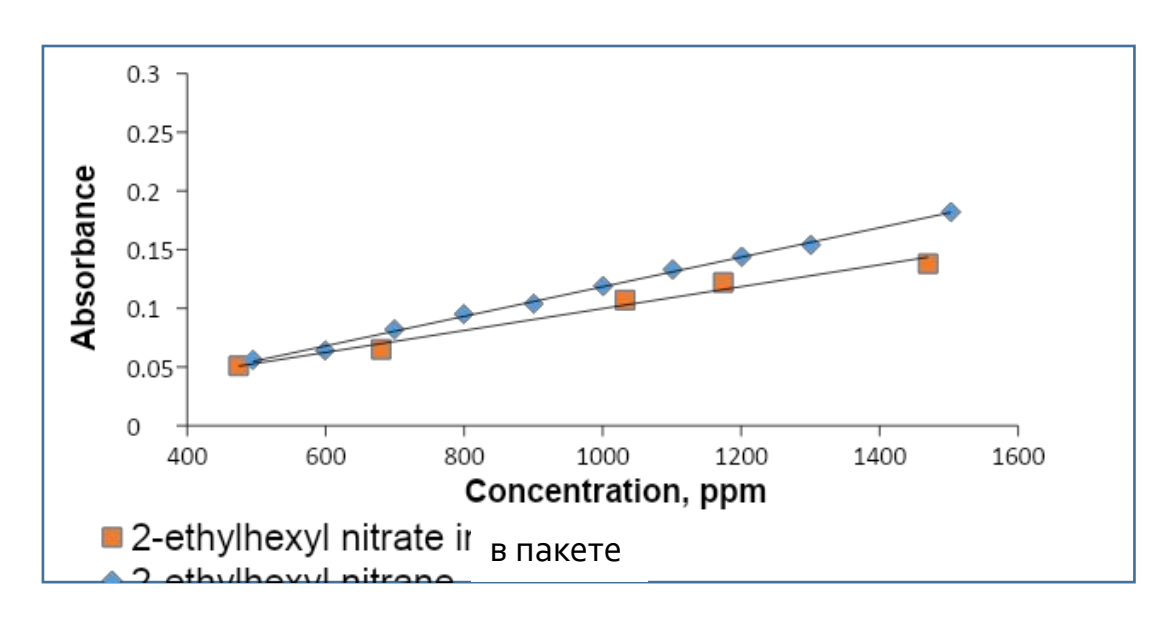
Присадка	Пакет	Частота, характеристическо й полосы cm <sup>-1</sup>
депрессорная	Keroflux 6180	1741-1741.5
противоизносная	Dodilube 4940	1710
цетаноповышающа я	2-этилгексилнитрат	1563

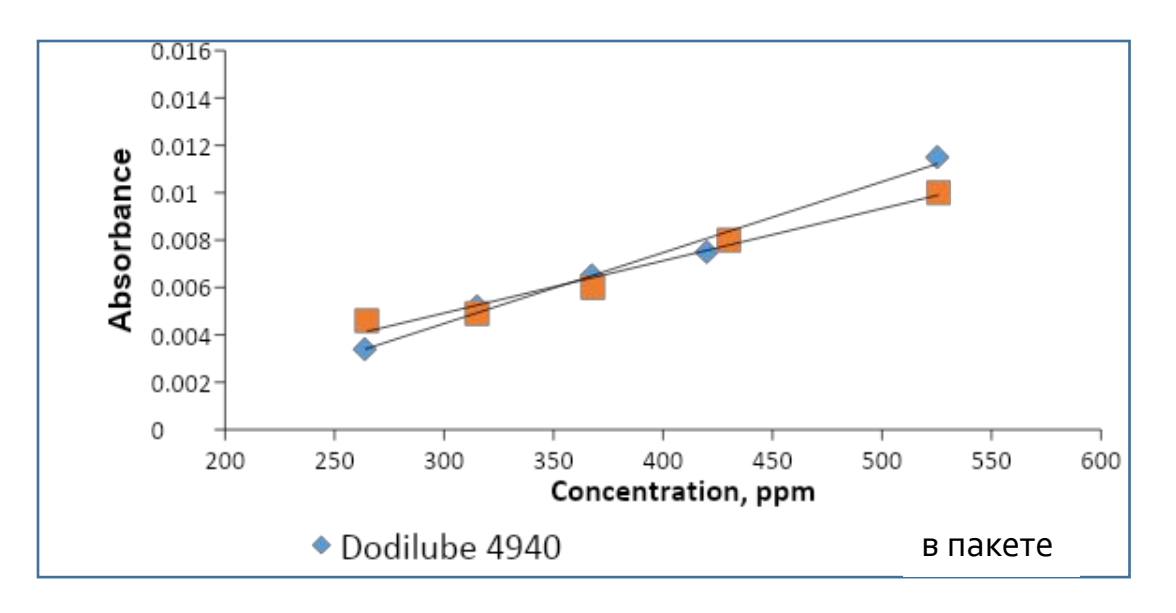


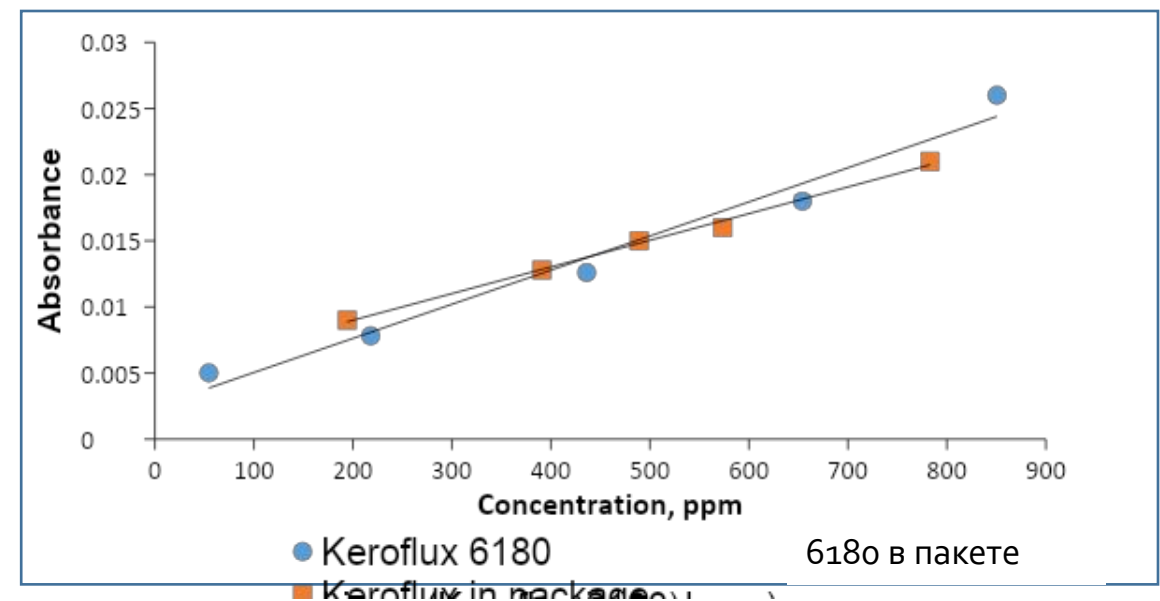


2этилгексилнитрат Keroflux 6180

### Определение содержания присадок в дизельном топливе







Бензол в бензине: **ГОСТ Р 51930-2002** «Бензины автомобильные и авиационные. Определение бензола методом инфракрасной спектроскопии»

\*Рассчитывают объемную долю бензола в бензине в процентах, используя калибровочную кривую,

построенную на основании определения 3-х значений поглощения в

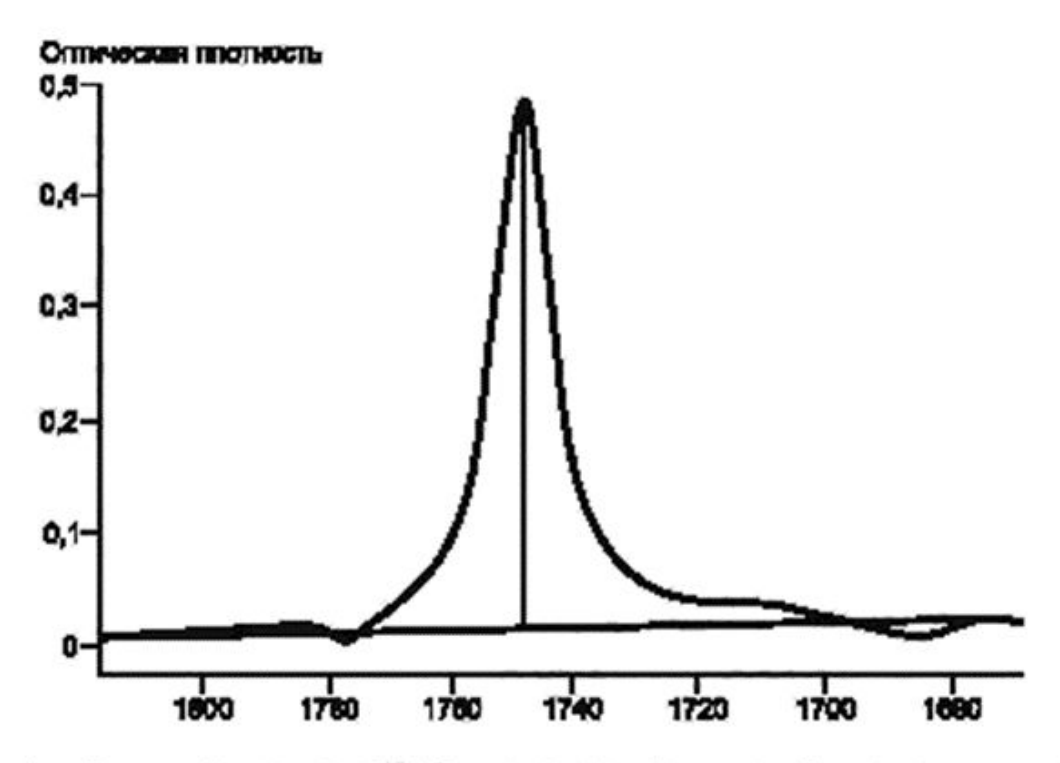
- 1 в точке максимального поглощения 673 см<sup>-1</sup>, соответствующей полосе бензола;
- 2 в точке максимального поглощения 460 см-1 , соответствующей полосе толуола и
- 3 при 500 см<sup>-1</sup> соответствующей положению базовой линии.

**ASTM D6277 - 07(2012)** «Методы испытаний для определения содержания бензола в топливе для двигателей внутреннего сгорания, использующие инфракрасную спектроскопию в средней области спектра»

**ЕН 238:1996/A1:2003** «Жидкие нефтепродукты. Карбюраторное топливо. Определение содержания бензола методом инфракрасной спектрометрии»

#### Дизельное топливо:

**ГОСТ Р ЕН 14078-2010** «Нефтепродукты жидкие. Определение метиловых эфиров жирных кислот (FAME) в средних дистиллятах методом инфракрасной спектроскопии»

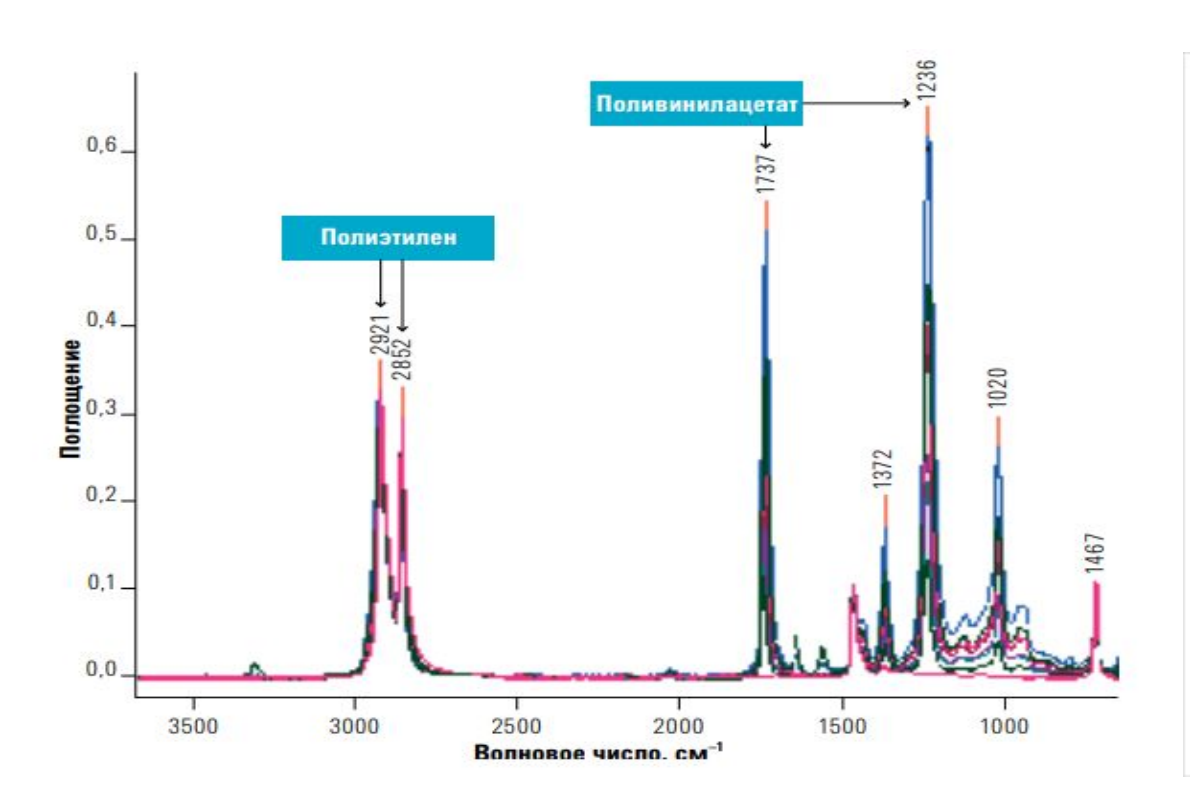


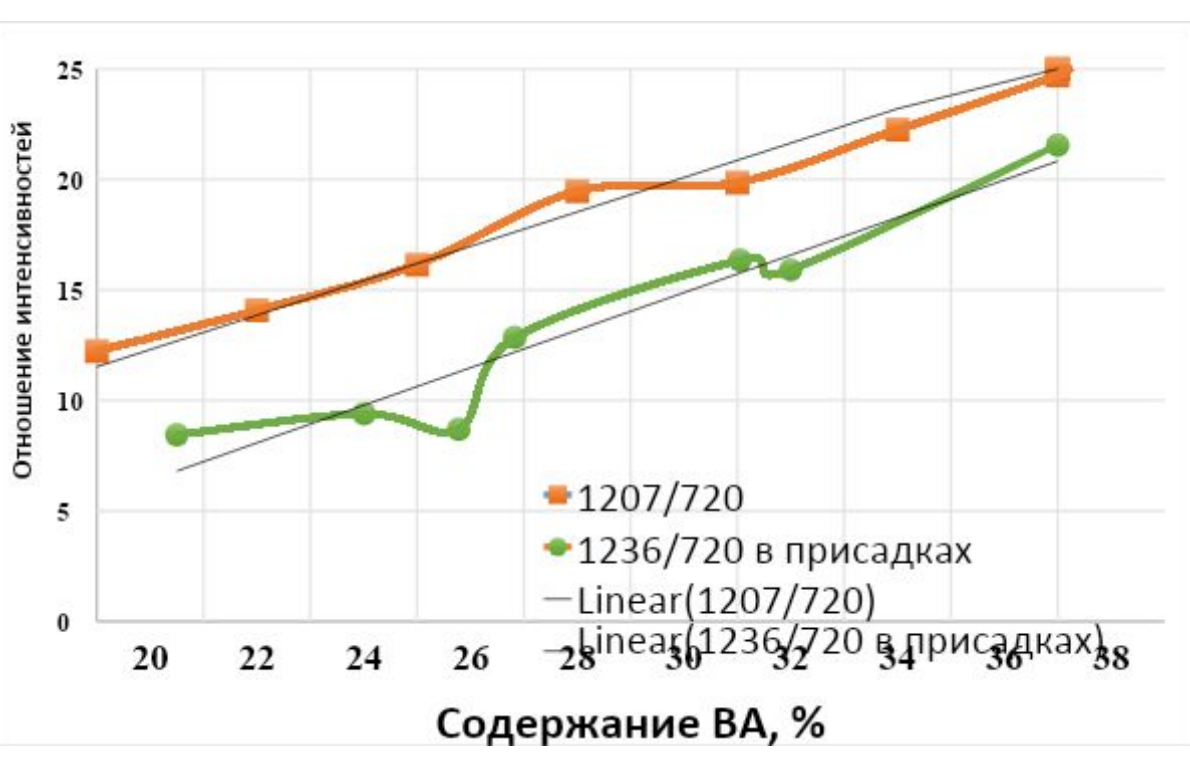
Диапазон измеряемых концентраций от 1,7% об. до 22,7% об.

Измеряют оптическую плотность на максимуме полосы поглощения для сложных эфиров при 1745±5 см<sup>-1</sup>

Рисунок 1 — Типичный спектр для FAME в дизельном топливе, разбавленном циклогексаном (длина оптического пути — 0,5 мм, концентрация — 44 г/дм<sup>3</sup> после разбавления 1:10 по объему)

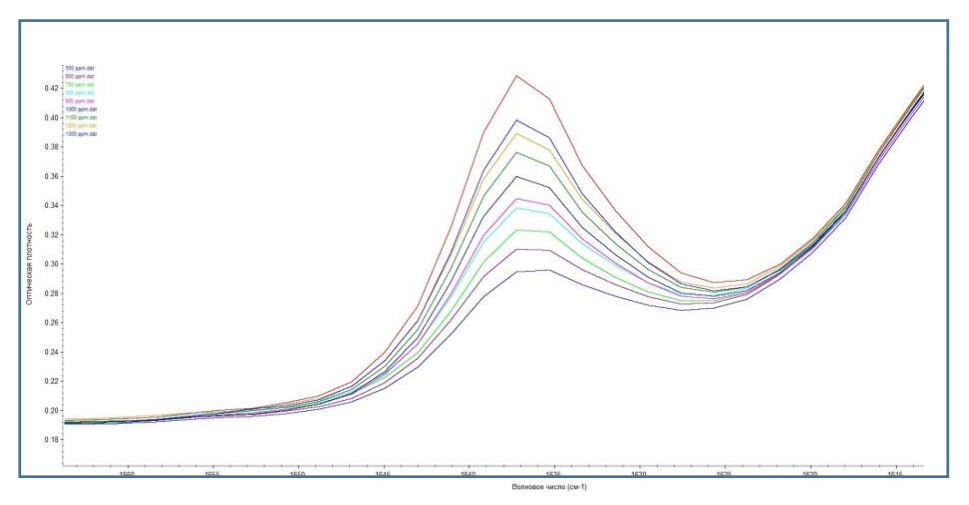
### Определение содержания винилацетантных звеньев в сополимере этилена с винилацетатом

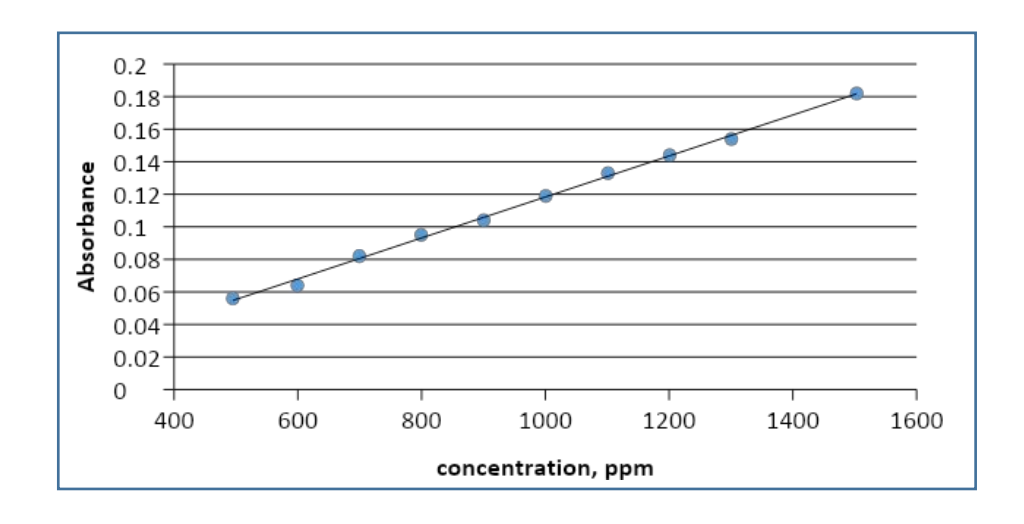




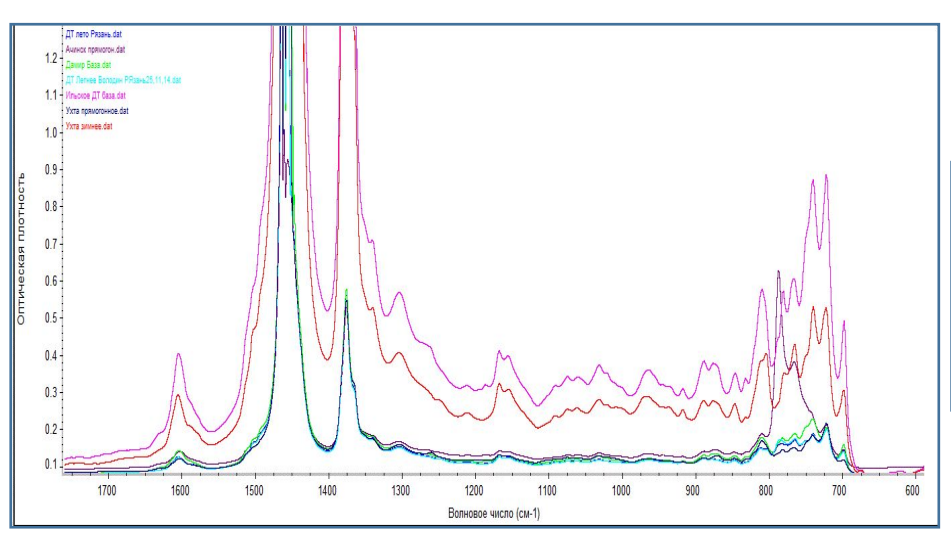
### Калибровка в ИК-спектроскопии

### По одной частоте

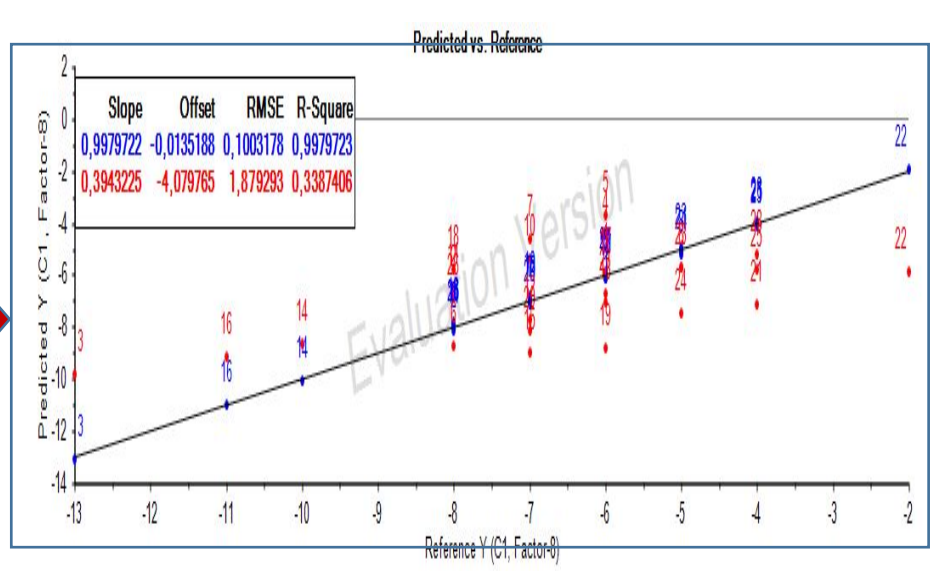




По участку спектра

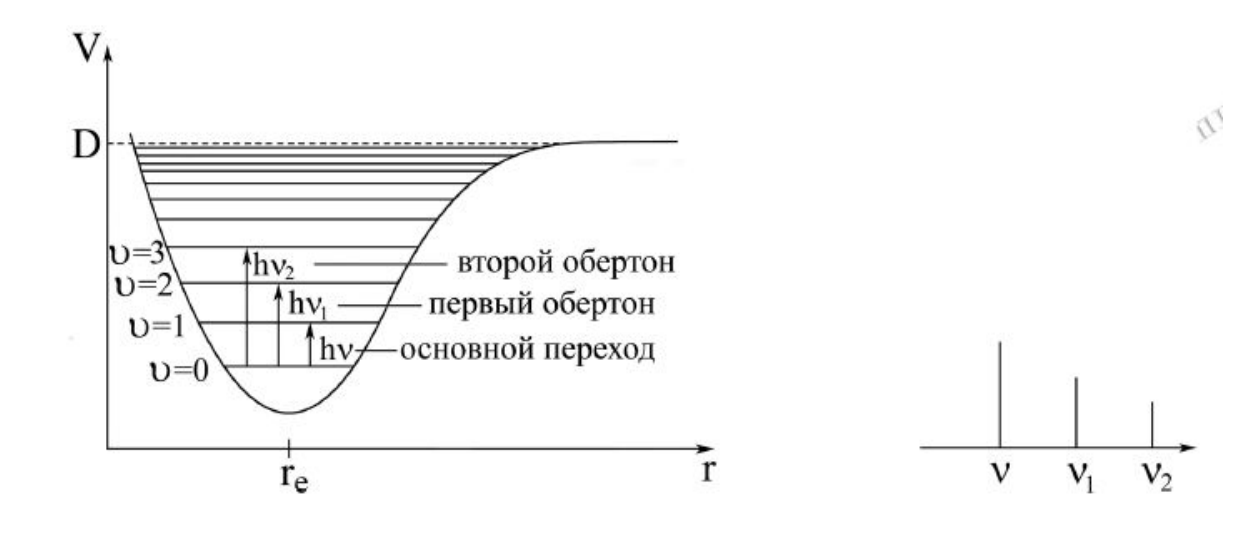


Многомерная калибровка

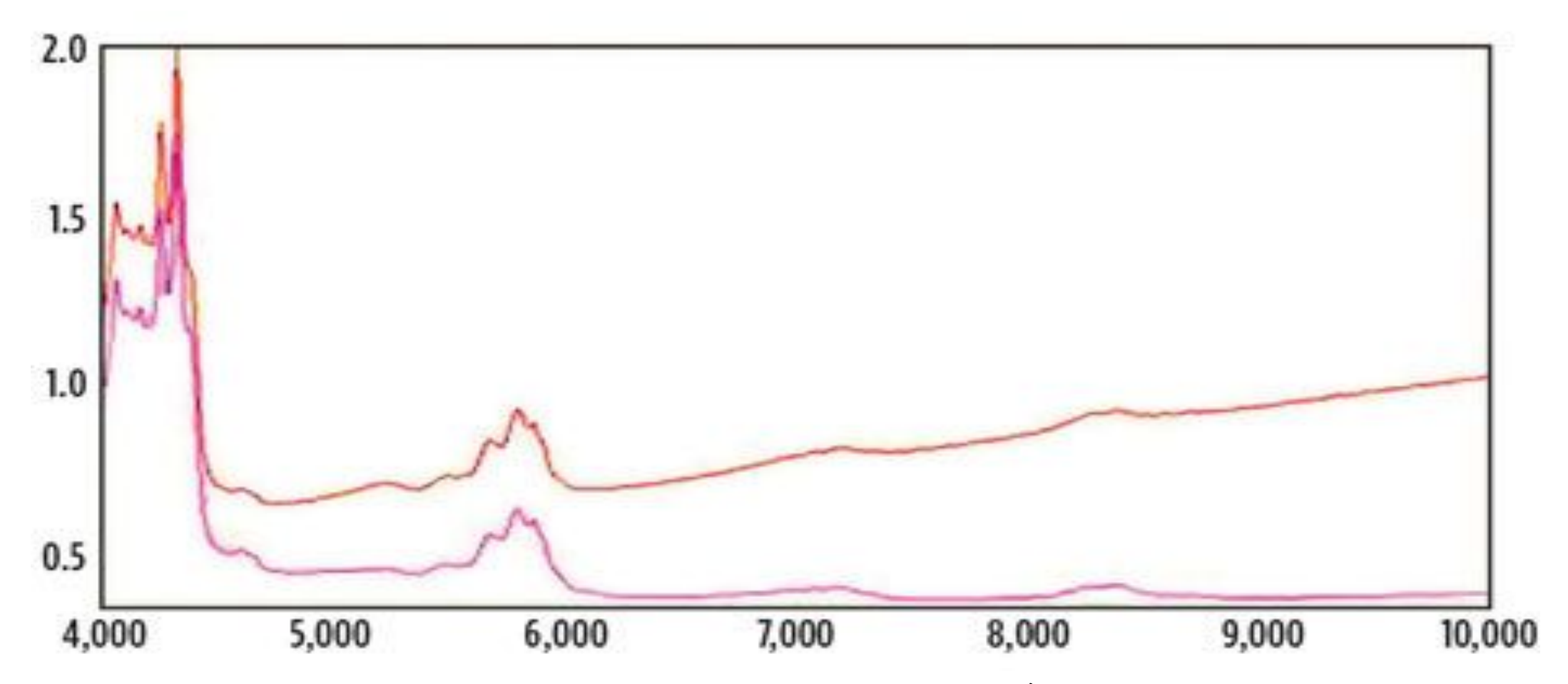


### ИК-диапазон 0,74 мкм - 1 мм

Длинноволновая область (дальняя ИК-, FIR)	Средняя (MIR) область	Коротковолновая область (ближняя ИК-, NIR)
40 мкм —1 мм 400 — 20 см <sup>-1</sup>	2 мкм — 40 мкм 4000 — 400 см <sup>-1</sup>	0.76 - 2 мкм $25000 - 4000$ см <sup>-1</sup>
Связи X-Металл Вращательные переходы	Основные частоты, область «отпечатков пальцев»	Обертона, составные частоты основных колебаний, водородная связь

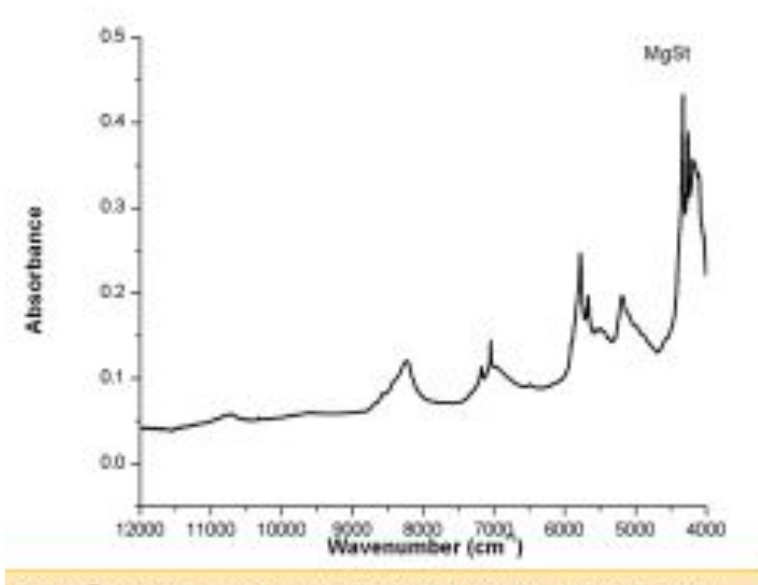


### Различия в спектроскопии ближней и средней ИК-области

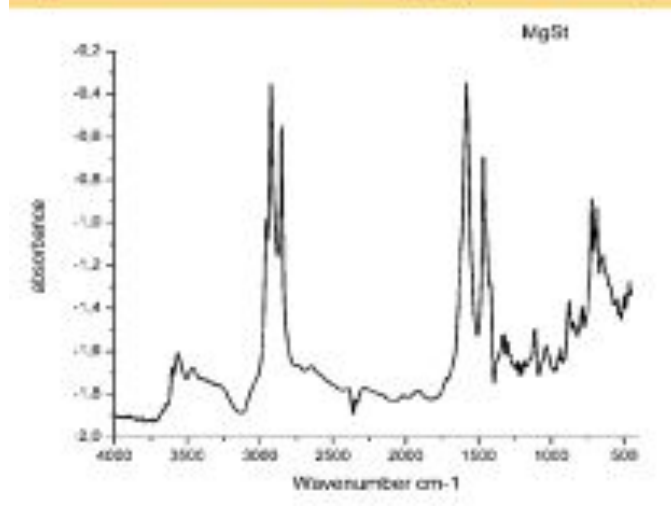


в ближнем ИК-диапазоне проявляются вторичные колебания.

Для большинства органических функциональных групп полосы основных колебаний наблюдаются в средней ИК-области, а в ближней проявляются преимущественно **обертоны** и составные частоты колебаний **С-H, C=O, O-H, S-H-групп**.



Для большинства материалов в БИК-диапазоне сравнительно низкий коэффициент поглощения



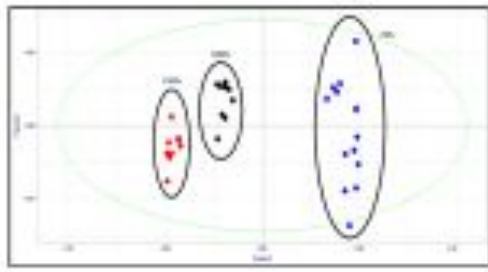
• Оптическое волокно



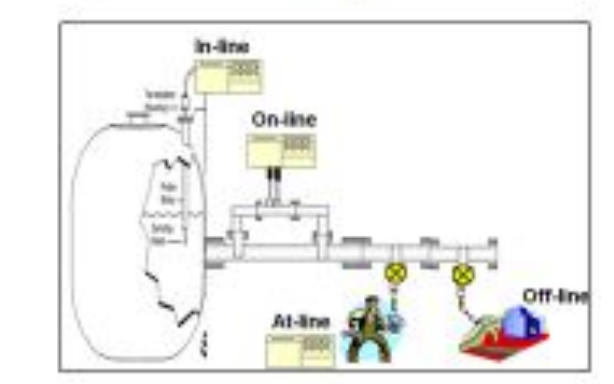
• Мощность компьютеров



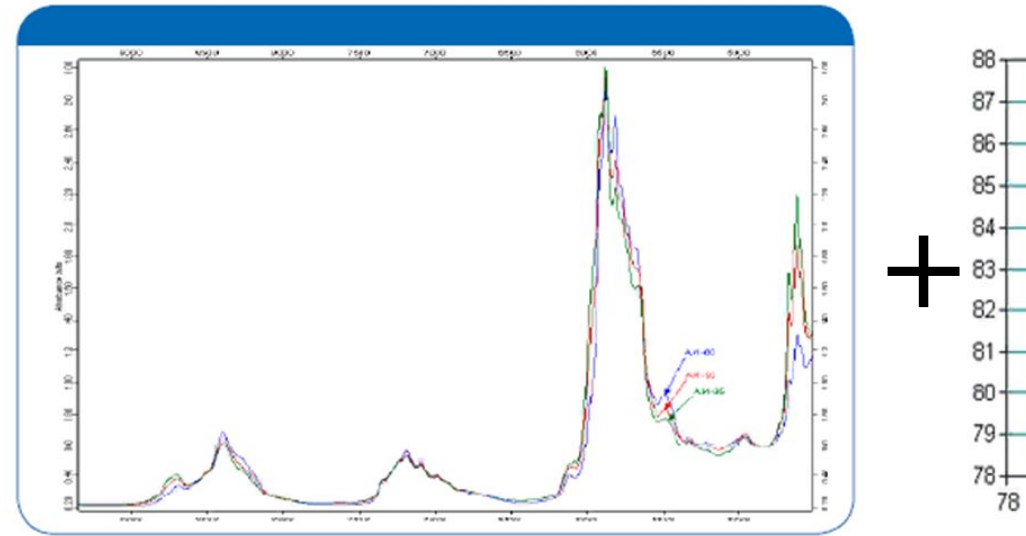
• Хемометрические методы

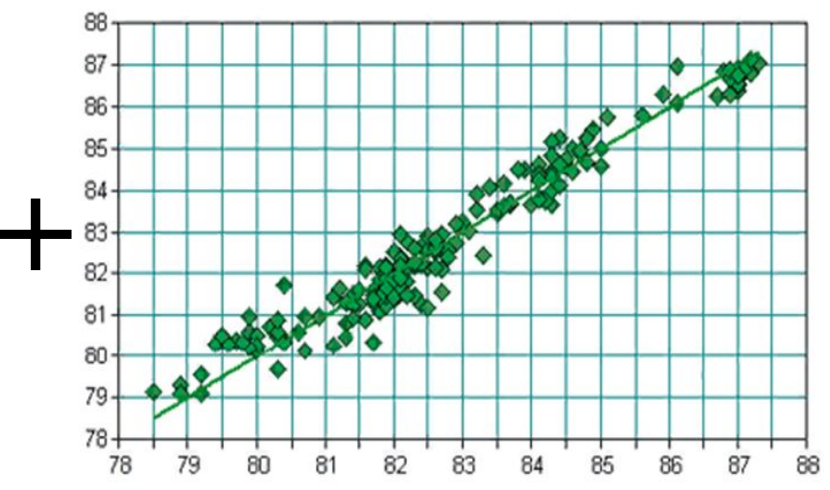


• Повышенный интерес



# Построение калибровочных моделей с помощью методов многомерного анализа данных





# **ИК-спектры + референтные данные** (не менее 40 образцов)

### **Хемометрические методы анализа многомерных данных**:

множественная линейная регрессия (MLR), регрессия на главные компоненты (PCR), линейная регрессия дробных наименьших квадратов (PLS);

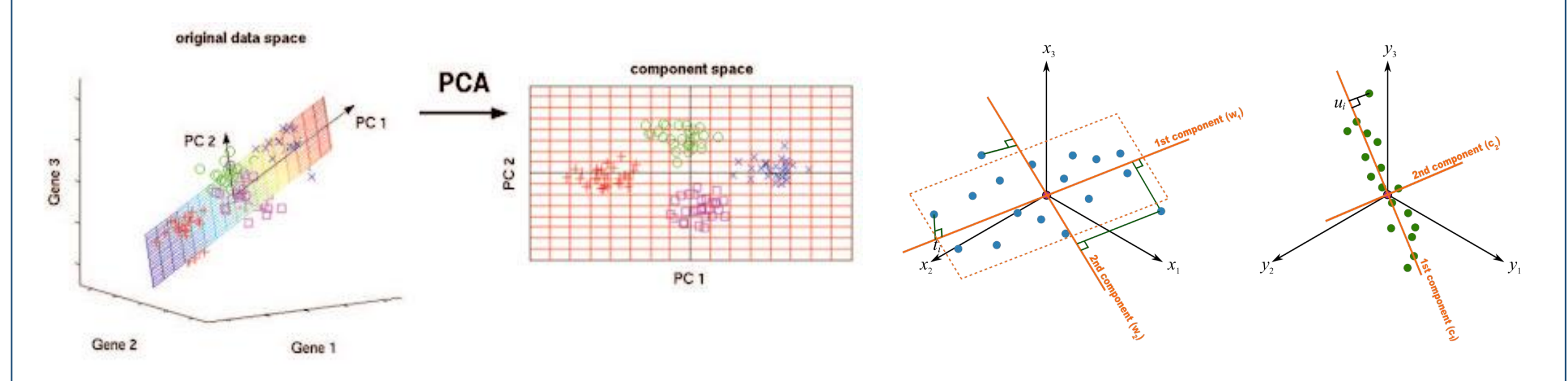
полиномиальная регрессия дробных наименьших квадратов (Poly-PLS), сплайн регрессия дробных наименьших квадратов (Spline-PLS); искусственные нейронные сети (ANN)

# **Градуировочная модель**, позволяющая определять:

- октановые числа,
- содержание бензола,
- содержание олефинов,
- содержание ароматических соединений,
- содержание МТБЭ, ЭТБЭ,
- фракционный состав,
- ДНП,
- плотность и др.

https://www.chemometrics.ru/ru/

# Методы главных компонент и метод регрессии на латентные переменные (метод частных наименьших квадратов)

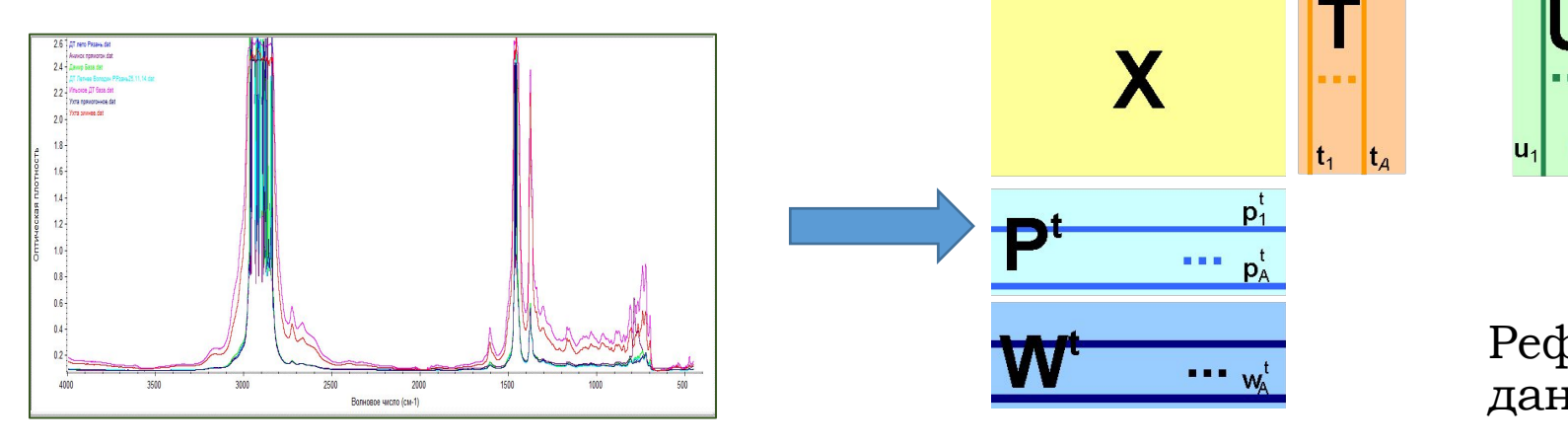


Происходит переход от большого количества переменных к новому представлению, размерность которого значительно меньше. При этом ничего не выбрасывается – все переменные учитываются. В то же время несущественная часть данных отделяется, превращается в шум. Найденные главные компоненты и дают искомые скрытые переменные, управляющие устройством данных

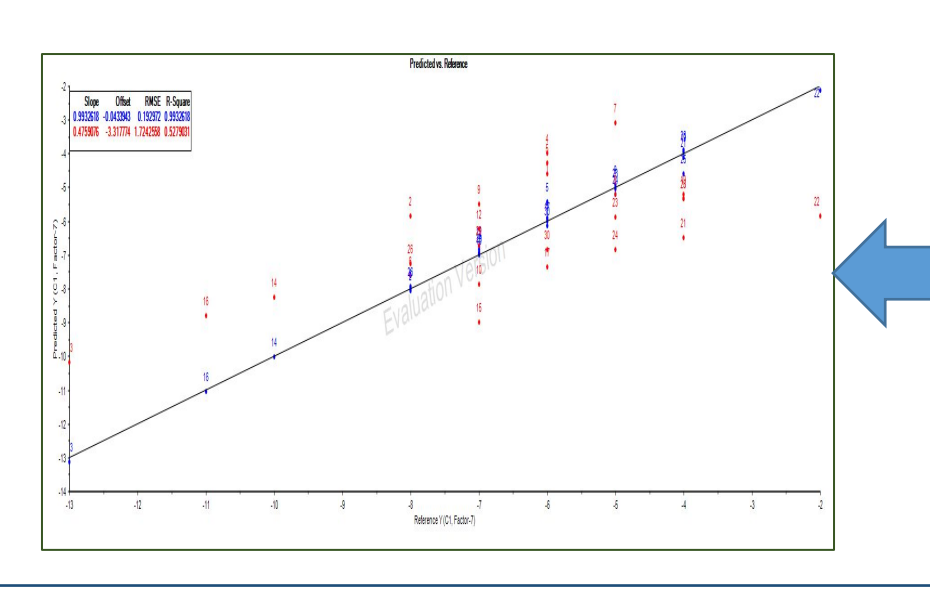
Метод ПЛС можно представить, как два одновременных анализа методом главных компонент для матрицы предикторов X и для матрицы откликов Y.

### Построение калибровочной модели. Основные шаги

ИК-спектры

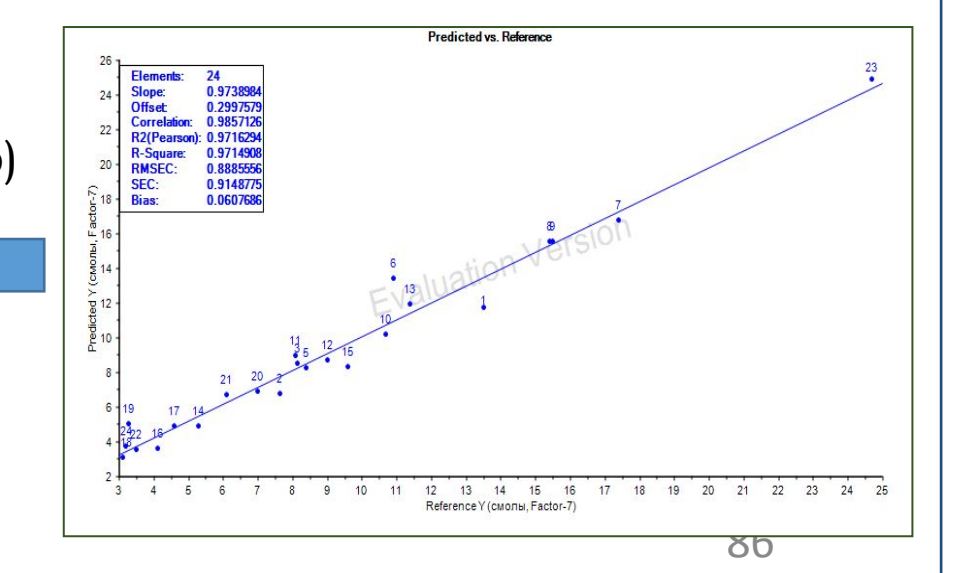


Калибровка (только тестовый набор)

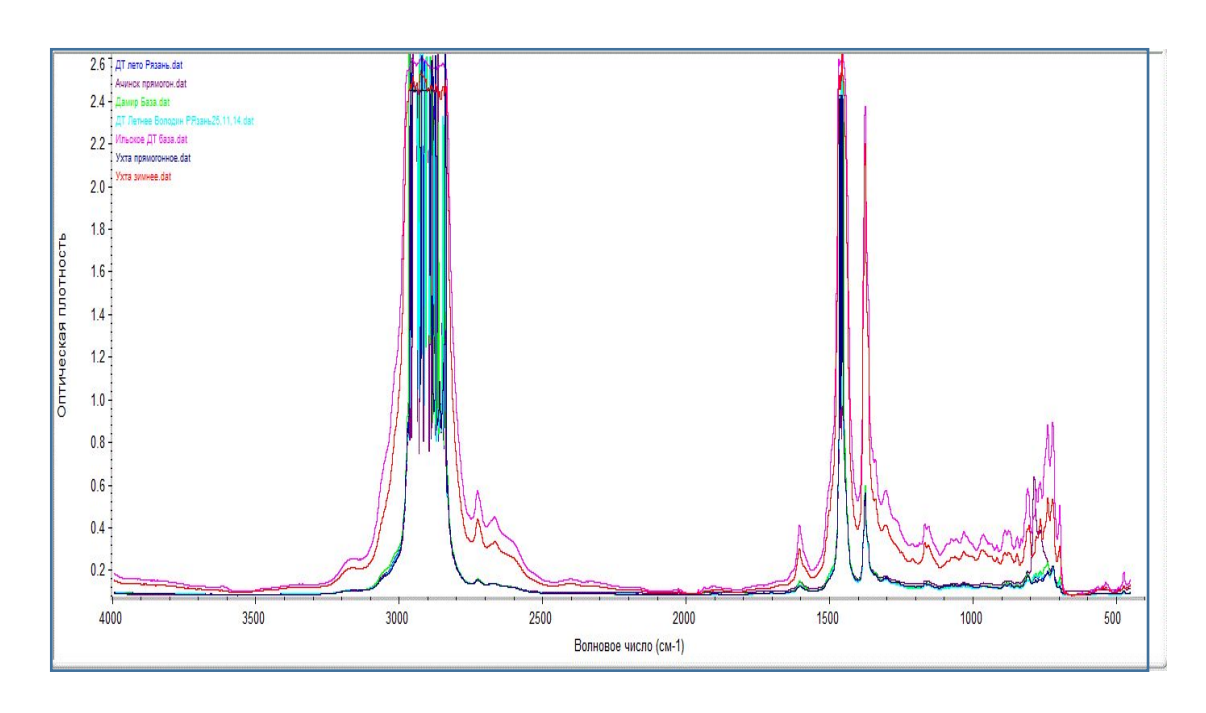


ИК-спектры

Проверка (тестовый набор)

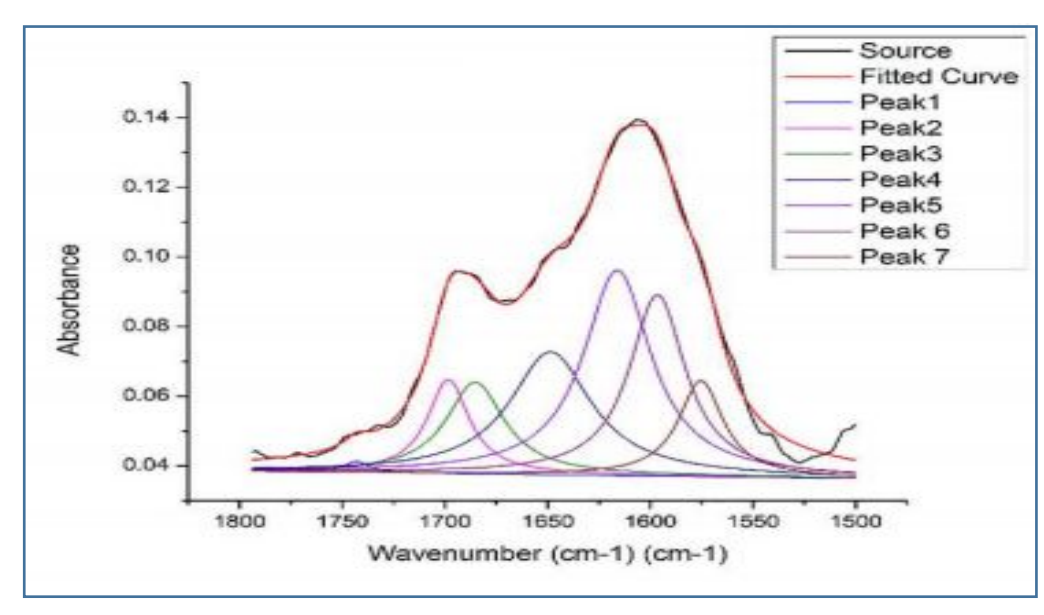


### Подготовка данных ИК-спектроскопии для калибровки

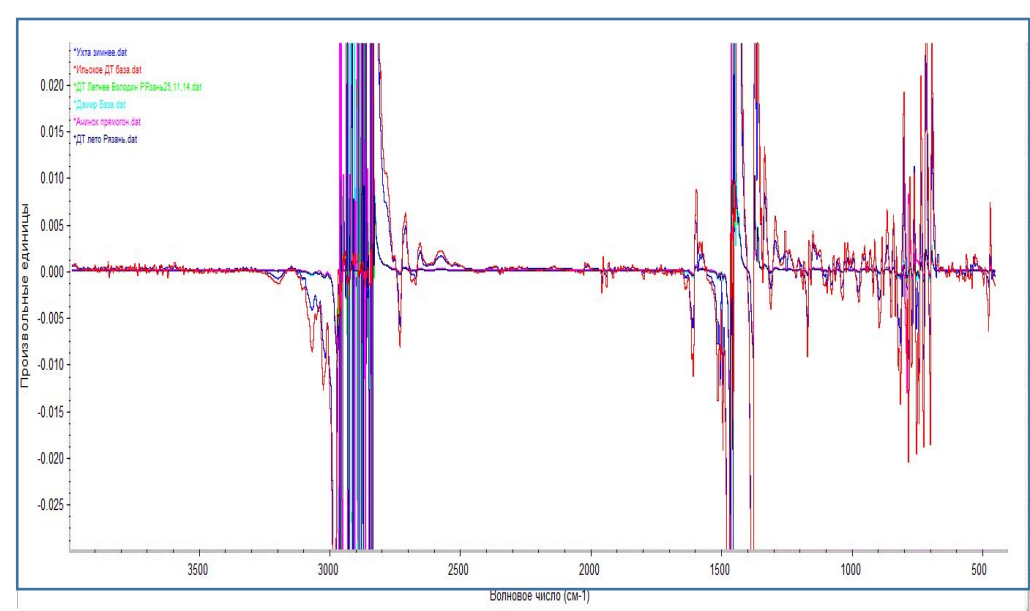


ИК-спектры дизельных топлив

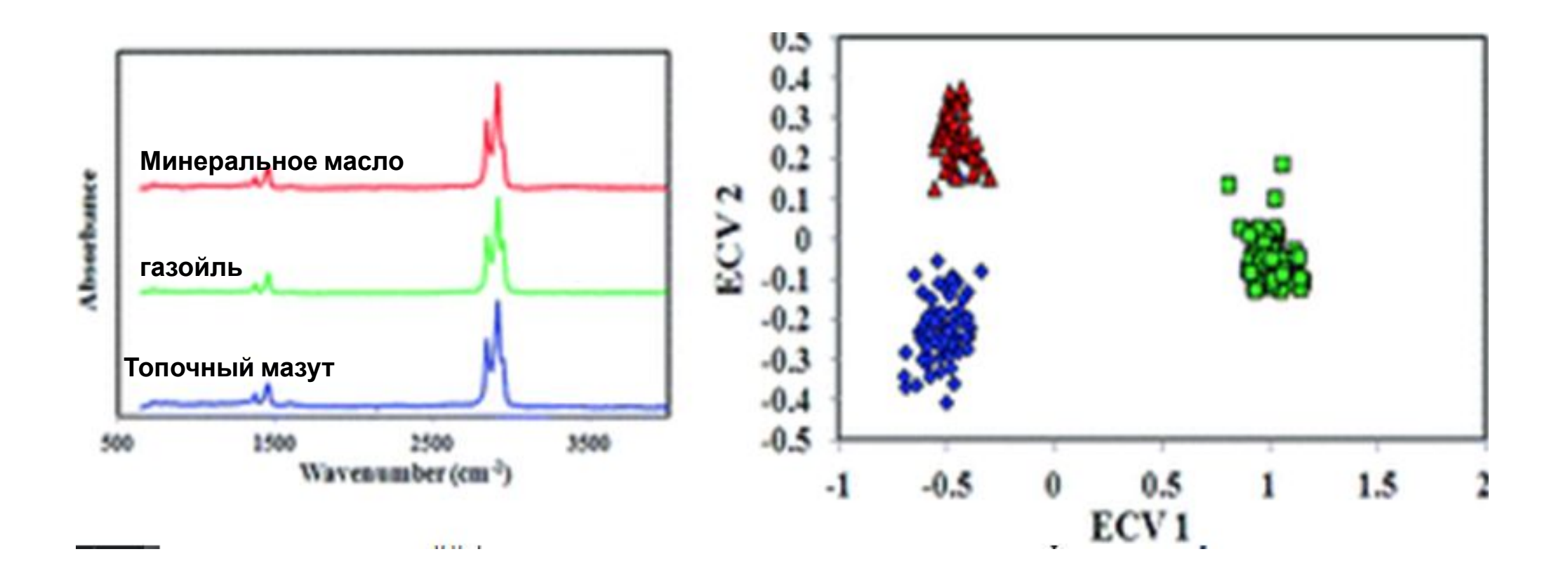




#### деконволюция



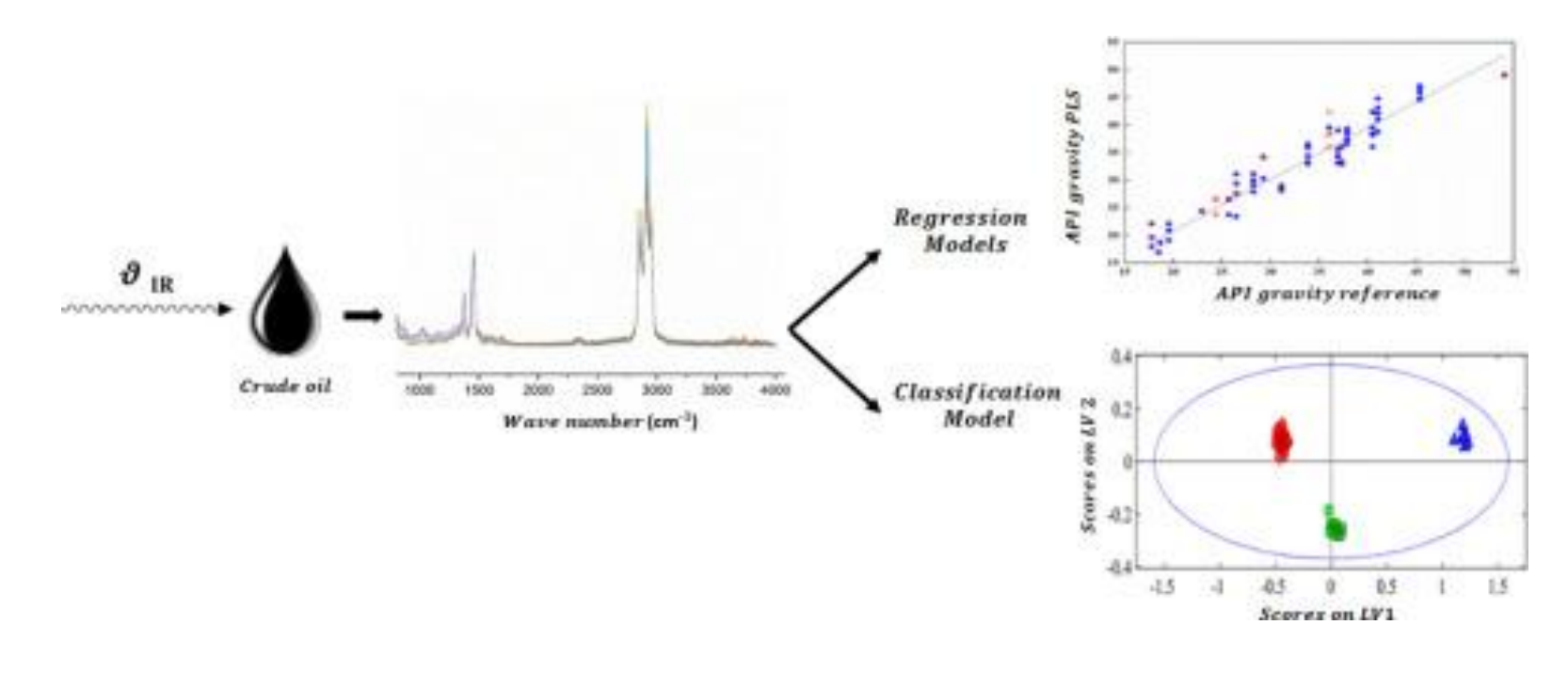
### Задачи, связанные с кластернизацией (метод РСА)



Yousefinejad S., Aalizadeh L., Honarasa F. Application of ATR-FTIR spectroscopy and chemometrics for the discrimination of furnace oil, gas oil and mazut oil //Analytical Methods. – 2016. – T. 8. – №. 23. – C. 4640-4647.

## Некоторые задачи, решаемые с помощью регрессионных методов (метод PLS)

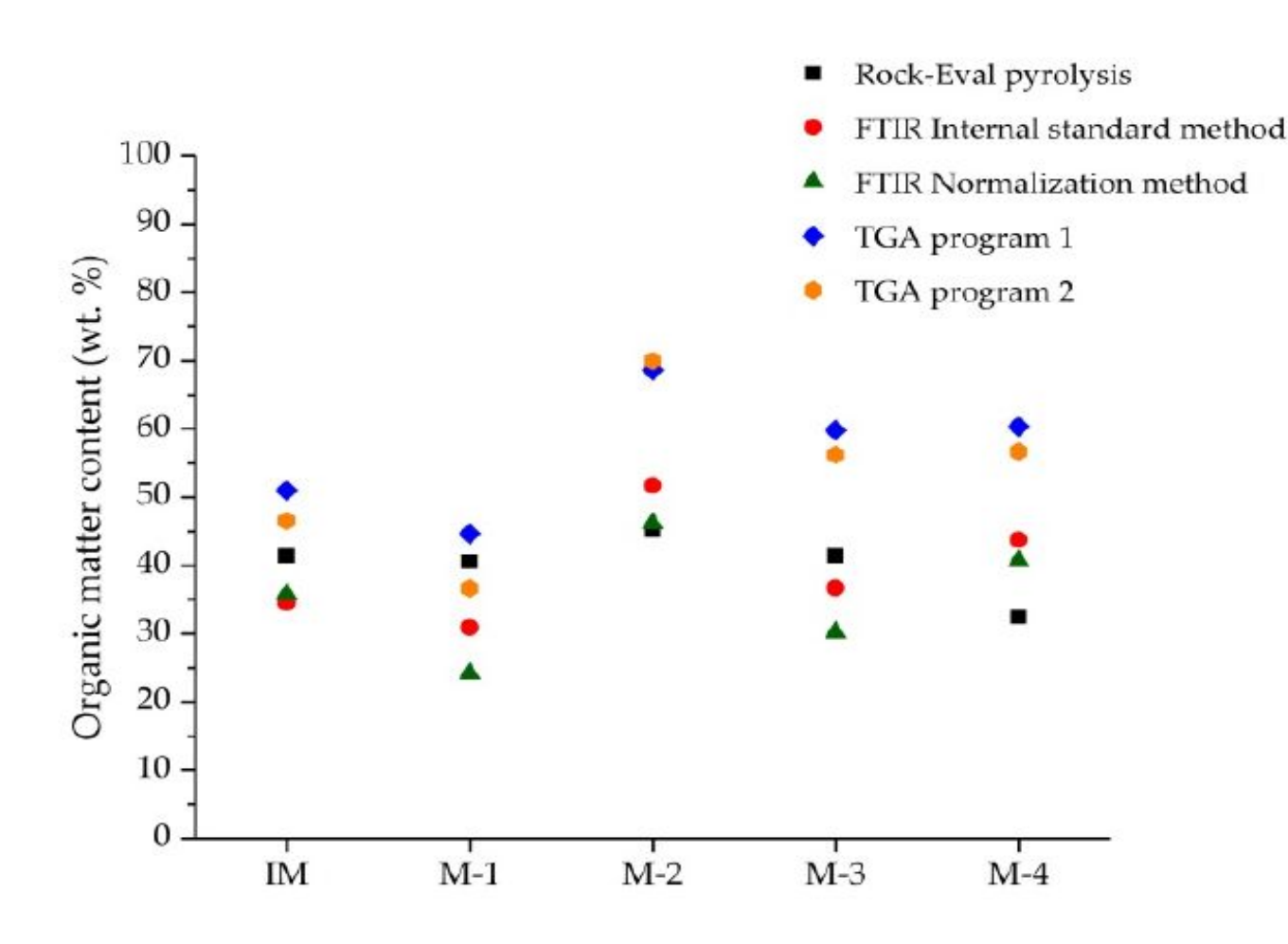
Определение плотности нефтей и классификация



Mohammadi M. et al. Rapid determination and classification of crude oils by ATR-FTIR spectroscopy and chemometric methods //Spectrochimica Acta Part A: Molecular and Biomolecular Spectroscopy. – 2020. – T. 232. – C. 118157.

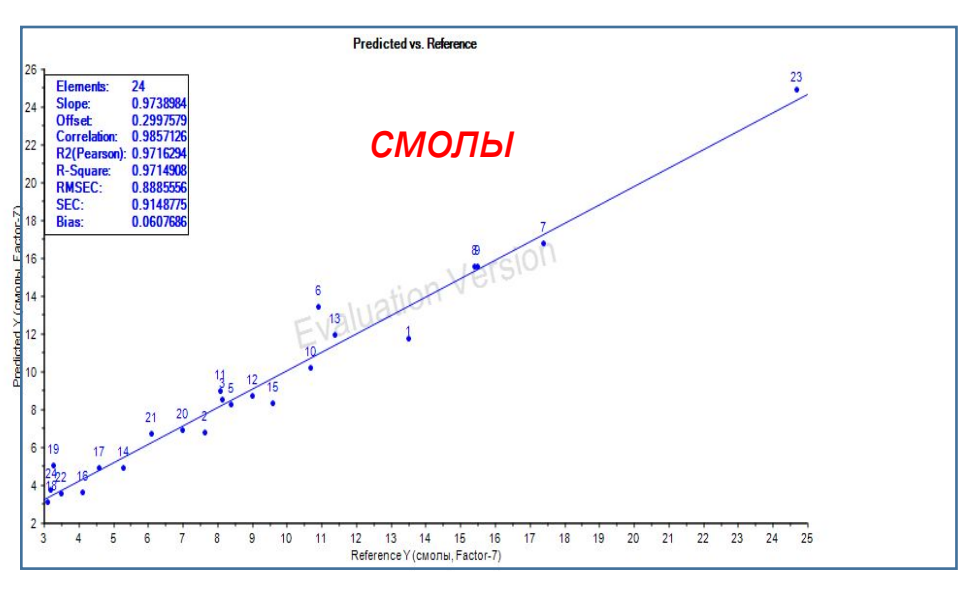
# Некоторые задачи, решаемые с помощью регрессионных методов (метод PLS)

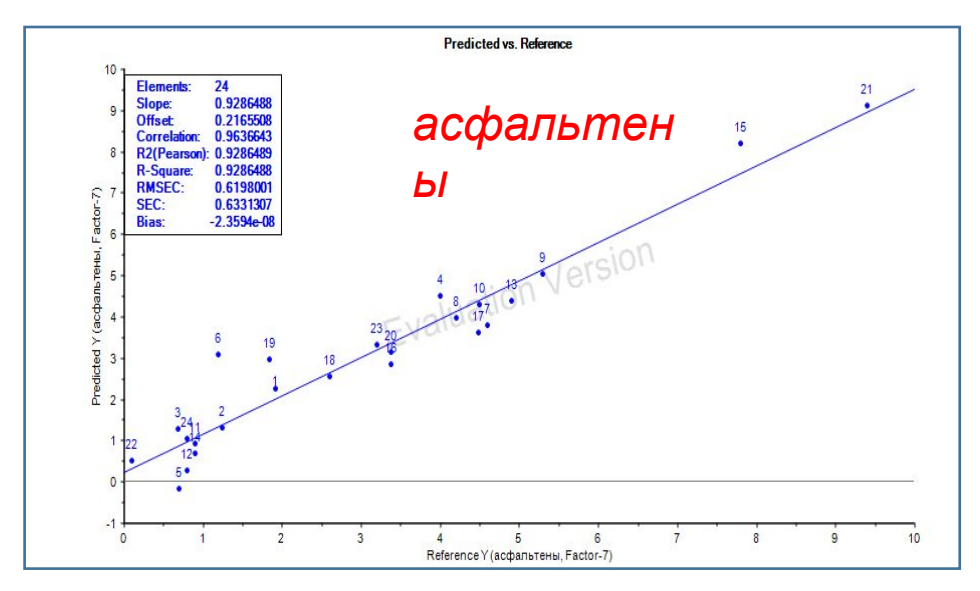
Определение содержания органического вещества в образцах керогена

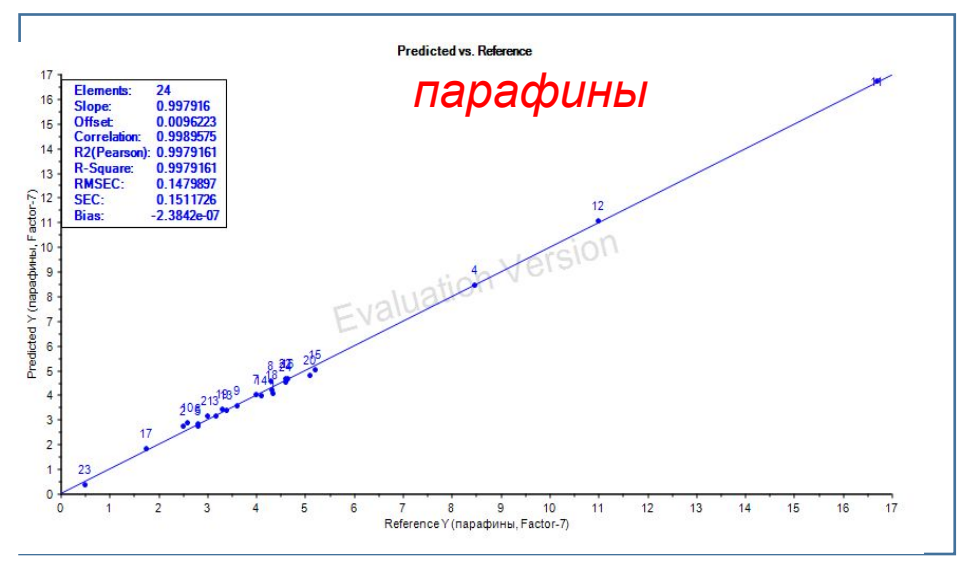


Tanykova N. et al. Study of organic matter of unconventional reservoirs by IR Spectroscopy and IR microscopy //Geosciences. – 2021. – T. 11. – №. 7. – C. 277.

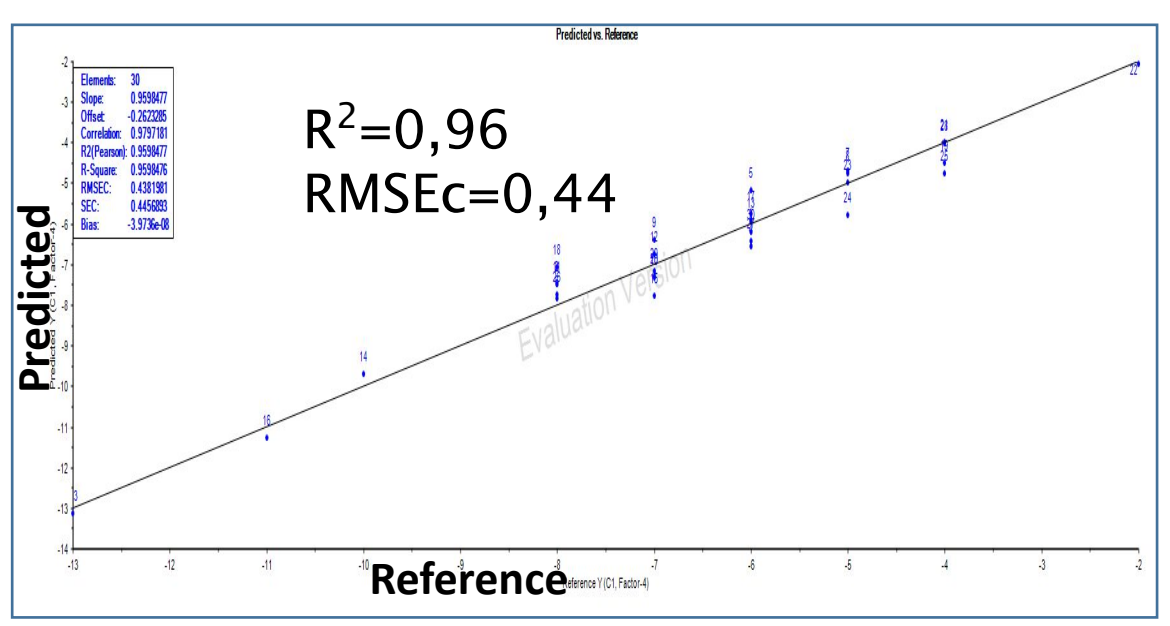
### SARA анализ нефтей (метод PLS)



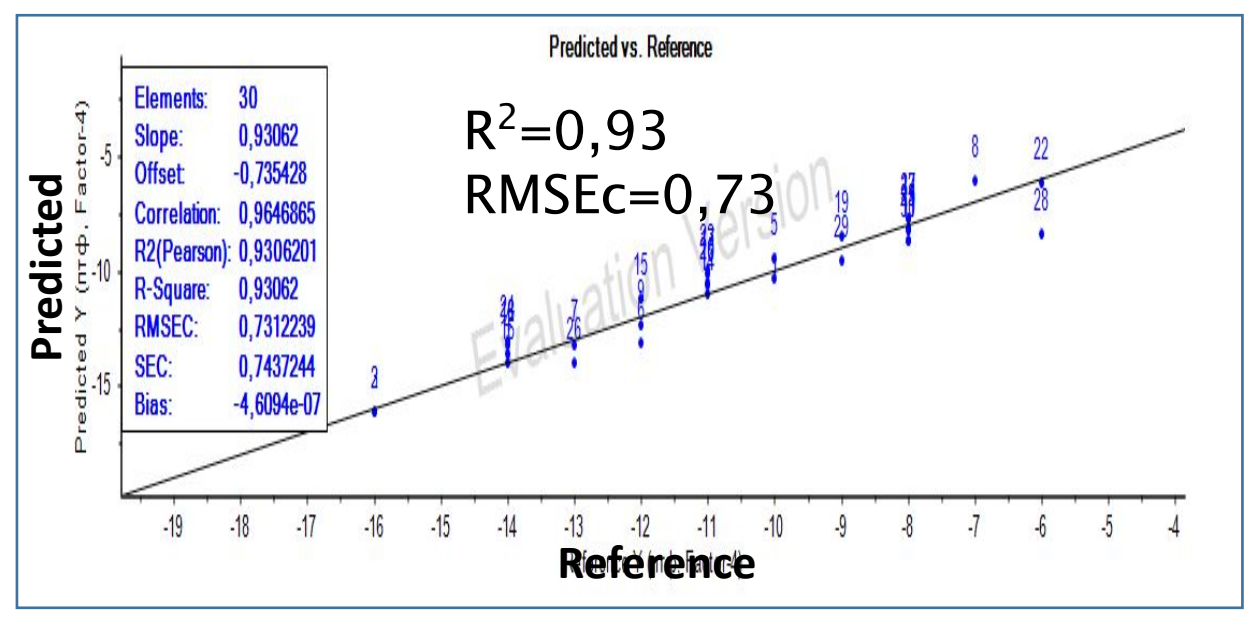




### Калибровочные модели для определения ПТФ и температуры застывания дизельного топлива



Калибровочная модель ПТФ



Калибровочная модель Тз

### Характеристики моделей ПТФ и Тз

Nº	характеристика	ПТФ	Тз
1	Стандартная среднеквадратичная	0,19	0,27
	ошибка калибровки (RMSEc)		
2	Стандартная среднеквадратичная	1,72	3,09
	ошибка перекрестной проверки		
	(RMSEv)		
3	Стандартная среднеквадратичная	1,80	0,92
	ошибка проверки на тестовом наборе		
	(RMSEv)		
3	Коэффициент корреляции (R <sup>2</sup> )	0,99	0,99
5	Интервал калибровки, см⁻¹	2750-3100	2750-3100

Спасибо за внимание!